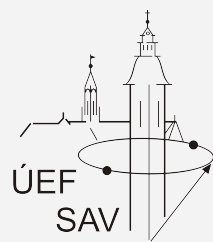
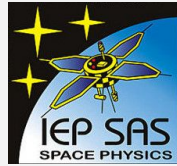




SPACE::TALK #01

Z Košíc na orbitu Zeme a ešte d'alej...

Ing. Ján Baláž, PhD.

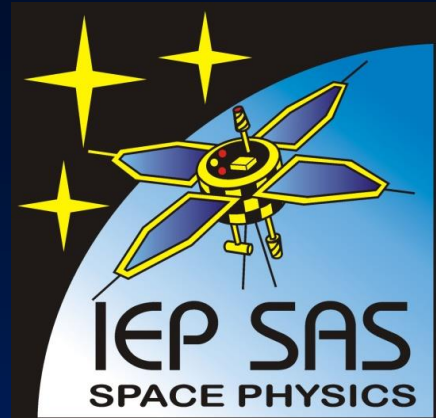




SPACE::LAB

Z Košíc na orbitu Zeme

... a ešte ďalej...



Z histórie košického kozmického výskumu

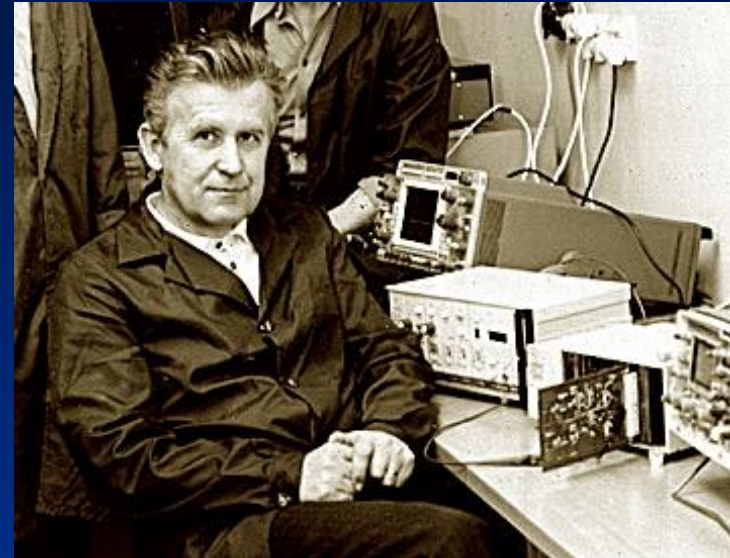
- Tradícia už od začiatku 50-tych rokov 20. storočia, prof. Dubinský na LŠ
- INTERKOZMOS – kozmické lety, už od r. 1970



Prof. Juraj Dubinský
(*1914 – †1994)

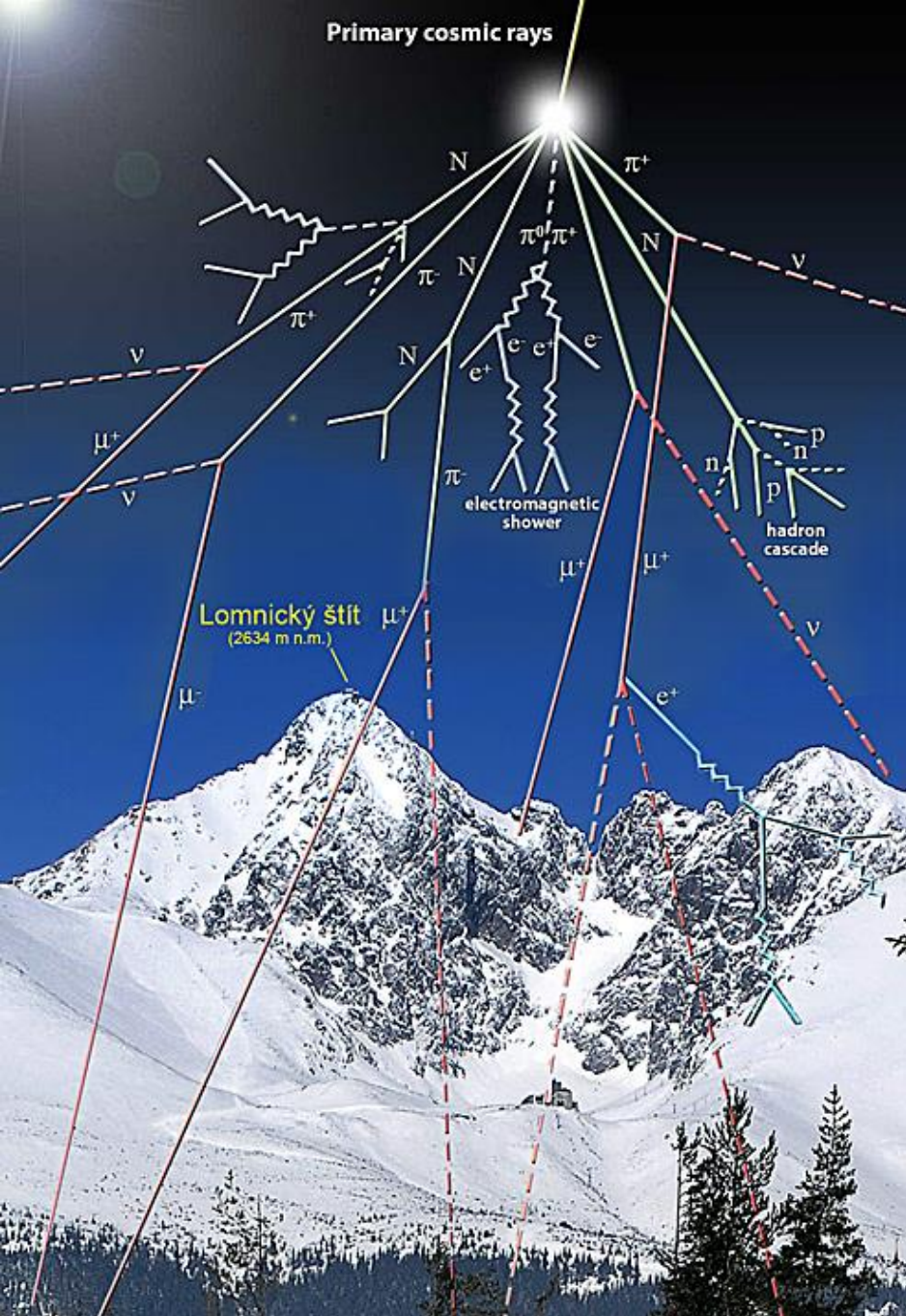


Prof. Karel Kudela
(*1946 - †2019)



Ing. Jozef Rojko, CSc
(*1934 - †2011)

- **Kozmická fyzika:** výskum fyzikálnych vzťahov v systéme Slnko–Zem a heliosfére prostredníctvom kozmického žiarenia a kozmických energetických častíc.
- **Kozmické inžinierstvo:** vývoj prístrojovej techniky pre vesmírne sondy



Registrácia kozmického žiarenia
na Lomnickom štíte
(2634 m. nm)
IGY 1957 / 58
ÚEF zabezpečuje dodnes
(<http://neutronmonitor.ta3.sk>)



Detektory kozmického žiarenia na Lomnickom štítu

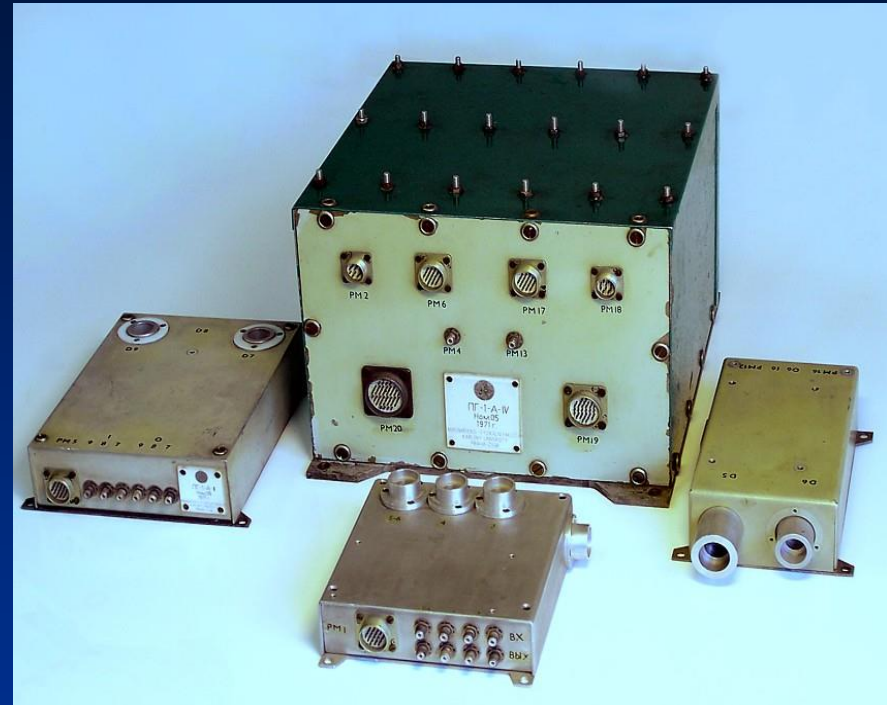


NEUMON

Nukleárne emulzie a PG-1 ... od r. 1970



RNDr. Ladislav Just, CSc
(*1946 - †2004)

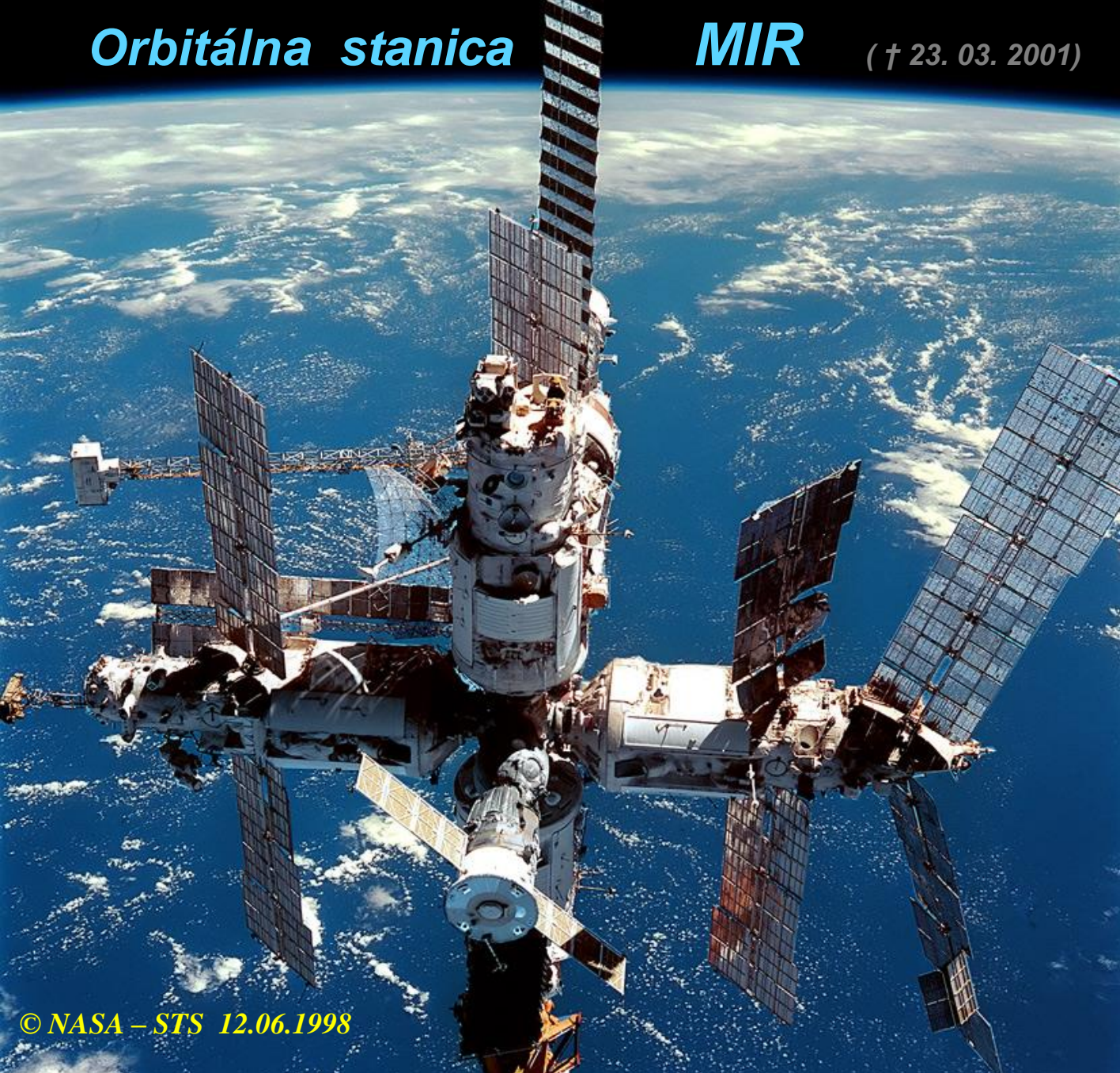


PG-1
(UK-Praha, IK-3, IK-5, IK-13)

Orbitálna stanica

MIR

(† 23. 03. 2001)



© NASA – STS 12.06.1998

Nukleárne emulzie



DOZIMETRIA
*Misia ŠTEFÁNIK
(1999)*



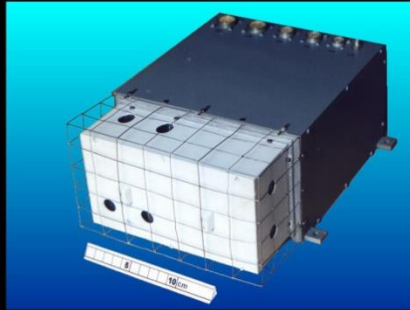
Ivan BELLA



SK-1
Interkozmos-17 (1977)



DOK-T
Prognoz-10 (1981)



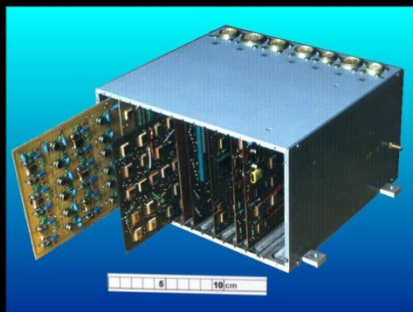
DOK-1
Intershock (1985)



SPE-1
Active (1989), MIR (1996)



DOK-S
Active (1989)...1996 (4x)



SONG-E
Coronas-I (1994), -F.(2001)



DOK-2
Interball (1995, 1996)



SLED-2
MARS-96 (1996)



NUADU
Double Star (2004)



ESS
ESA-Rosetta (2004)



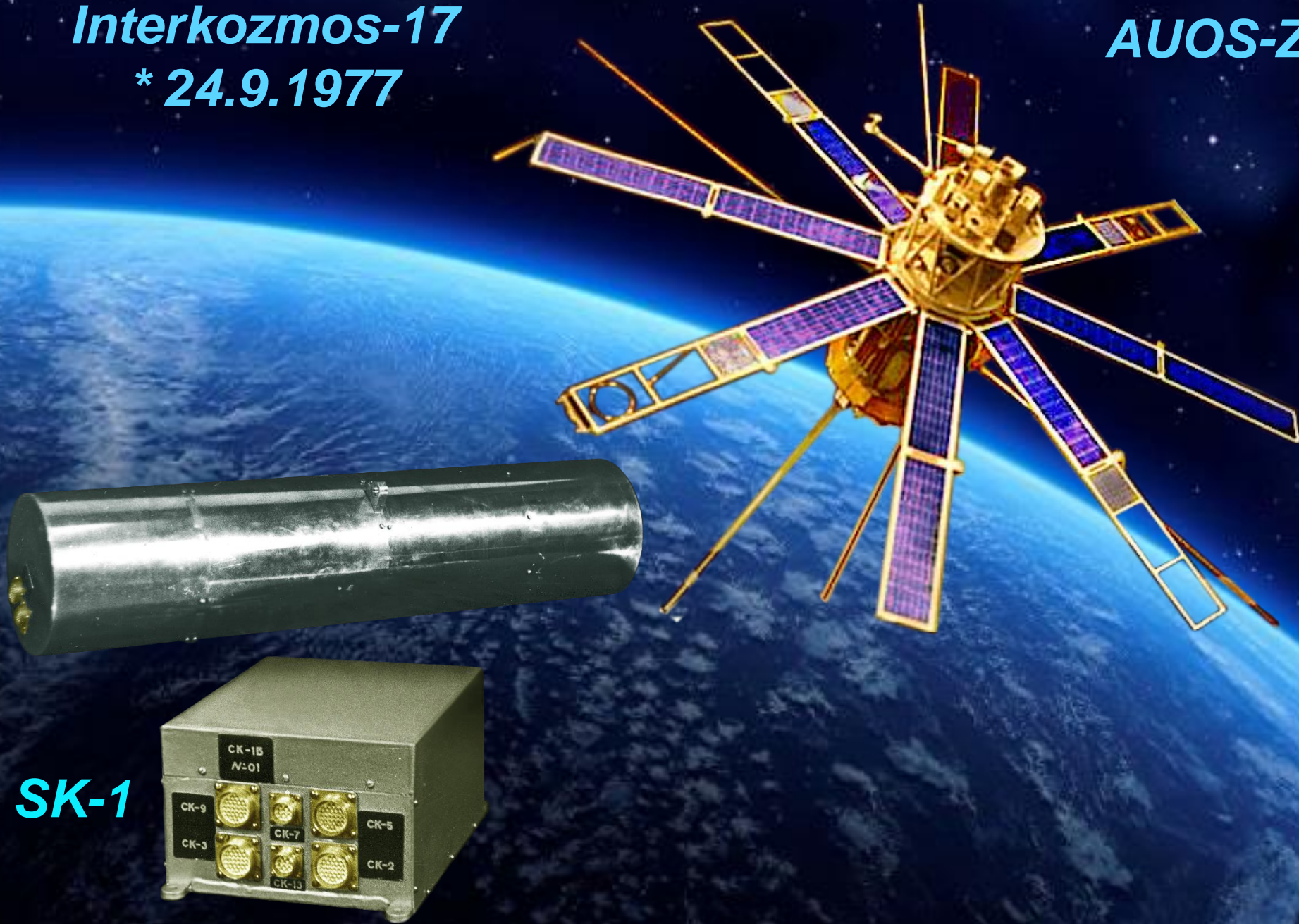
MEP-2
Radioastron (2011)



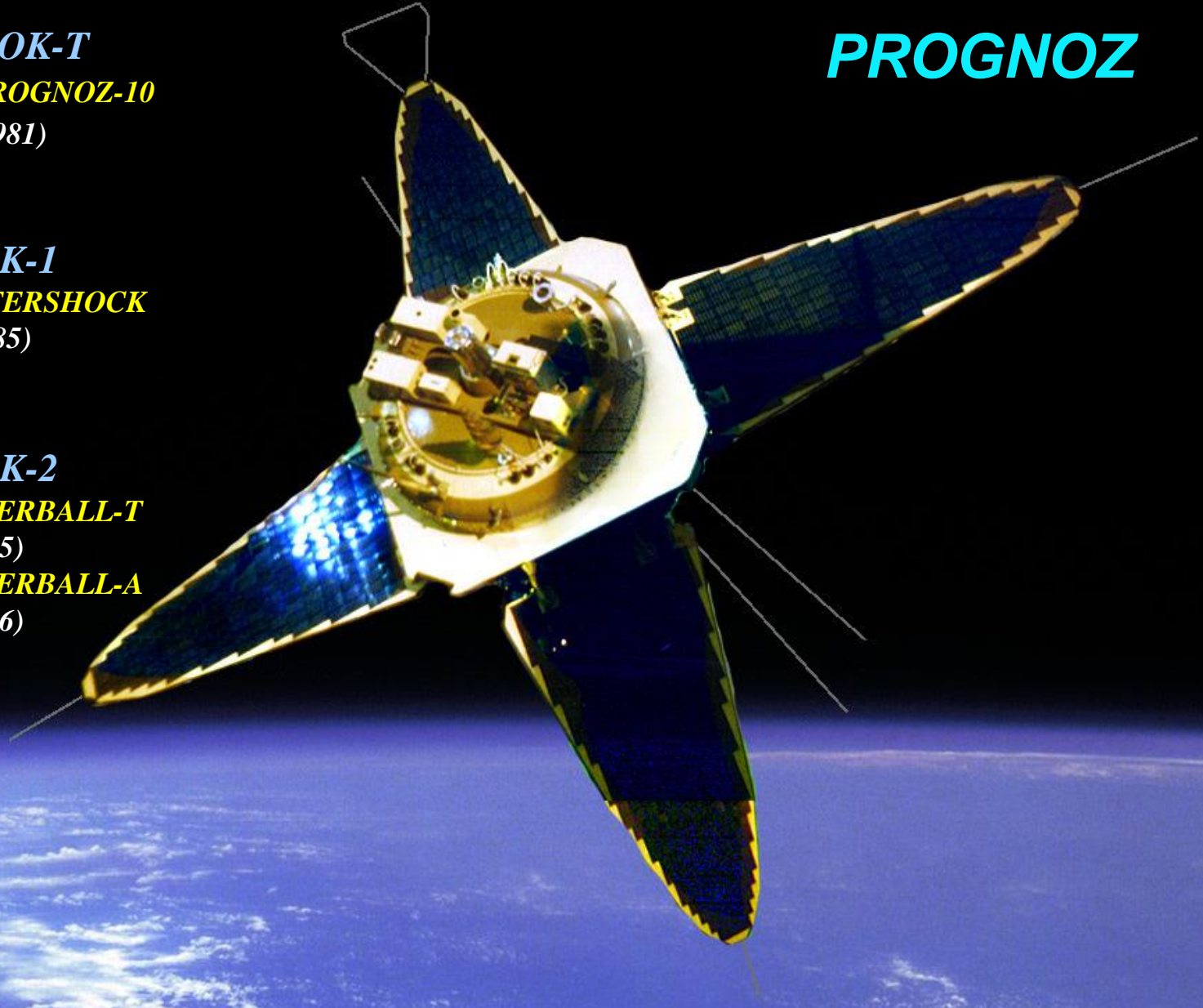
PICAM
BepiColombo (2018)

Interkozmos-17
* 24.9.1977

AUOS-Z



SK-1



PROGNOZ

DOK-T

PROGNOZ-10

(1981)

DOK-1

INTERSHOCK

(1985)

DOK-2

INTERBALL-T

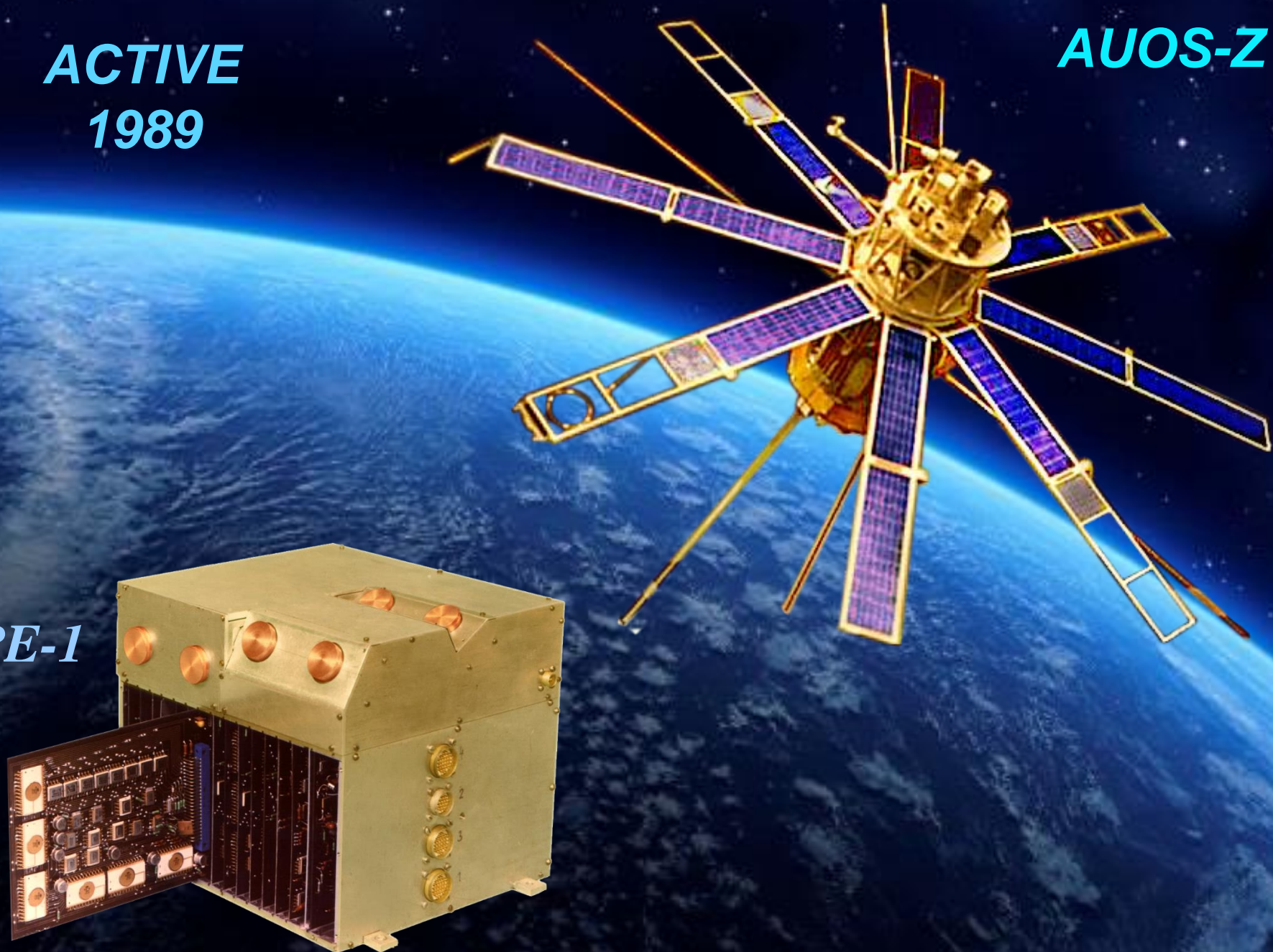
(1995)

INTERBALL-A

(1996)

ACTIVE
1989

AUOS-Z



Satellite MAGION



DOK-S (s FEI-TUKE)



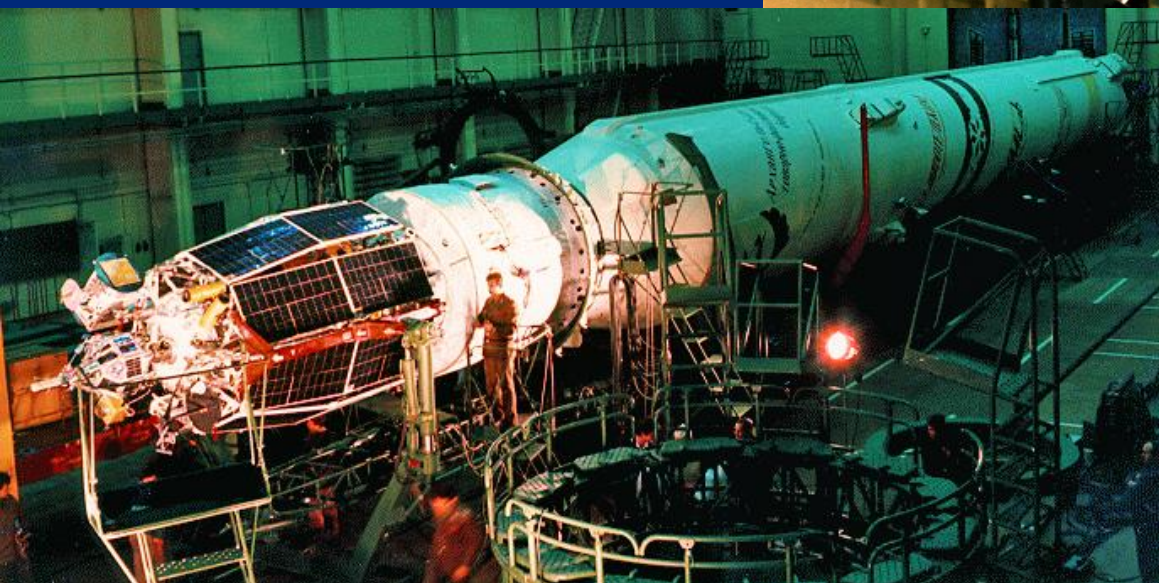
MAGION-2, ACTIVE (1989)

MAGION-3, APEX (1991)

MAGION-4, INTERBALL-T (1995)

MAGION-5, INTERBALL-A (1996)

MAGION
a
ACTIVE
(AUOS-Z)



CYKLON

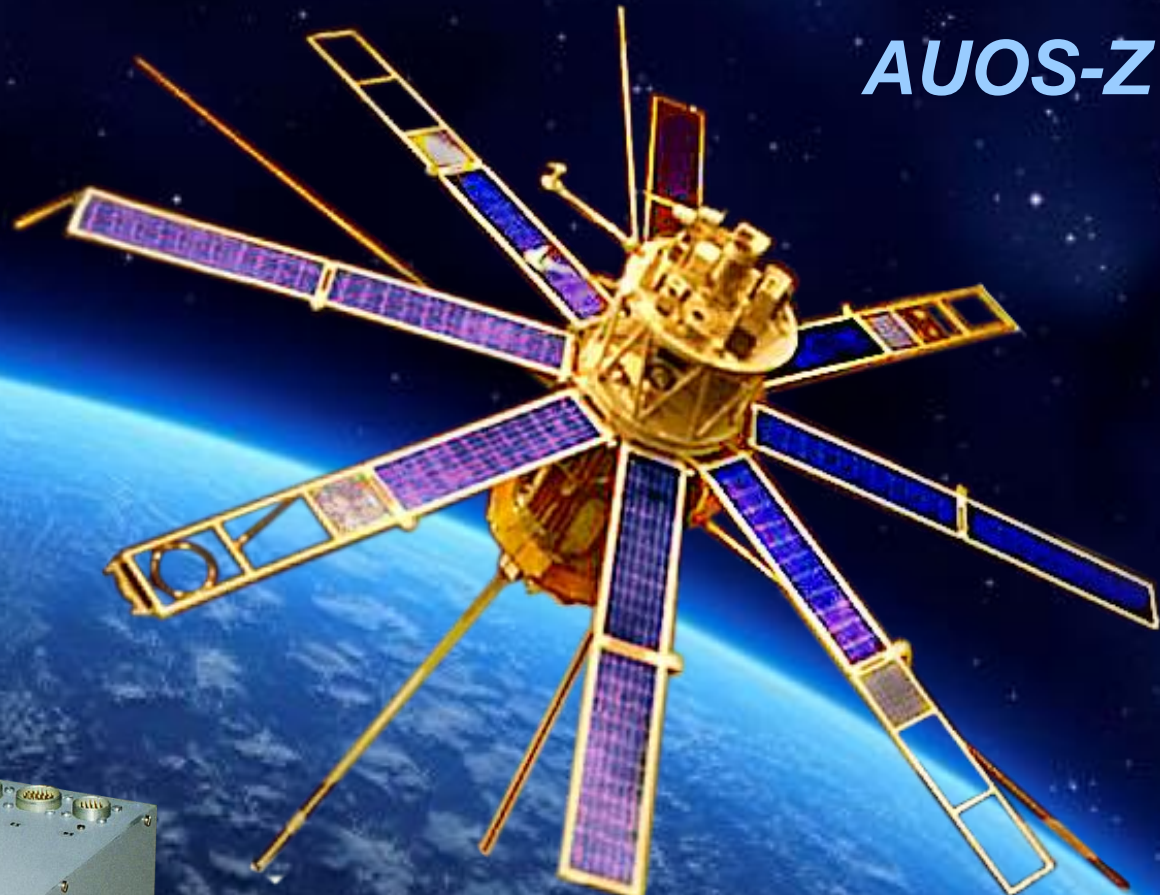
CORONAS - I

2. 3. 1994

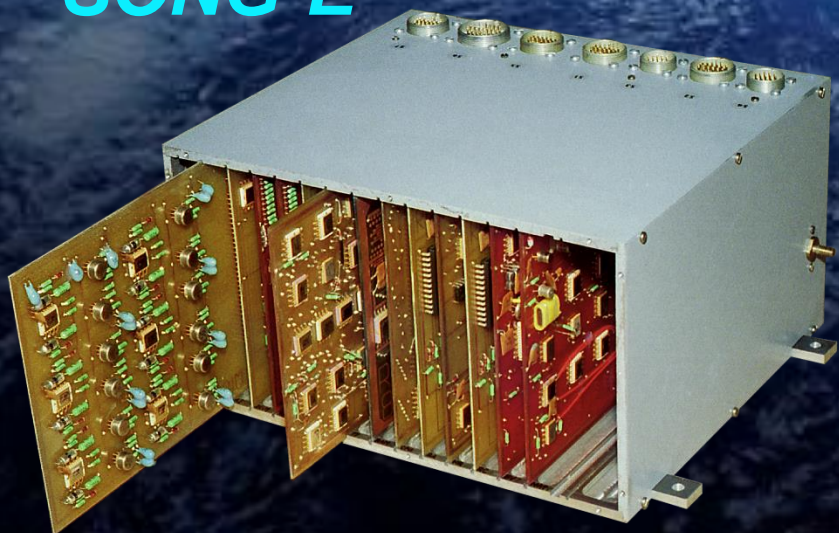
CORONAS-F

31. 7. 2001

AUOS-Z



SONG-E



Kozmická fyzika vo vztahoch Slnko-Zem

- Slnko je zdrojom, ktorý už takmer 5 miliárd rokov zásobuje pozemské životné prostredie energiou nevyhnutnou pre život najmä svojim svetlom a teplom (elektromagnetické žiarenie)

- Až moderná veda odhalila (Explorer-1, 1958, Van Allen), že Slnko na Zem významne pôsobí aj energetickými časticami (korpuskulárne žiarenie)

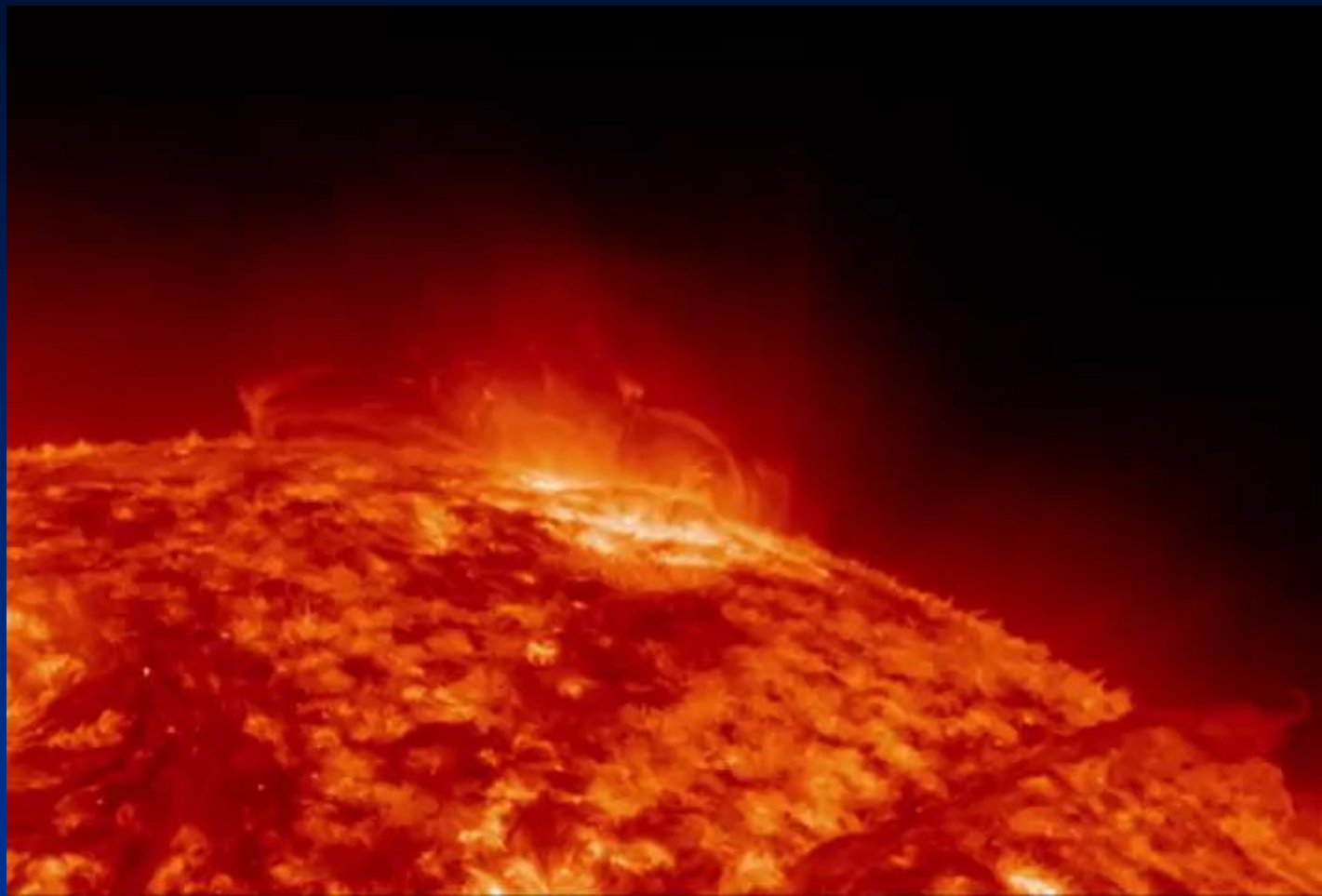
Slnečný vietor

- Je nepretržitý **prúd nabitých energetických častíc** (plazma), ktoré Slnko vyvrhuje do kozmického priestoru
- Typické **zloženie** (ióny): 95% H, 4% He, 1% ďalšie prvky C,N,O,...,Fe, plus elektróny

- Typická **rýchlosť** ustáleného slnečného vetra je okolo 400km/s, no niekedy dosahuje až 800km/s
- Typická **hustota** ustáleného slnečného vetra v blízkosti Zeme je 6 iónov / cm³

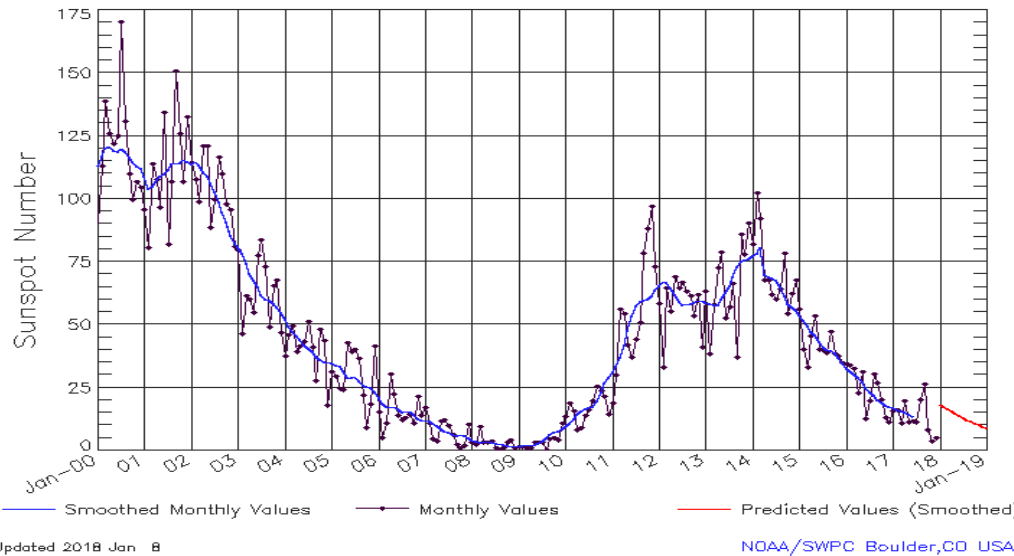
Výrony koronálnej hmoty CME

- Homogenitu ustáleného slnečného vetra najviac narušujú tzv. výrony koronálnej hmoty
- ~2-3 CME / deň v sol. maxime, ~1 CME/týž v sol. min.
- CME sú obrovské mraky nabitéch slnečných častíc previazaných vlastným magnetickým pol'om (tzv. plazmoid)

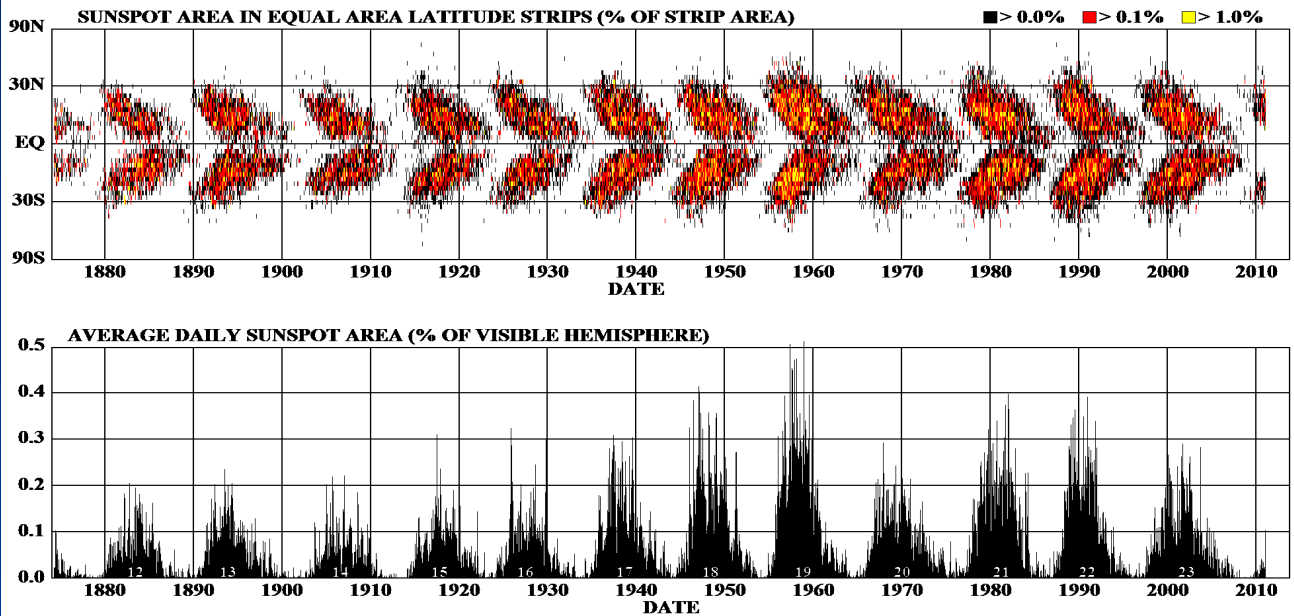


Solárne Cykly

(teraz 24. cyklus od 1755)

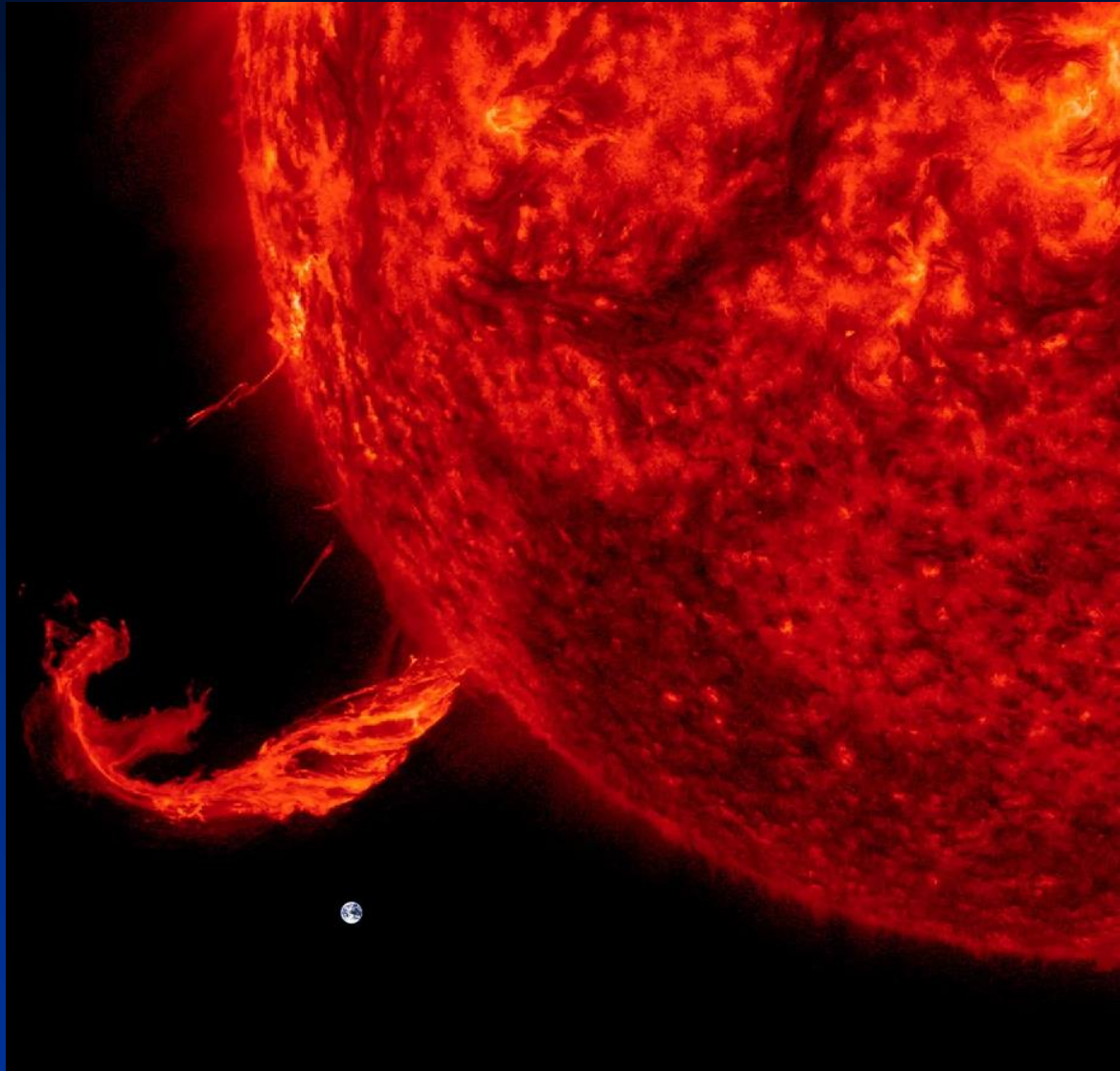


DAILY SUNSPOT AREA AVERAGED OVER INDIVIDUAL SOLAR ROTATIONS



Výrony koronálnej hmoty CME

- CME smerujúce k Zemi môžu významne zasiahnuť a ovplyvniť magnetosféru, niekedy aj s fatálnymi následkami
- Rýchlosť, hustota a lokálny smer slnečného vetra a medziplanetárne magnetické pole IMF sú veličiny veľmi premenlivé a určujú tzv. **kozmické počasie**

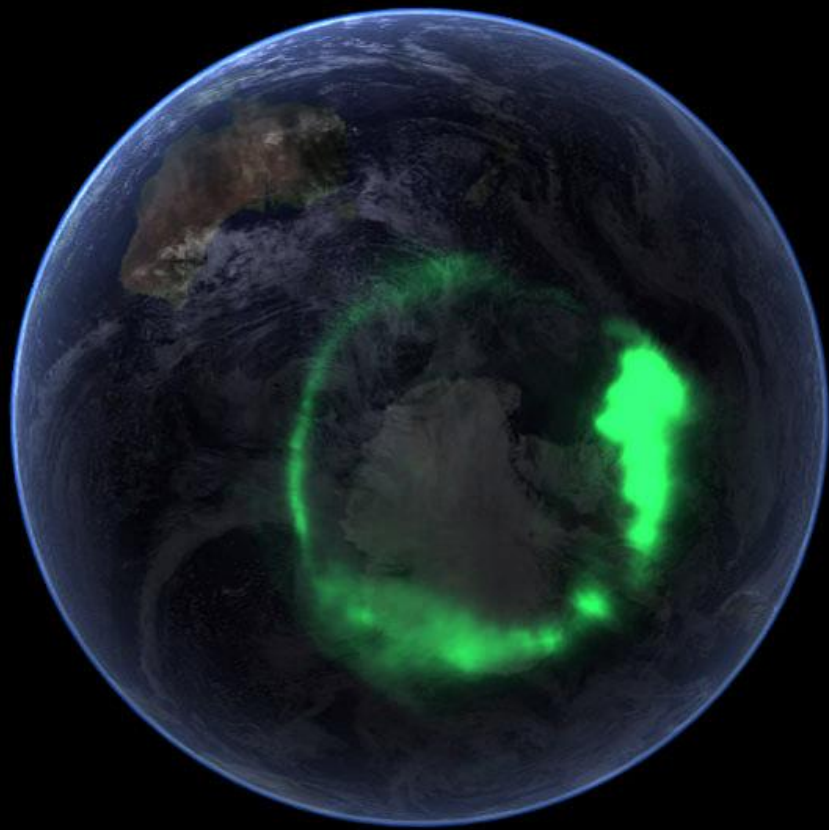


Efekty kozmického počasia

- Ohrozené elektronické systémy satelitov
- Nepredvídateľné zmeny orbít satelitov (predčasný zánik)
- Ohrozené posádky kozmických lodí (ISS)
- Ohrozená posádka a pasažieri diaľkových leteckých liniek, najmä v polárnych oblastiach (ožiarenie)
- Poruchy rádiových komunikačných systémov
- Poruchy energetických sústav
- Elektro-korózia diaľkových potrubí
- Zdravotné problémy citlivých jedincov
- Vplyv na pozemskú klímu, počasie, životné prostredie (ohrev, oblačnosť, atmosférické chemické a jadrové reakcie)
- Polárna žiara

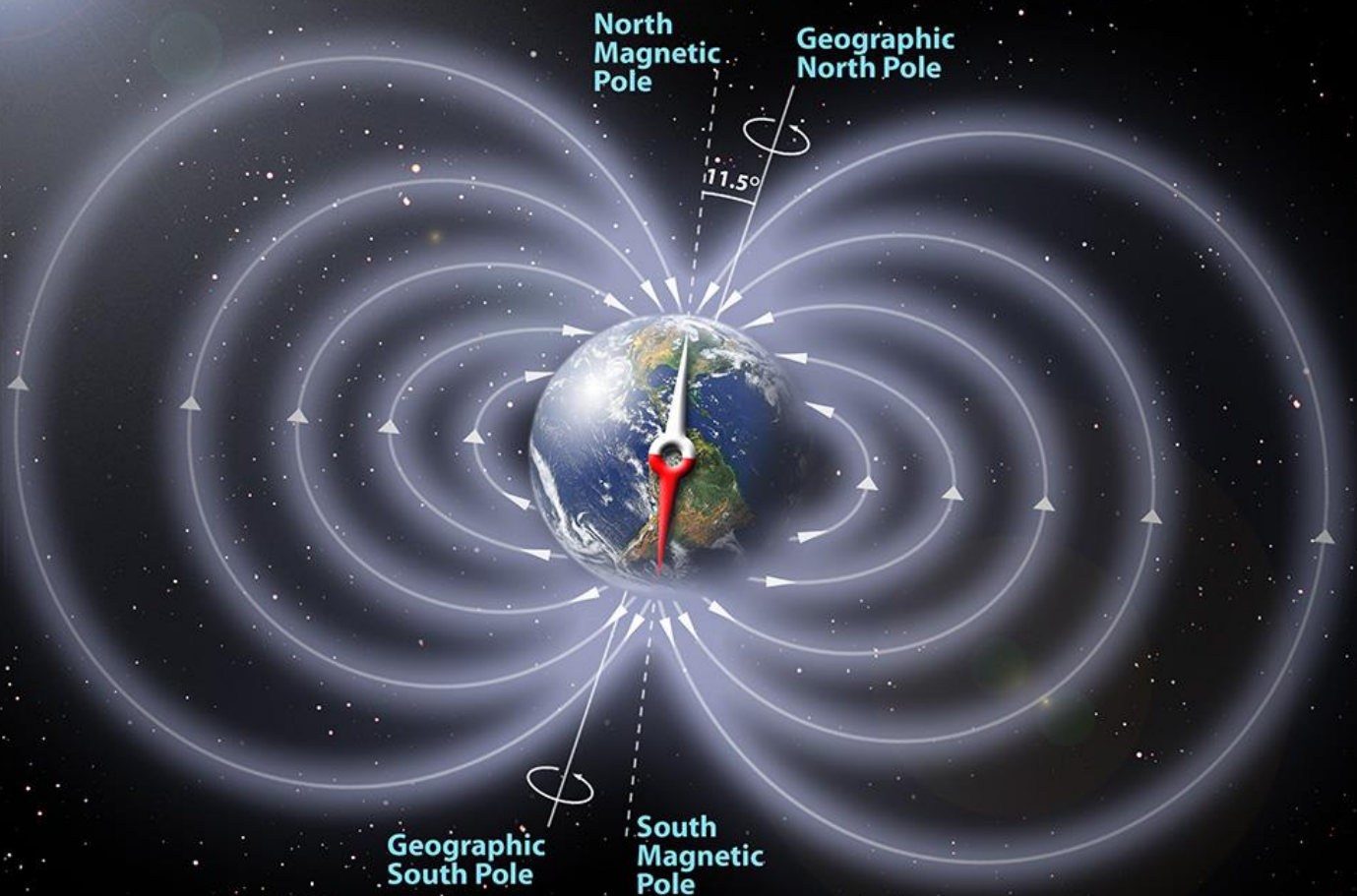
Efekty kozmického počasia





Magnetické pole Zeme

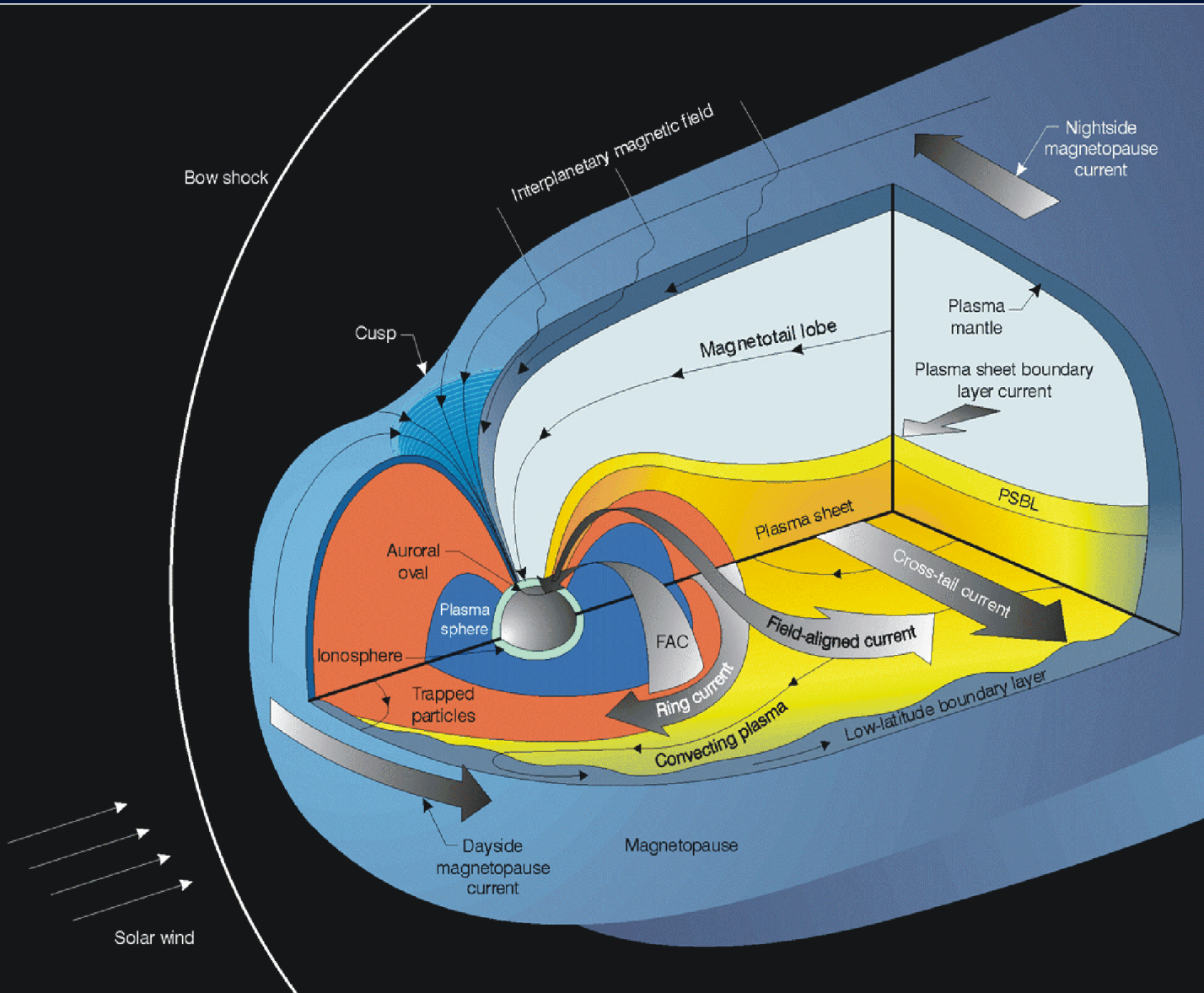
The Earth's Magnetic Field



Peter Reid (SCI-FUN), 2003

- dipólový charakter
- Pôvod: elektrické prúdy (geodynamo)
-
- nie je stále, zmeny intenzity aj polarity
~ 1 mil rokov

Magnetosféra Zeme



- ❑ oblast', kde dominuje magnetické pole Zeme
- ❑ Je produkтом interakcie geomagnetického pola, slnečného vetra a medziplanetárneho magnetického pola
- ❑ Dominuje zóna zachytenej radiácie – Van Allenove radiačné pásy
- ❑ Na dennej strane stlačená slnečným vetrom (~70000km)
- ❑ Na nočnej strane je silne pretiahnutá do chvosta (~milióny km)

Pohyb nabitéych častíc v geomagnetickom poli a zachytená radiácia

(Van Allenove radiačné pásy)

- Nabité častica podlieha v magnetickom poli silovému pôsobeniu. Lorentzova sila: $\mathbf{F} = q(\mathbf{v} \times \mathbf{B})$
- Silové pôsobenie geomagnetického poľa **odkláňa nabité čästice** slnečného vetra od priamočiareho pohybu
- Dipólové geomagnetického pole spôsobuje špirálový pohyb a **záchyt** veľkého množstva energetických čästíc do radiačných pásov
- Driftovými pohybmi čästíc vznikajú elektrické prúdy

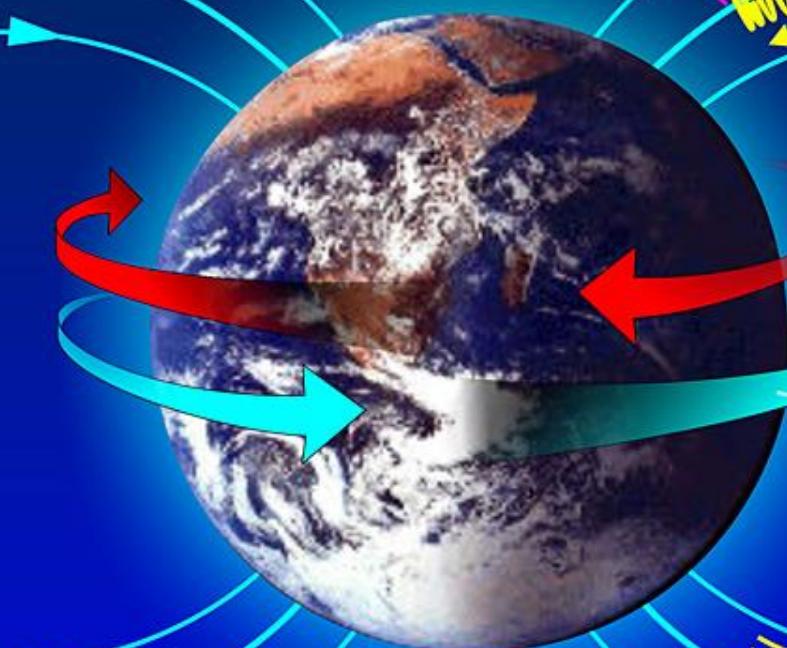
Severný zrkadlový bod

Siločiara zemského
magnetického poľa

ENA

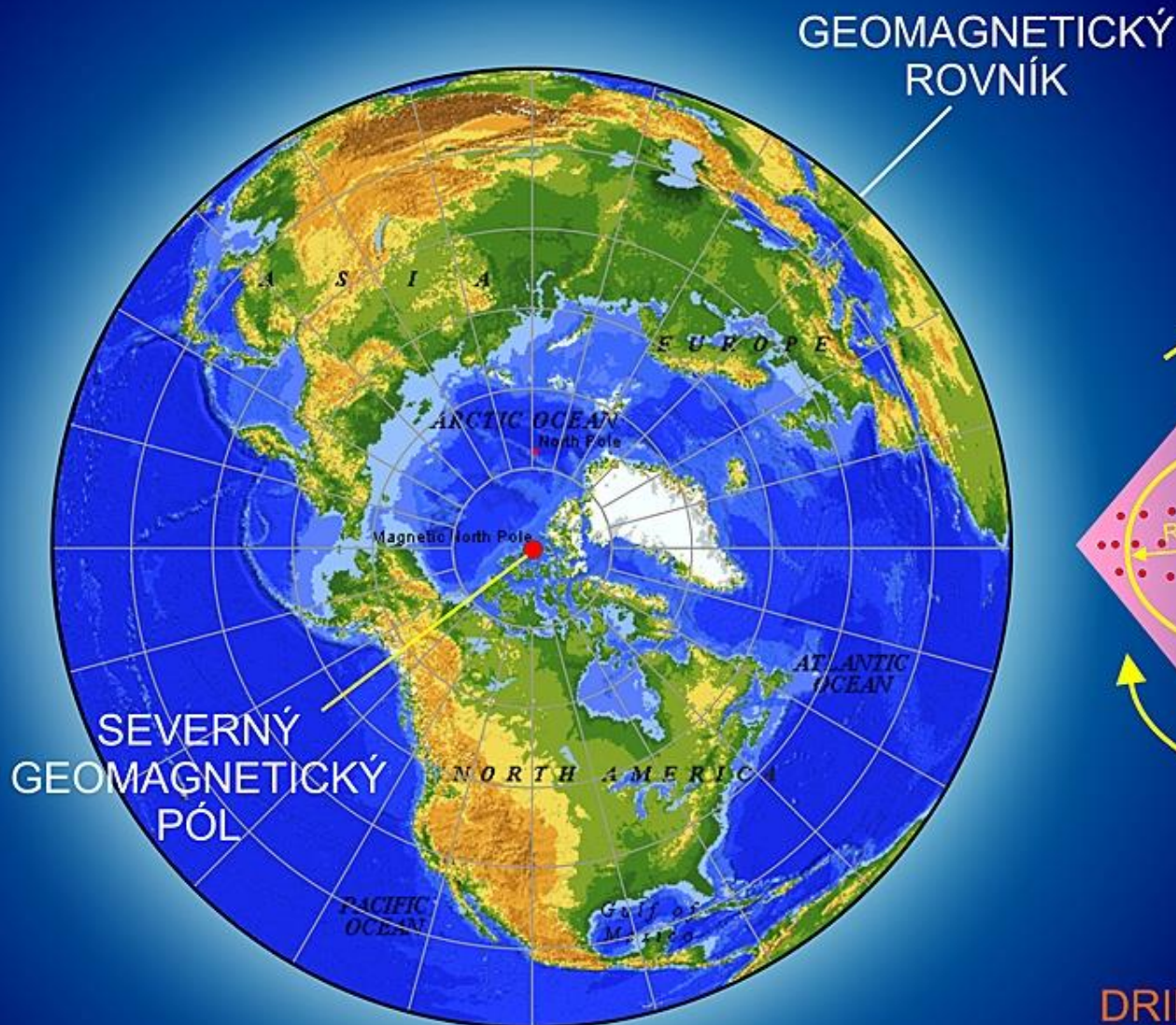
Drift
iónov

Drift
elektrónov



Južný zrkadlový bod

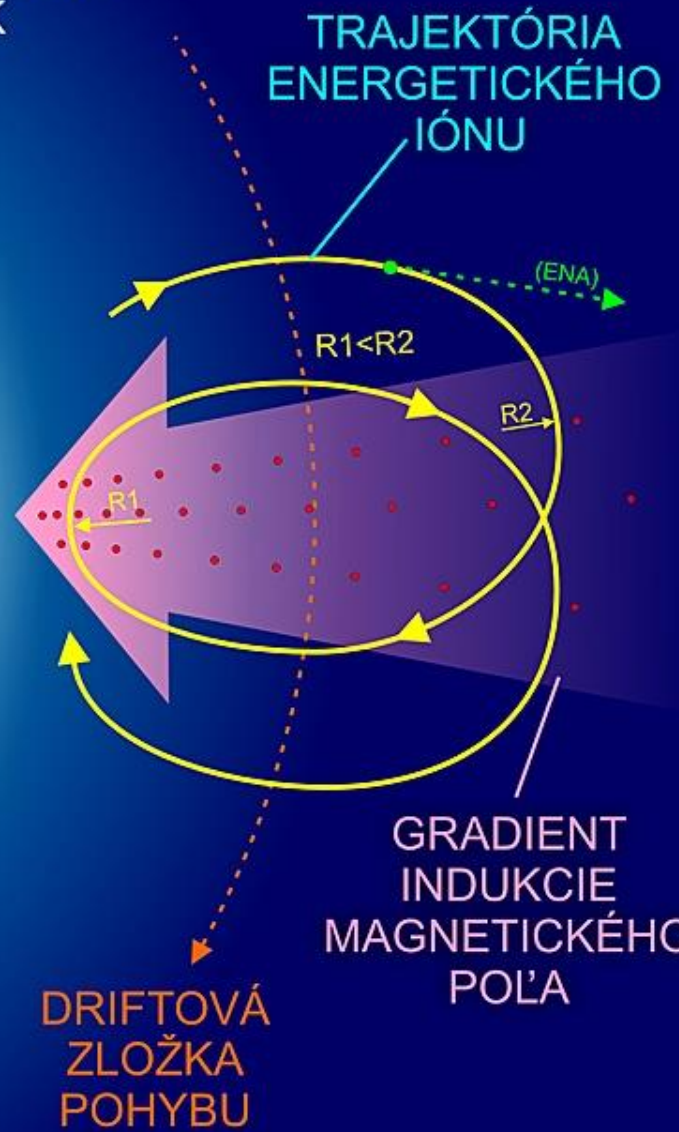
Špirálová trajektória
zachytenej nabitej častice



GEOMAGNETICKÝ
ROVNÍK

SEVERNÝ
GEOMAGNETICKÝ
PÓL

(PRIEMET DO
ROVNÍKOVEJ
ROVINY)

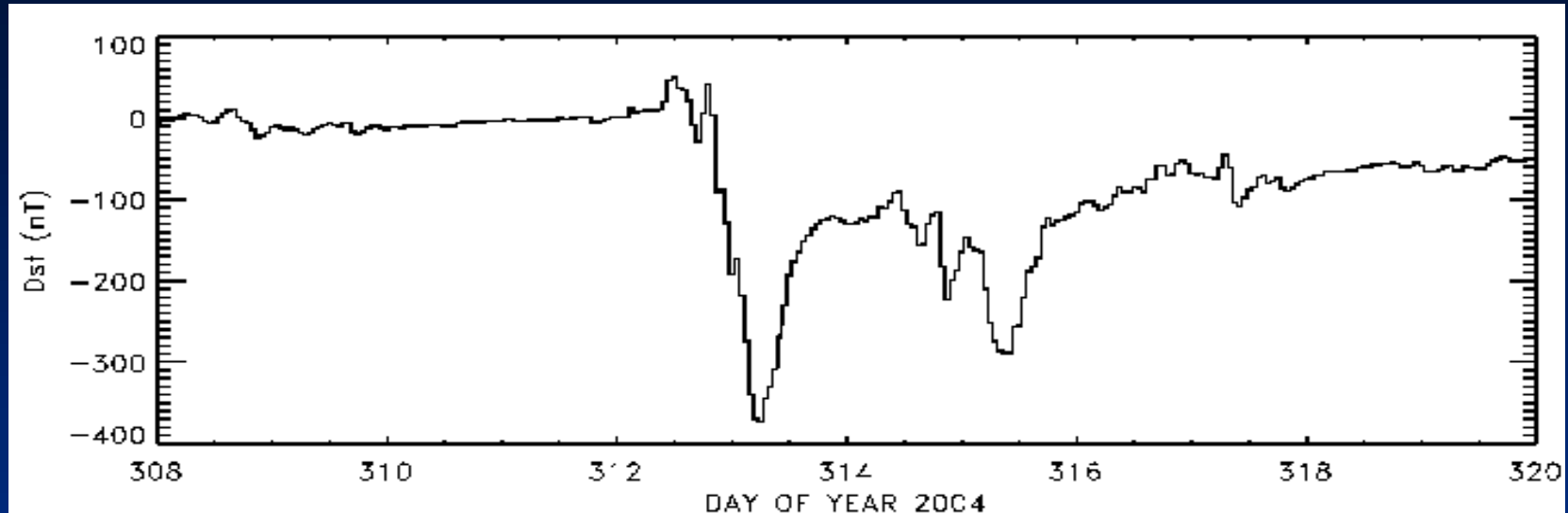


TRAJEKTÓRIA
ENERGETICKÉHO
IÓNU

GRADIENT
INDUKCIE
MAGNETICKÉHO
POĽA

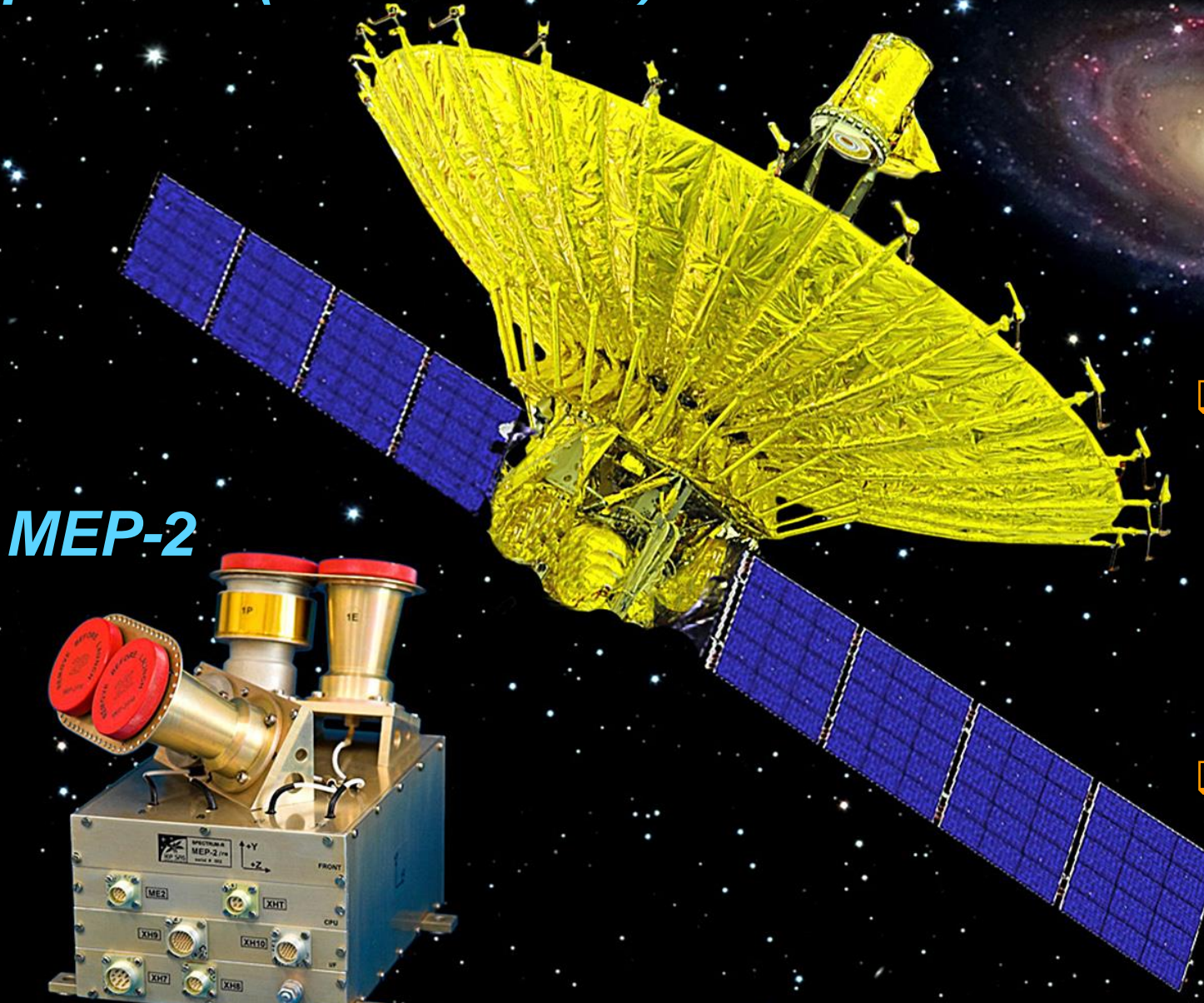
DRIFTOVÁ
ZLOŽKA
POHYBU

Geomagnetické búrky a Prstencový prúd (Ring Current RC)



DST-index (*Disturbance Storm Time*)

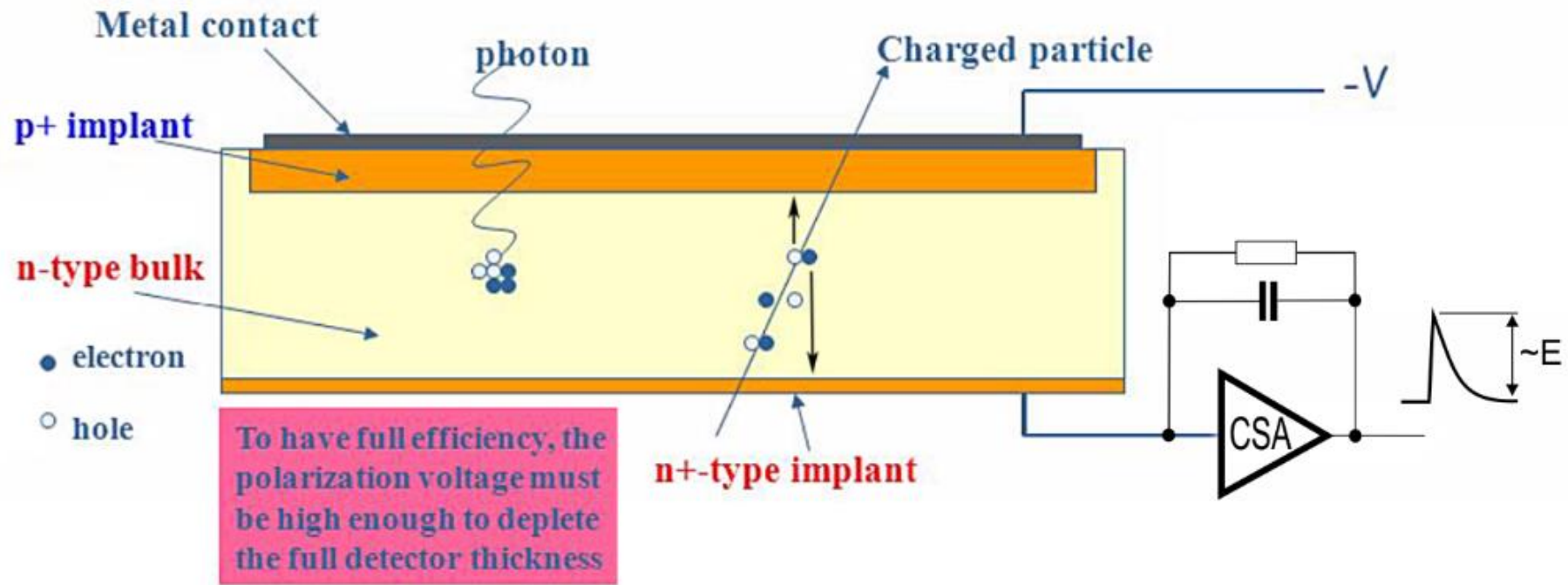
Magnetická búrka: Masívny prienik nabitych energetických častíc do magnetosféry pri príchode CME a vhodnej konfigurácii medziplanetárneho magnetického pol'a IMF.



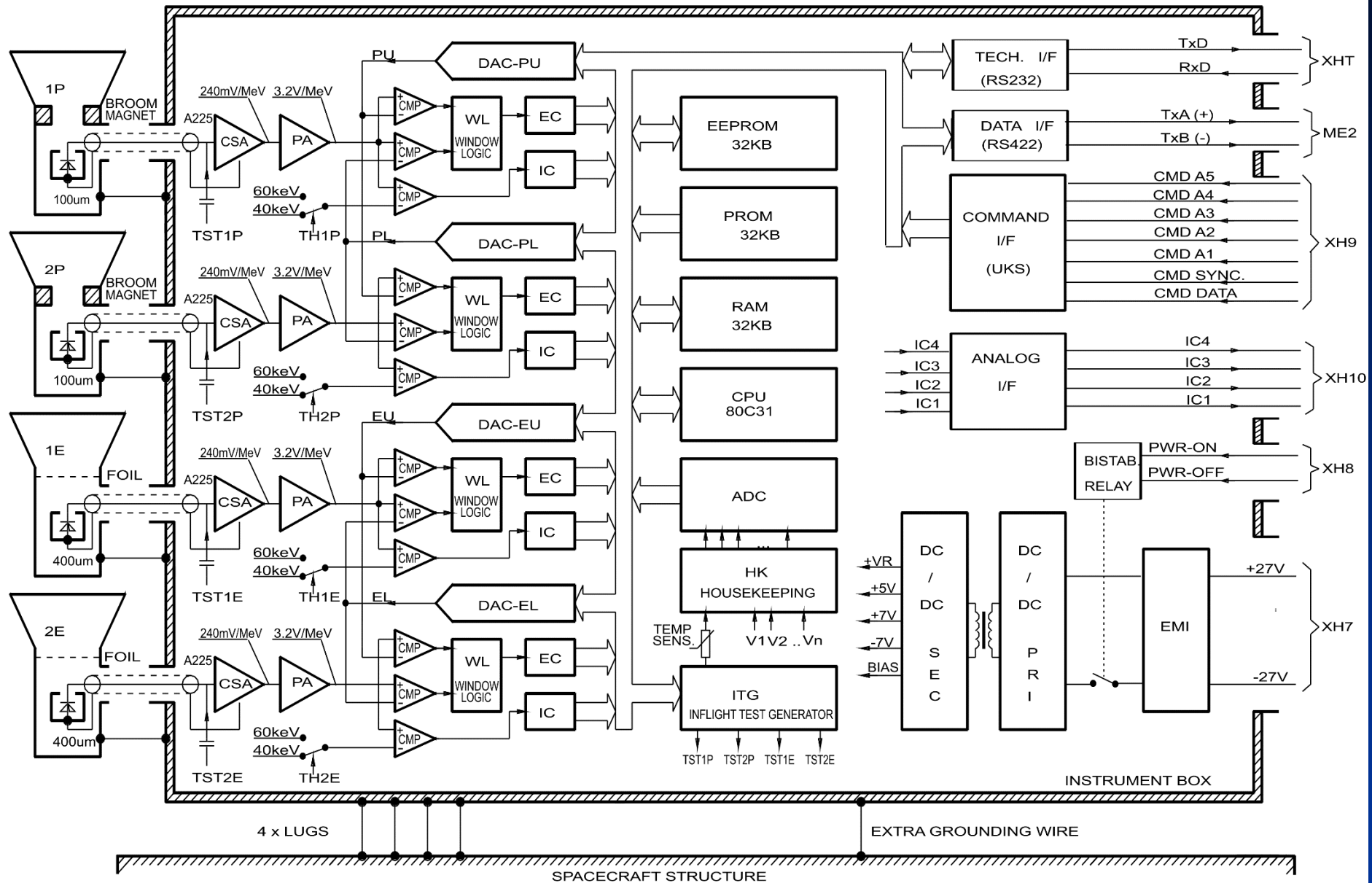
MEP-2

- Rádioastronomický satelit s 10 metrovou parabolickou anténou na orbite Zeme
- Orbita je vhodná pre kozmo-fyzikálne experimenty

Pоловodičový detektor ionizujúceho žiarenia



MEP 2– bloková schéma (Monitor of Energetic Particles)



MEP-2 je košický rekordér, 7,5 roka funkčný na orbite !!!



MEP-2 (zatial) najprestížnejší výsledok



The logo for the Journal of Geophysical Research, consisting of the letters "JGR" in a bold, white, sans-serif font set against a blue and white curved background.

Journal of Geophysical Research: Space Physics

RESEARCH ARTICLE

10.1002/2015JA021077

Key Points:

- Oscillations of energetic ions are found in the foreshock
- Energy range is 4–400 keV, periods 10–60 s
- Events are related to fast solar wind

Supporting Information:

- Readme
- Data Set S1
- Table S1

Correspondence to:

A. A. Petrukovich,
apetruko@iki.rssi.ru

Oscillations of energetic ions flux near the Earth's bow shock

A. A. Petrukovich¹, T. Inamori¹, J. Balaz², K. Kudela², M. Slivka², I. Strharsky², V. A. Gladyshev¹, T. Sarris³, and E. Sarris³

¹Space Research Institute, Russian Academy of Sciences, Moscow, Russia, ²Institute of Experimental Physics, Slovakian Academy of Sciences, Kosice, Slovakia, ³Electrical & Computer Engineering Department, Democritus University of Thrace, Xanthi, Greece

Abstract A new type of variability in the foreshock and magnetosheath is revealed with the recent energetic particle experiments monitor of electrons and protons (MEP) onboard Spectr-R spacecraft and solid-state telescope onboard Time History of Events and Macroscale Interactions during Substorms spacecraft, which have high time resolution. Oscillations of energetic ion fluxes are observed in the broad energy range ~4–400 keV, with periods 10–30 s, often rather monochromatic waveform and accompanied with magnetic oscillations. Such events are not so rare (~100 cases are found for 2007–2012) but are associated mostly with high-speed solar wind.

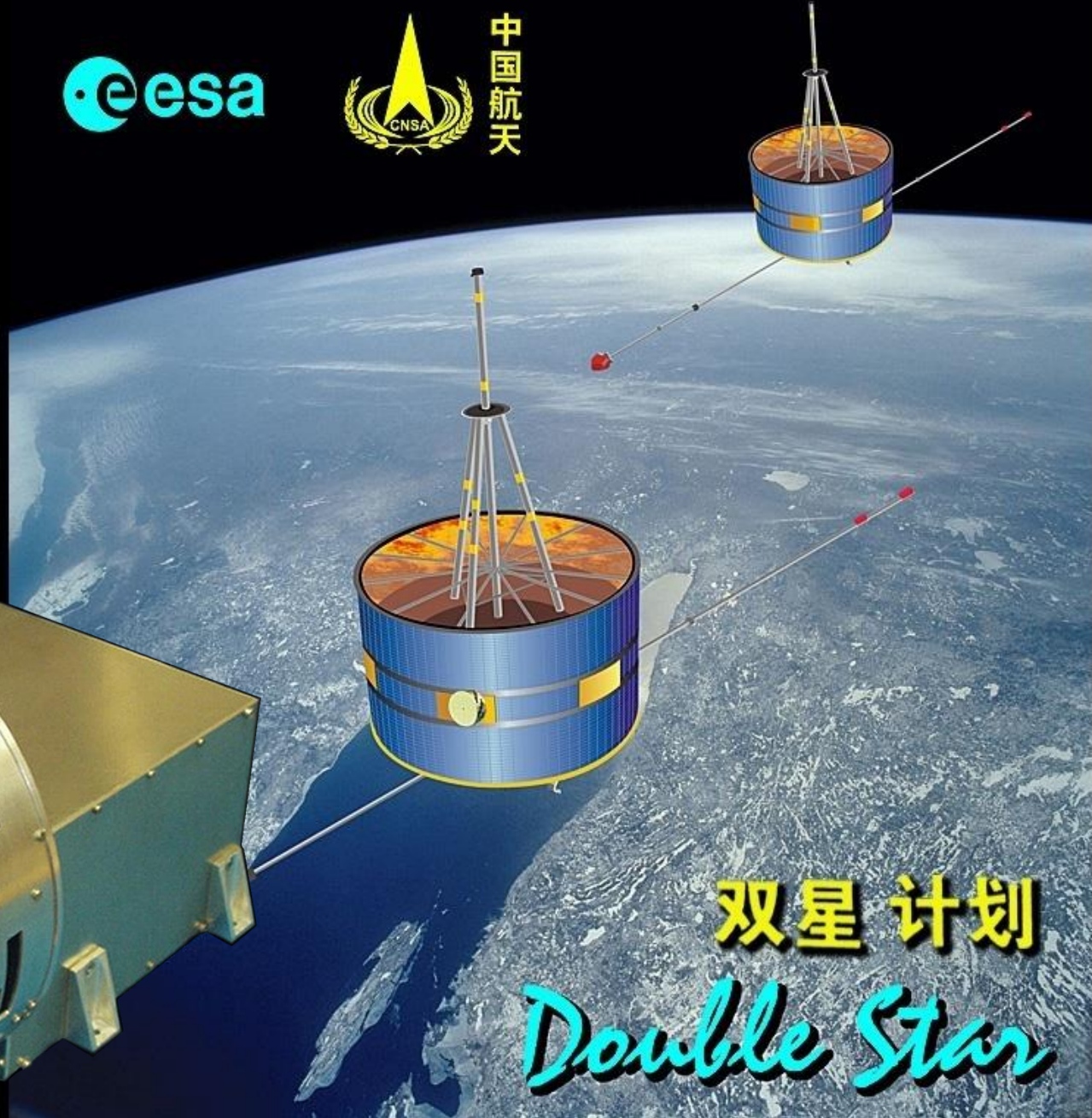
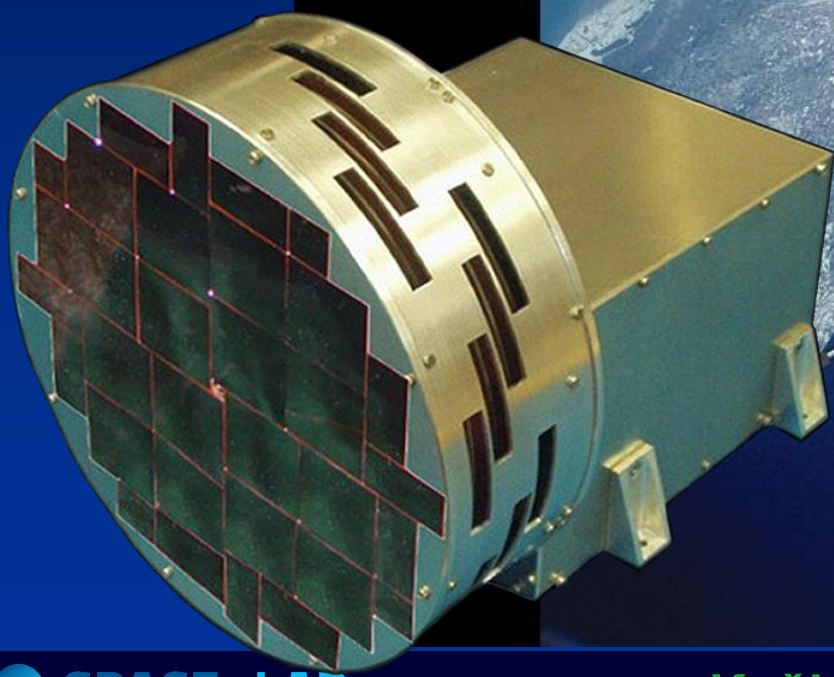
Double Star

(Dvojhviezda, Shuang Xing)

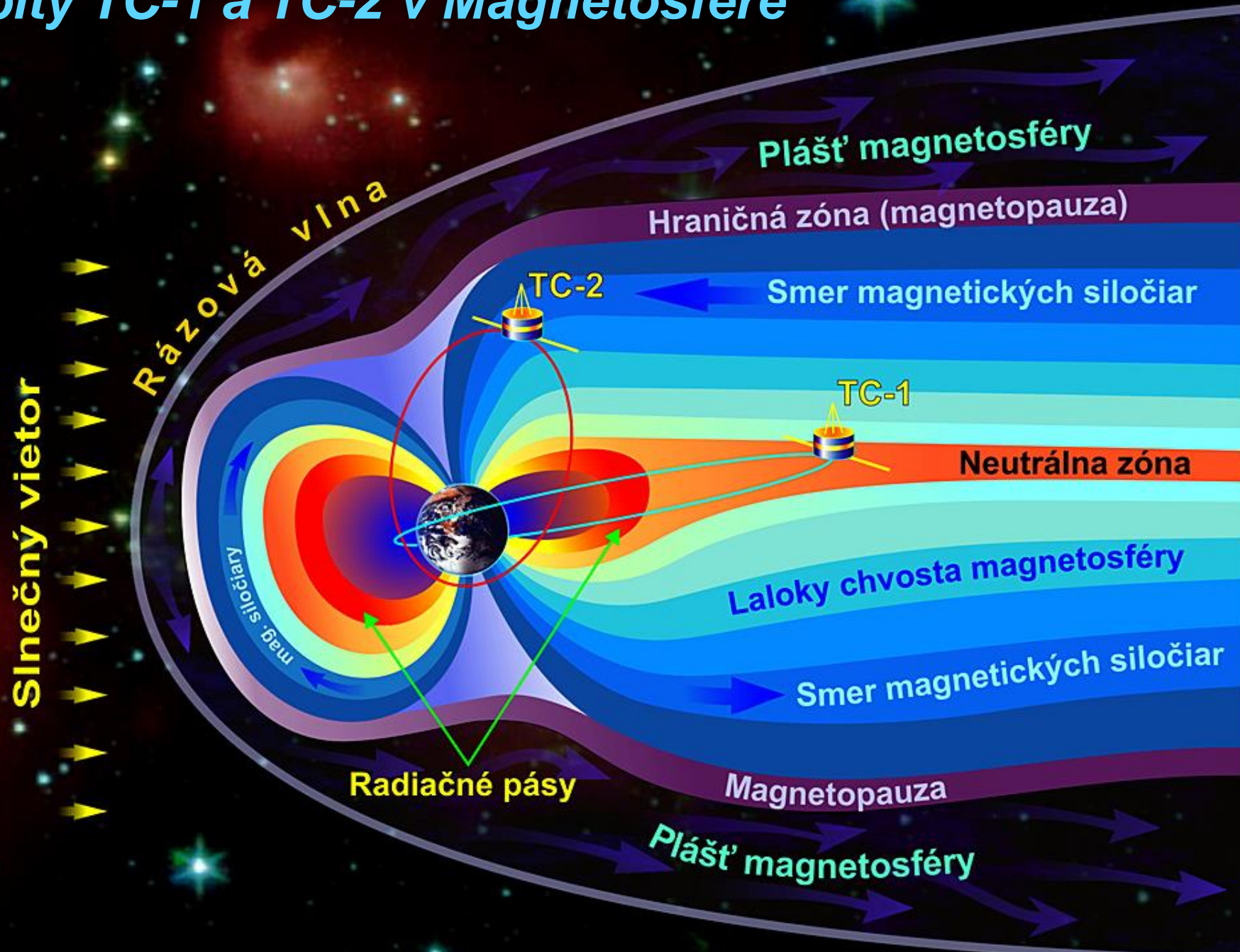


- Spolupráca Čínskej kozmickej agentúry CNSA a Európskej kozmickej agentúry ESA
- Dva satelia pre magnetosférický prieskum TC-1 a TC-2 (*Tan Ce – Explorer, Prieskumník*)
- ENA imager NUADU vyvinutý na ÚEF na palube TC-2

*Snímkovací detektor
(imager)
Energetických
Neutrálnych Atómov
N U A D U*



Orbita TC-1 a TC-2 v Magnetosfére



Generovanie ENA v magnetosfére Zeme

A

(1 x)

Nabitá energetická
častica
(Kyslíkový ión)

Preskok
elektrónu

Siločiara
geomagnetického poľa

Trajektória nabitej energetickej
častice v geomagnetickom poli

B

Trajektória ENA
v geomagnetickom poli

Kyslíkový
ENA

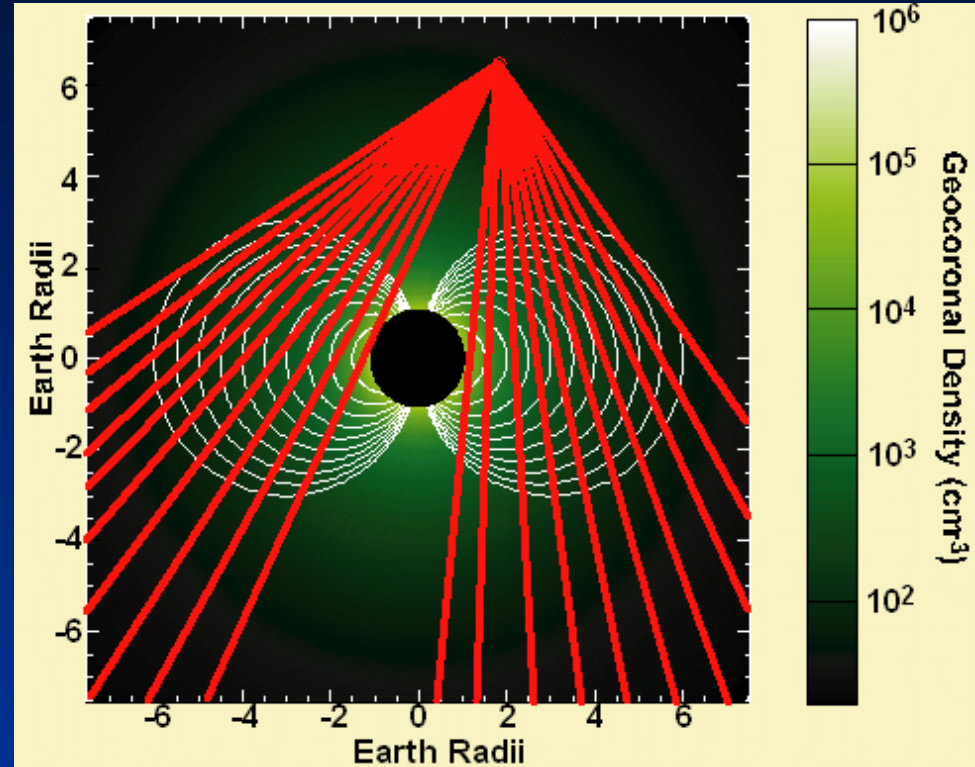
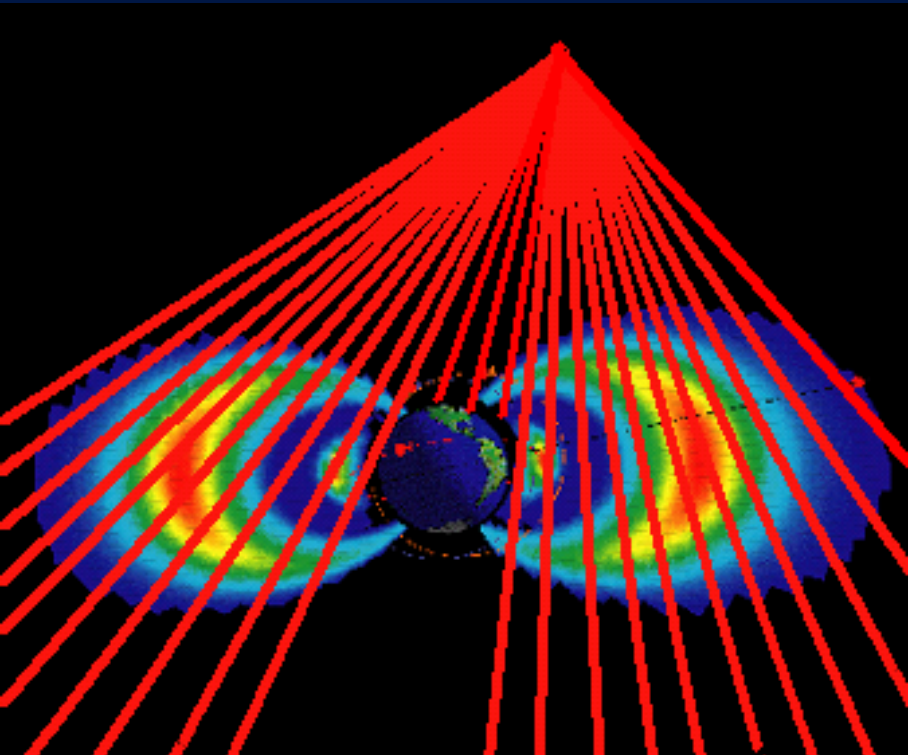
Novoutvorený
vodíkový ión

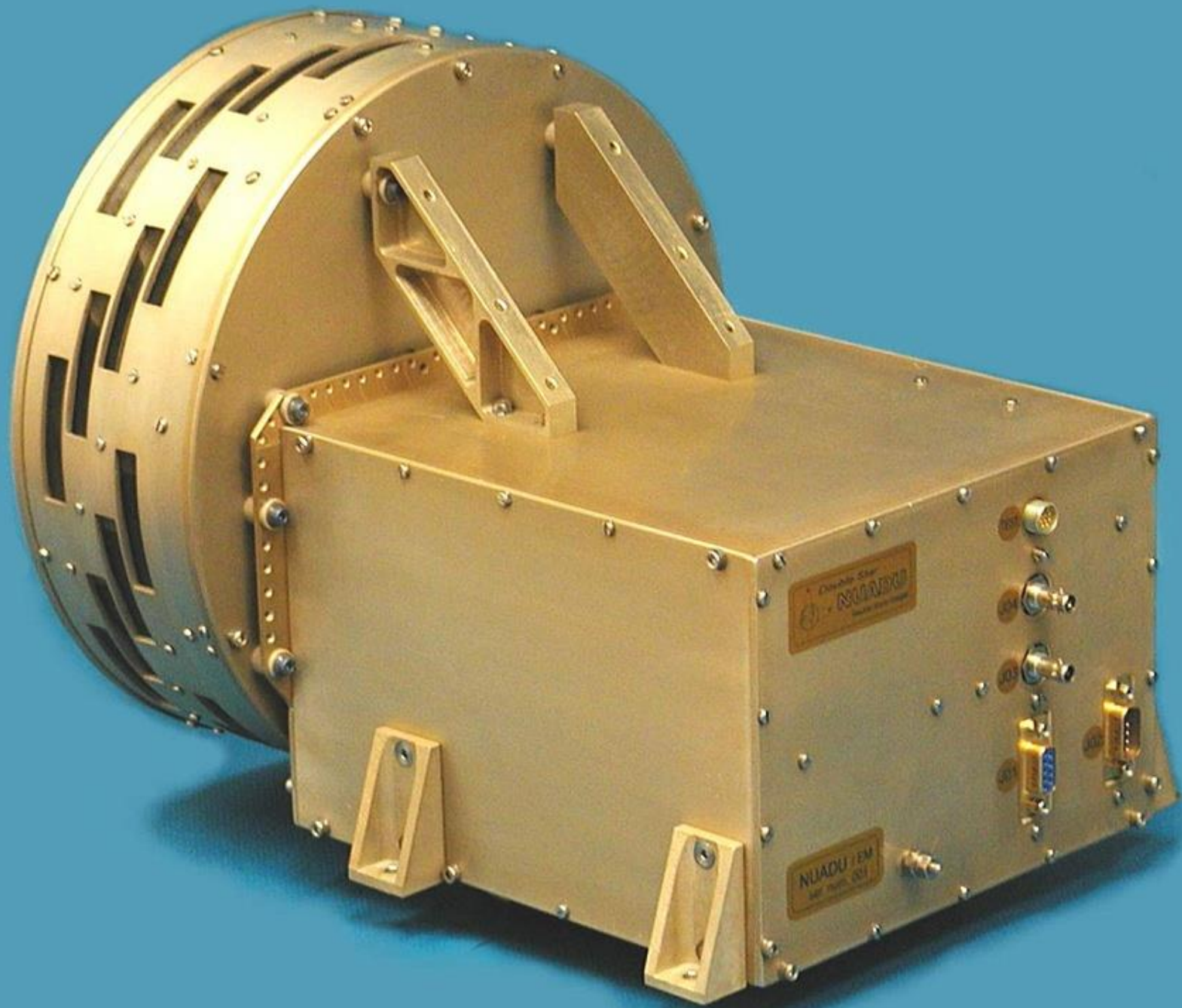
Siločiara
geomagnetického poľa

Neutrálne vodíkové
atómy geokoróny

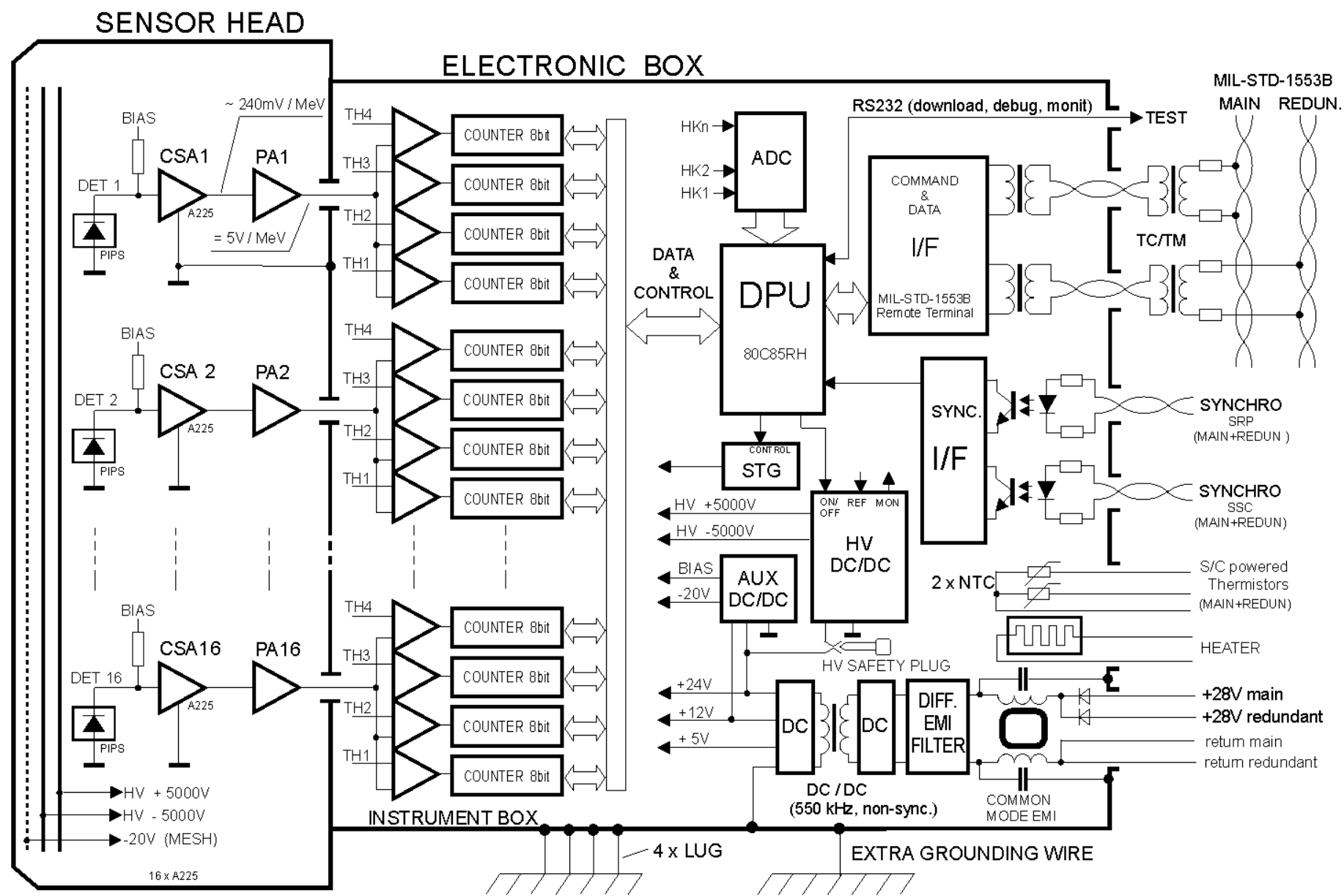
Trajektória nabitej energetickej
častice v geomagnetickom poli

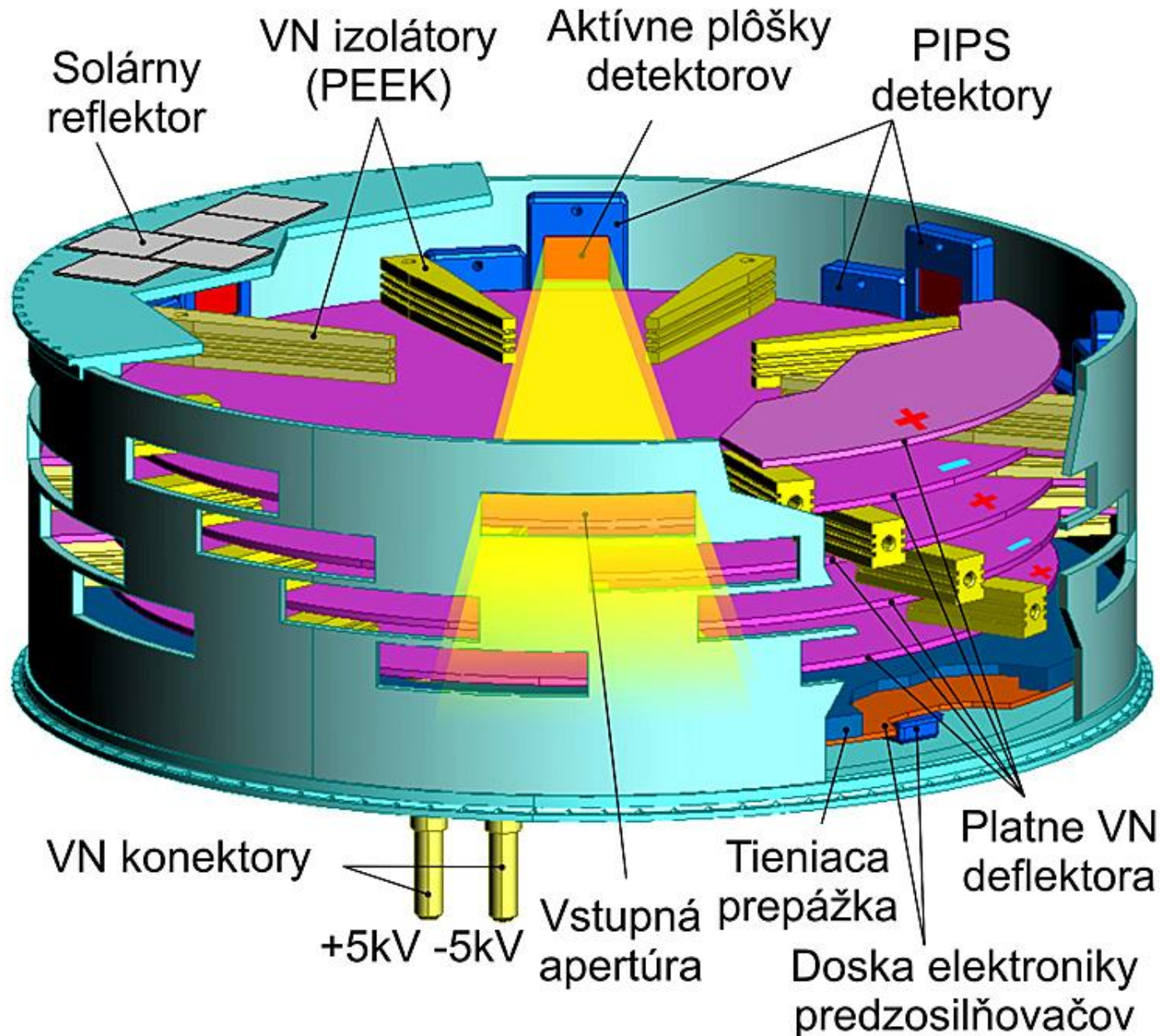
ENA-imaging

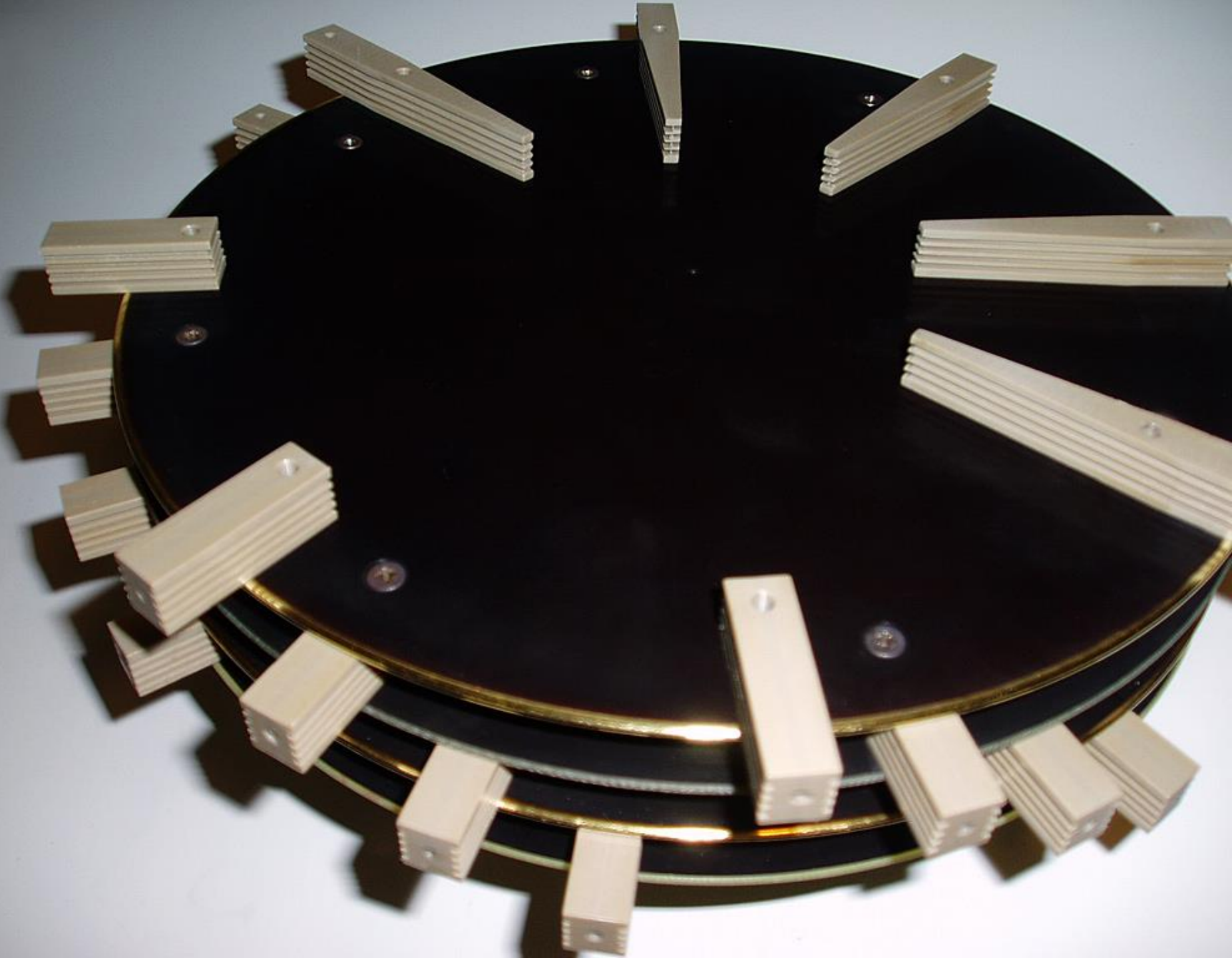


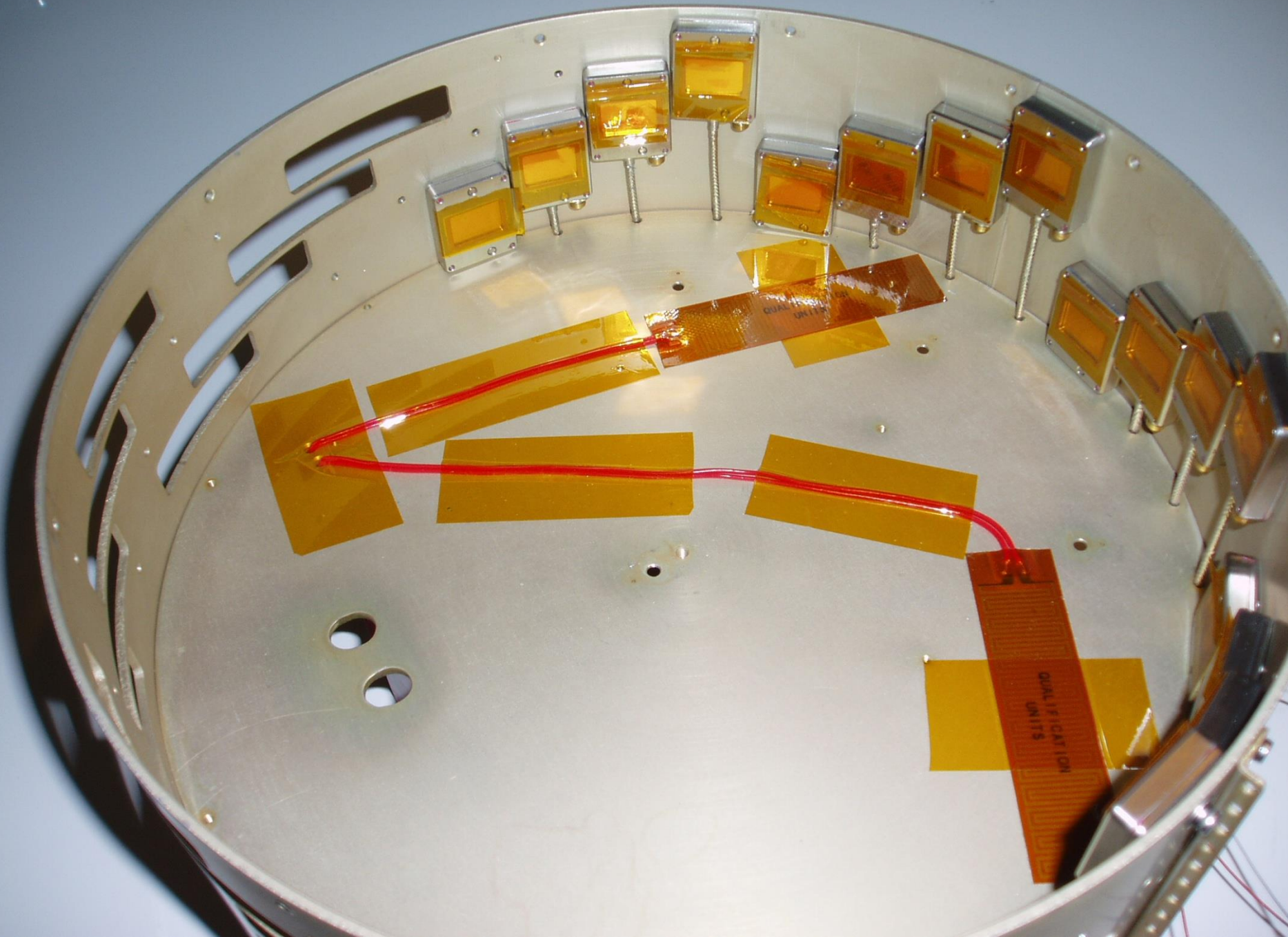


NUADU – funkčná bloková schéma (NeUtral Atom Detection Unit)

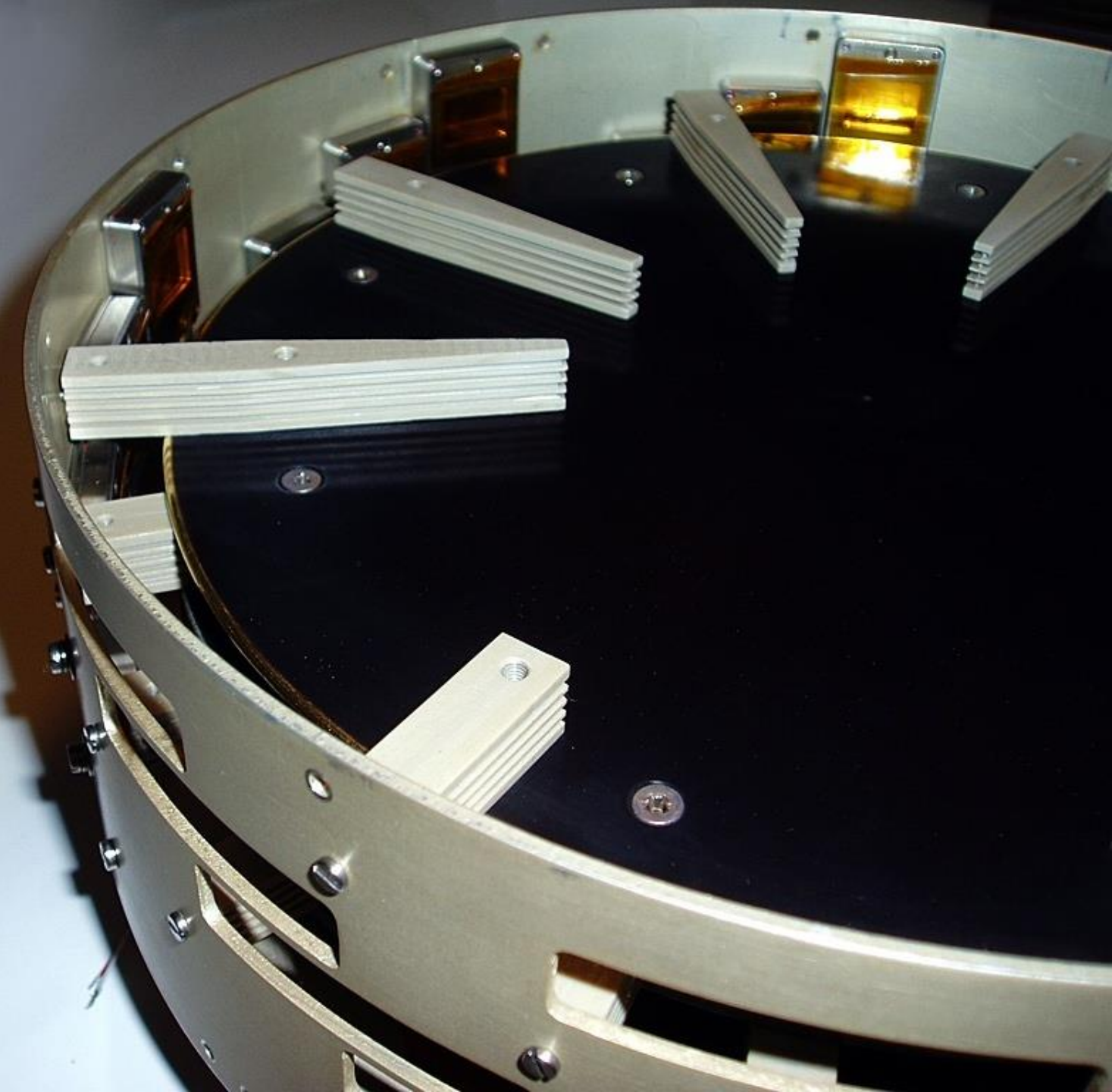


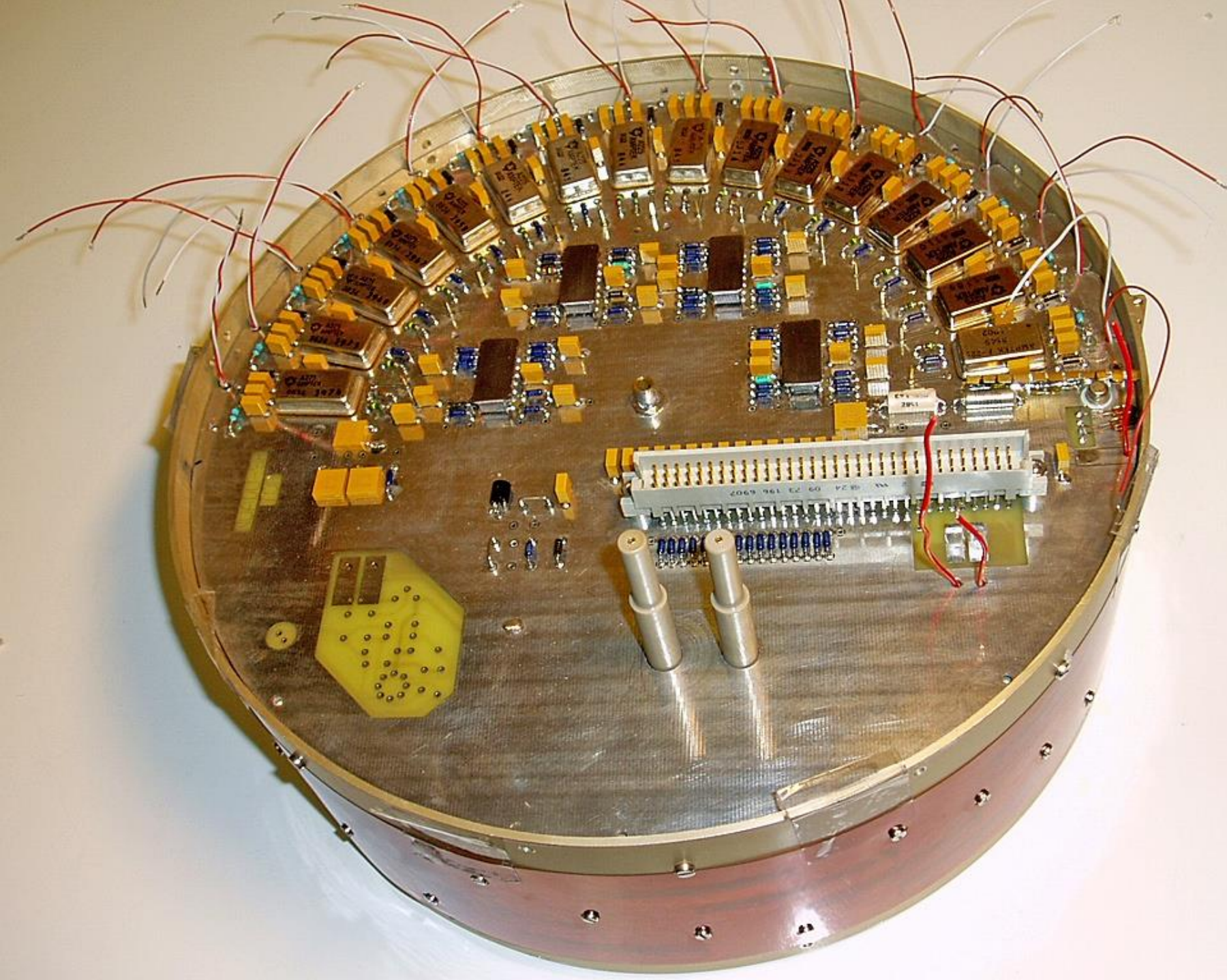


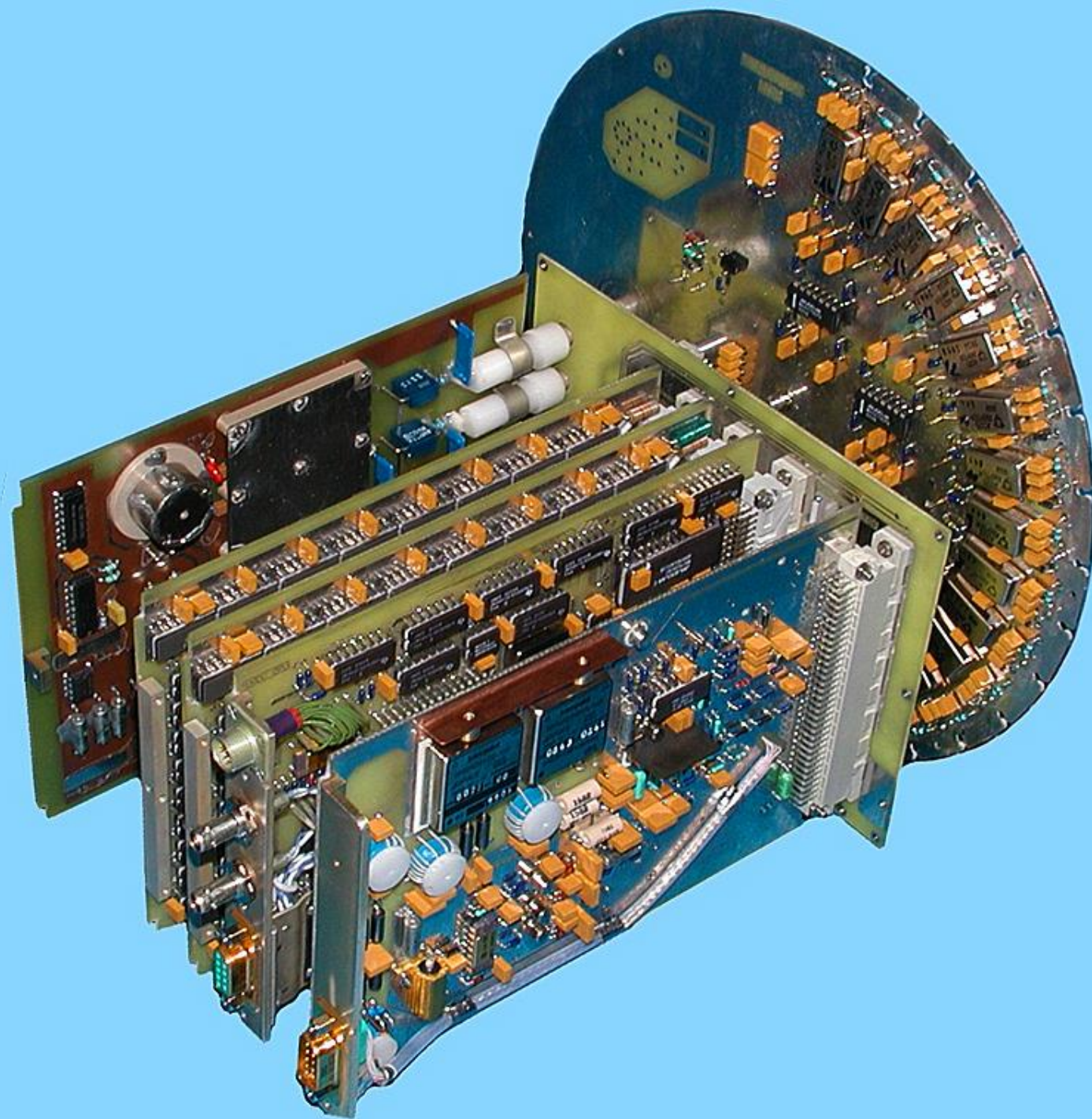




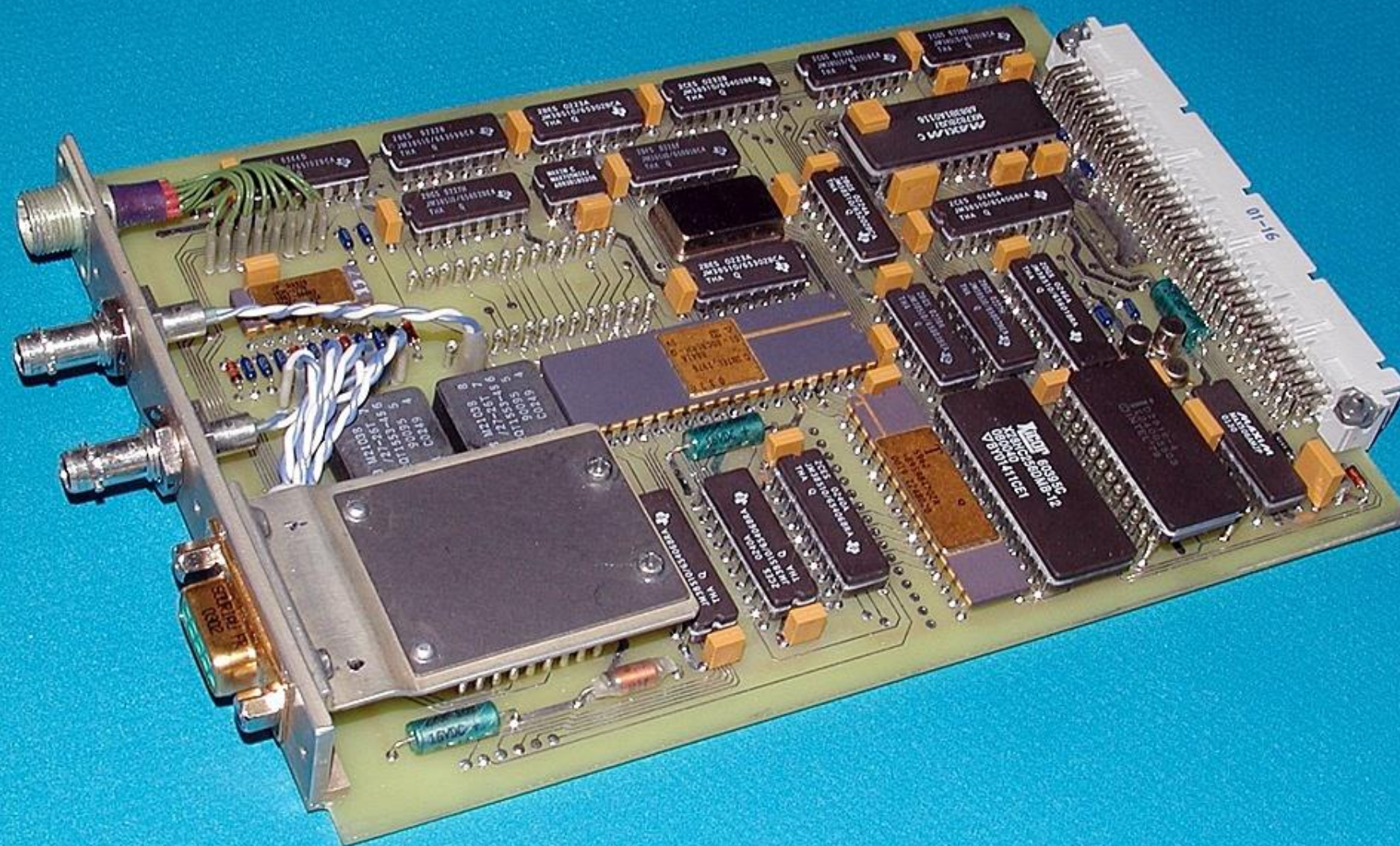
QUALIFICATION
UNITS

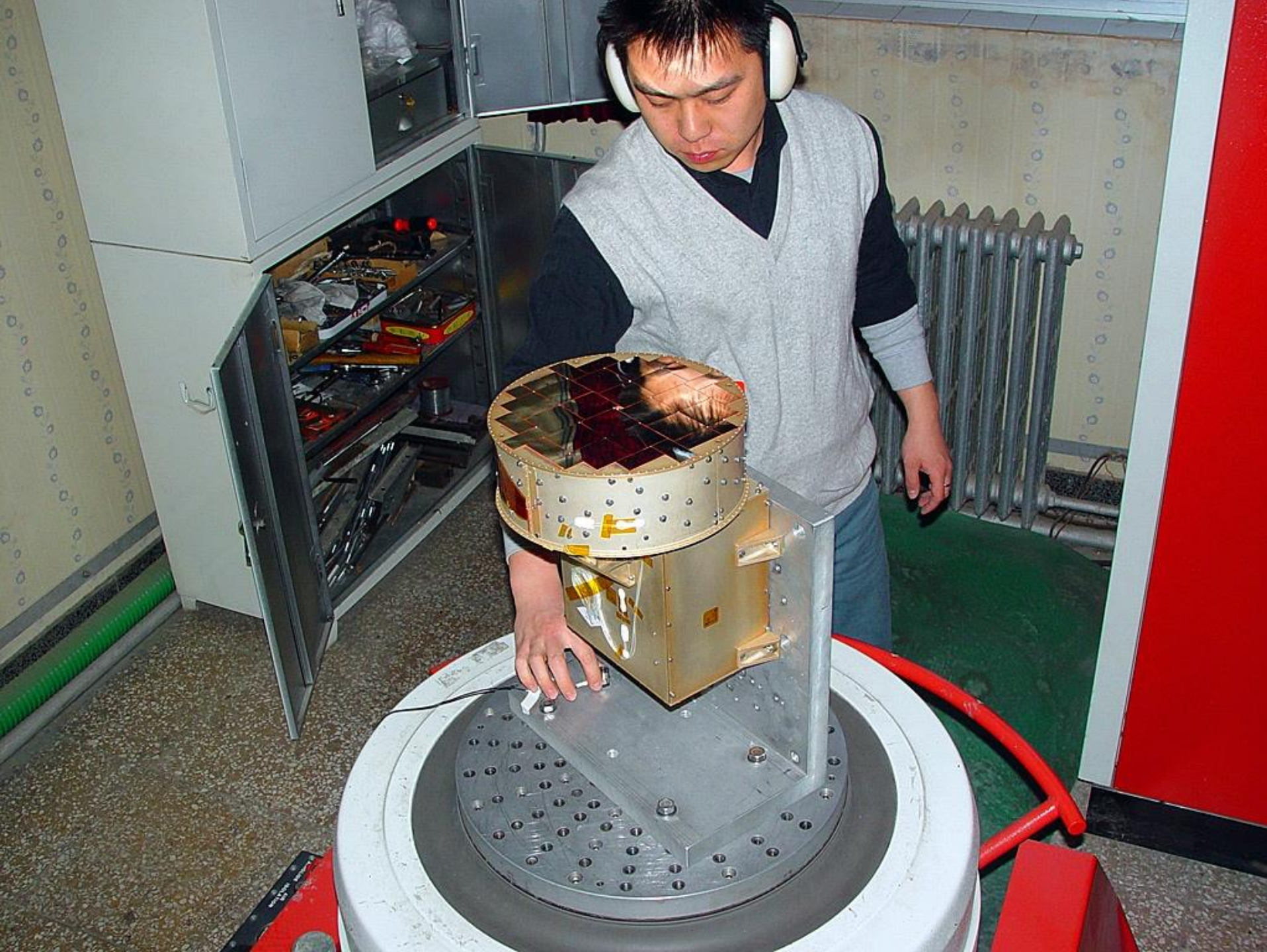






NUADU – DPU (Data Processing Unit)

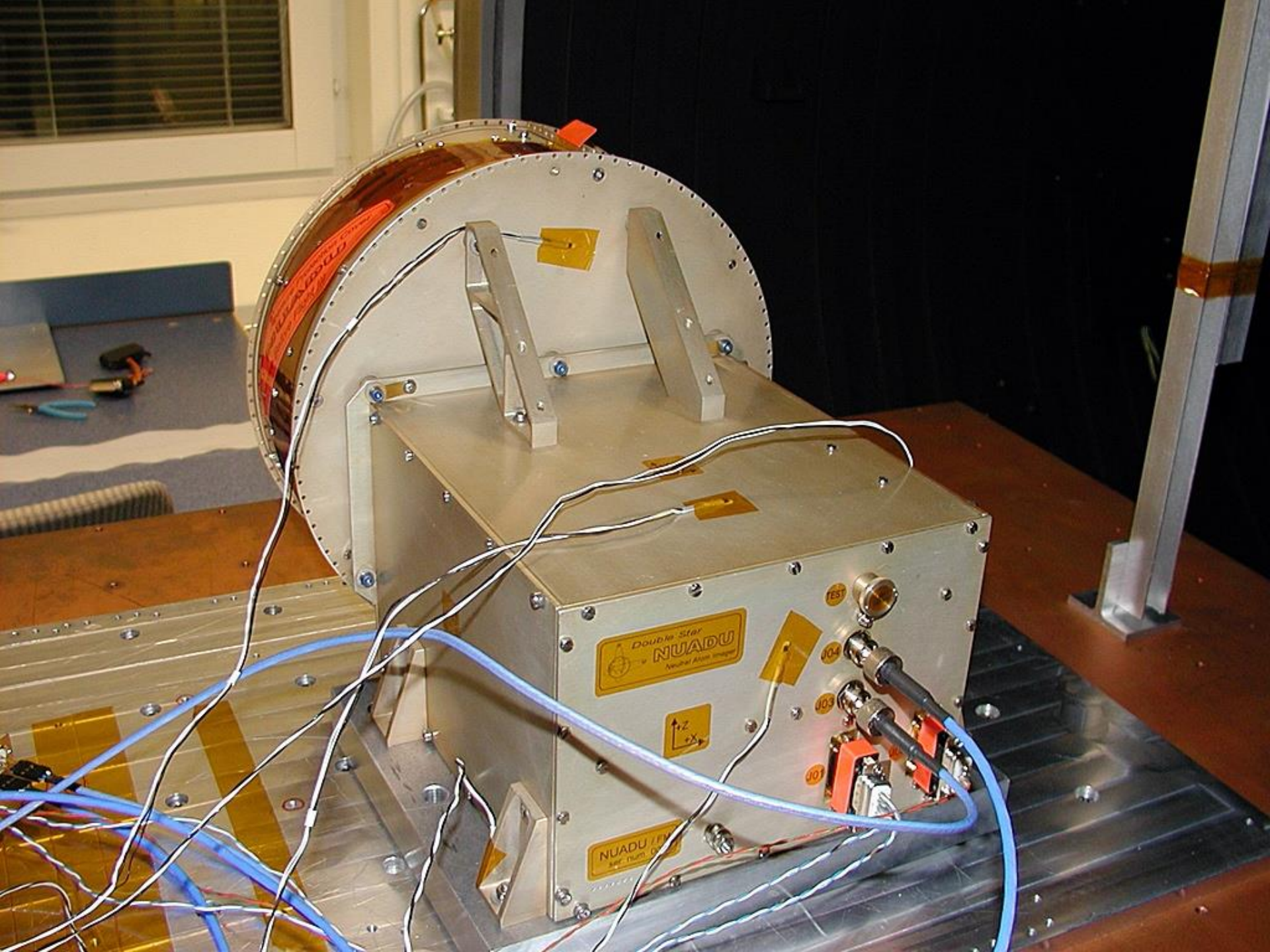






BALZERS





Double Star
NUADU
Neutral Atom Imager

NUADU / FM
SEC num. 001

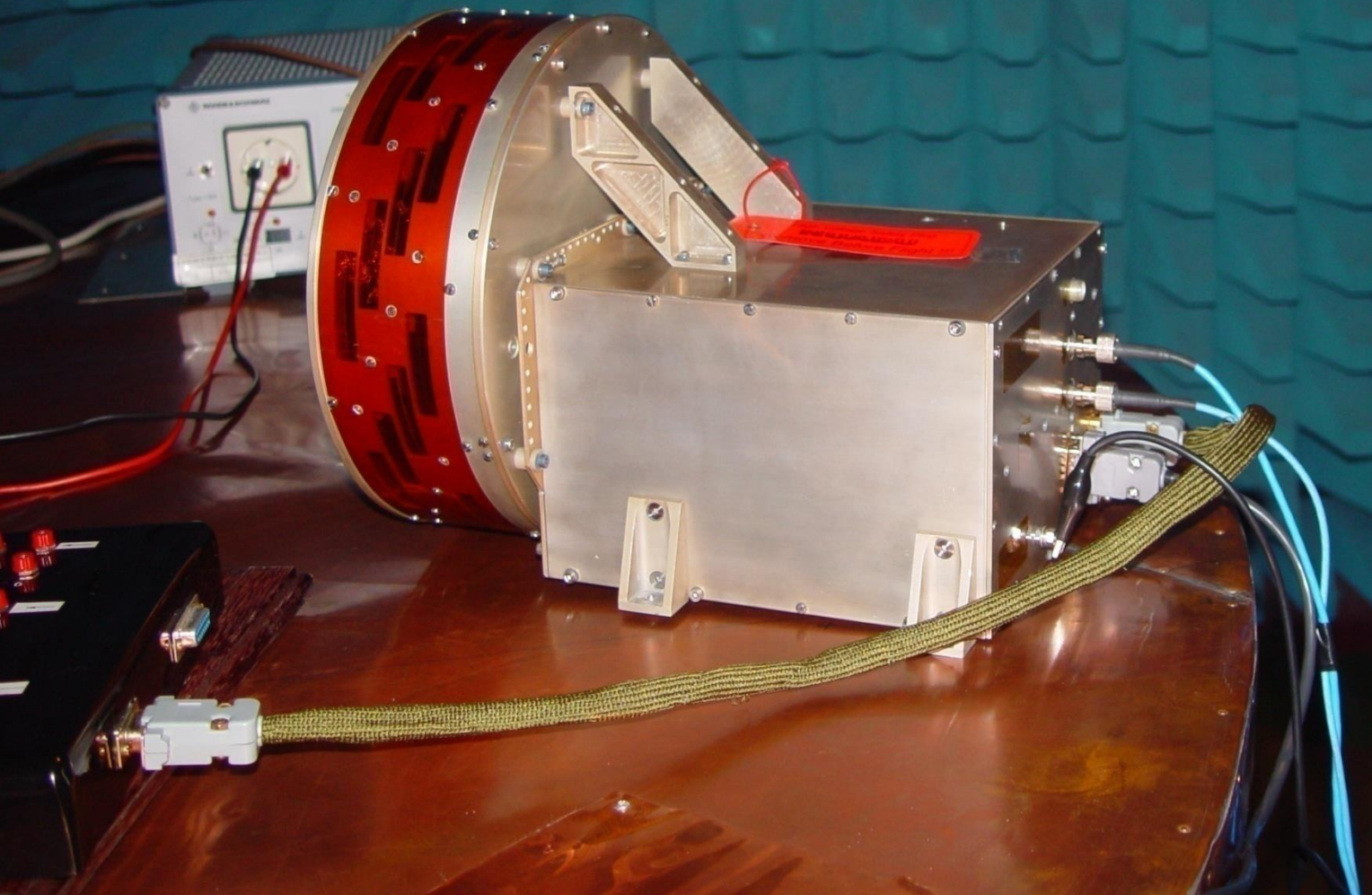
TEST

004

003

001

+Z
+X
+Y





Kalibrácia na časticovom urýchľovači Cryring

Manne Siegbahn Laboratory, Stockholm

Hydrogen ENA

512.4 keV

293.0 keV

150.6 keV

60.4 keV

Oxygen ENA

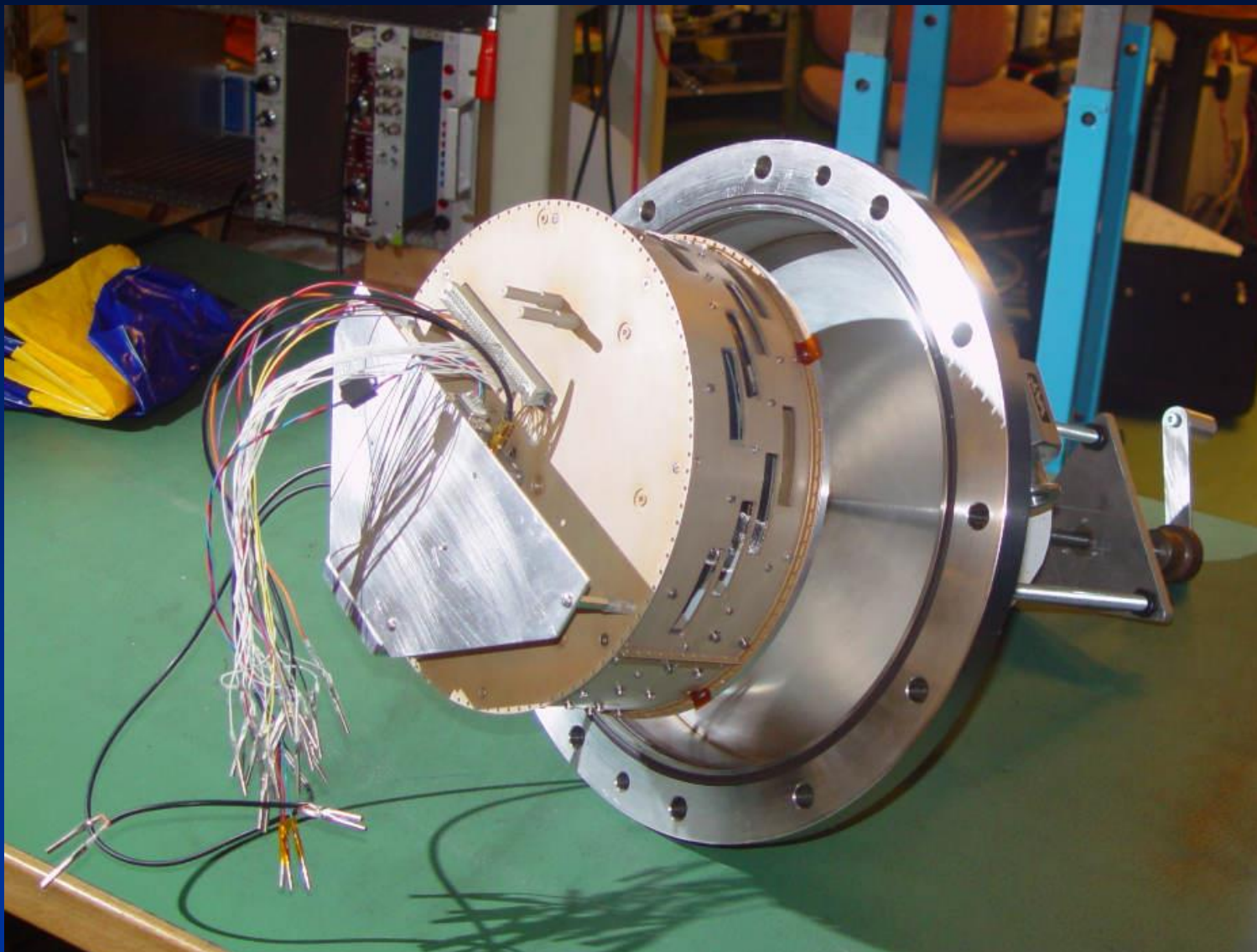
501.8 keV

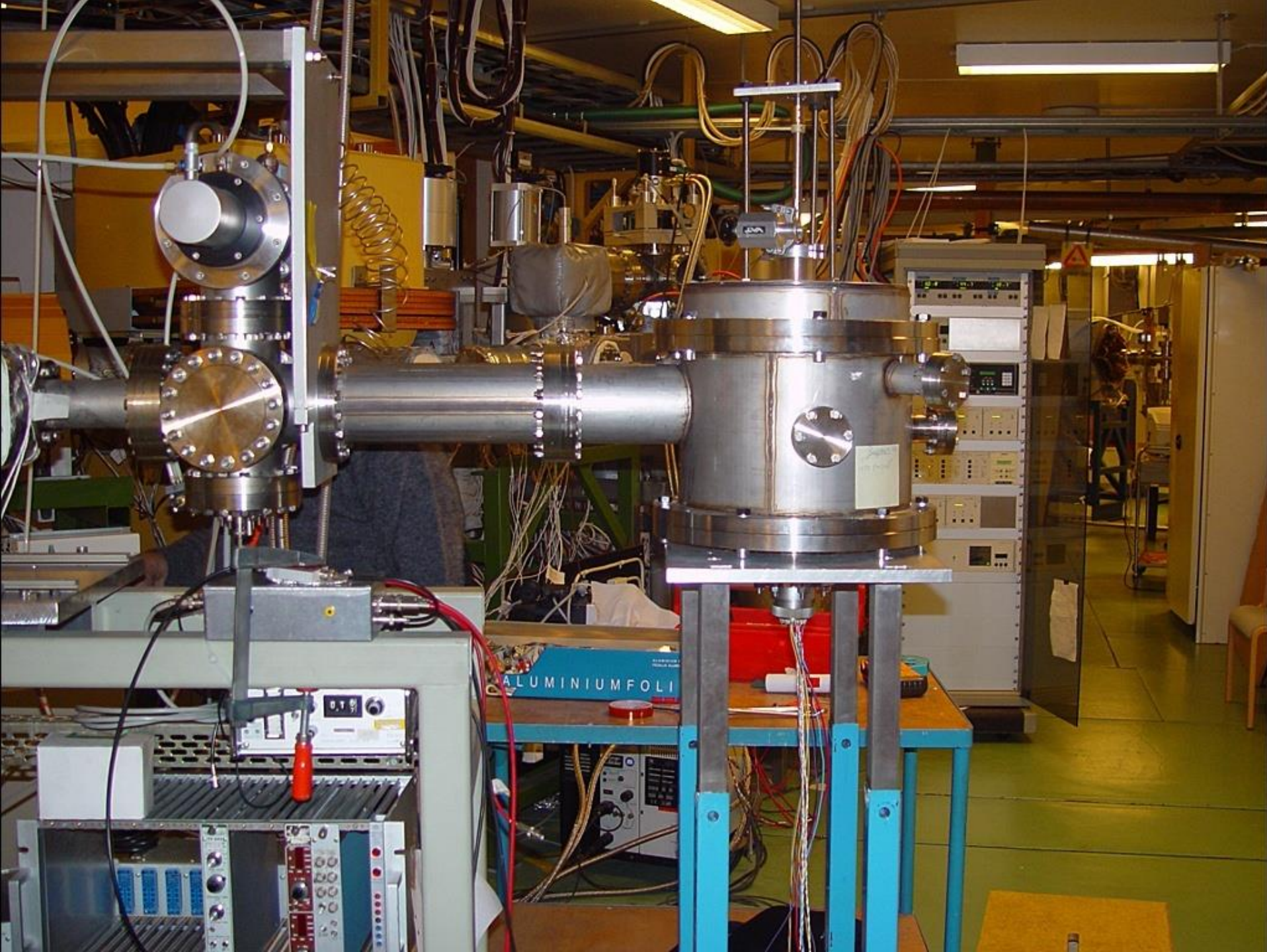
393.5 keV

301.1 keV

229.9 keV

149.8 keV

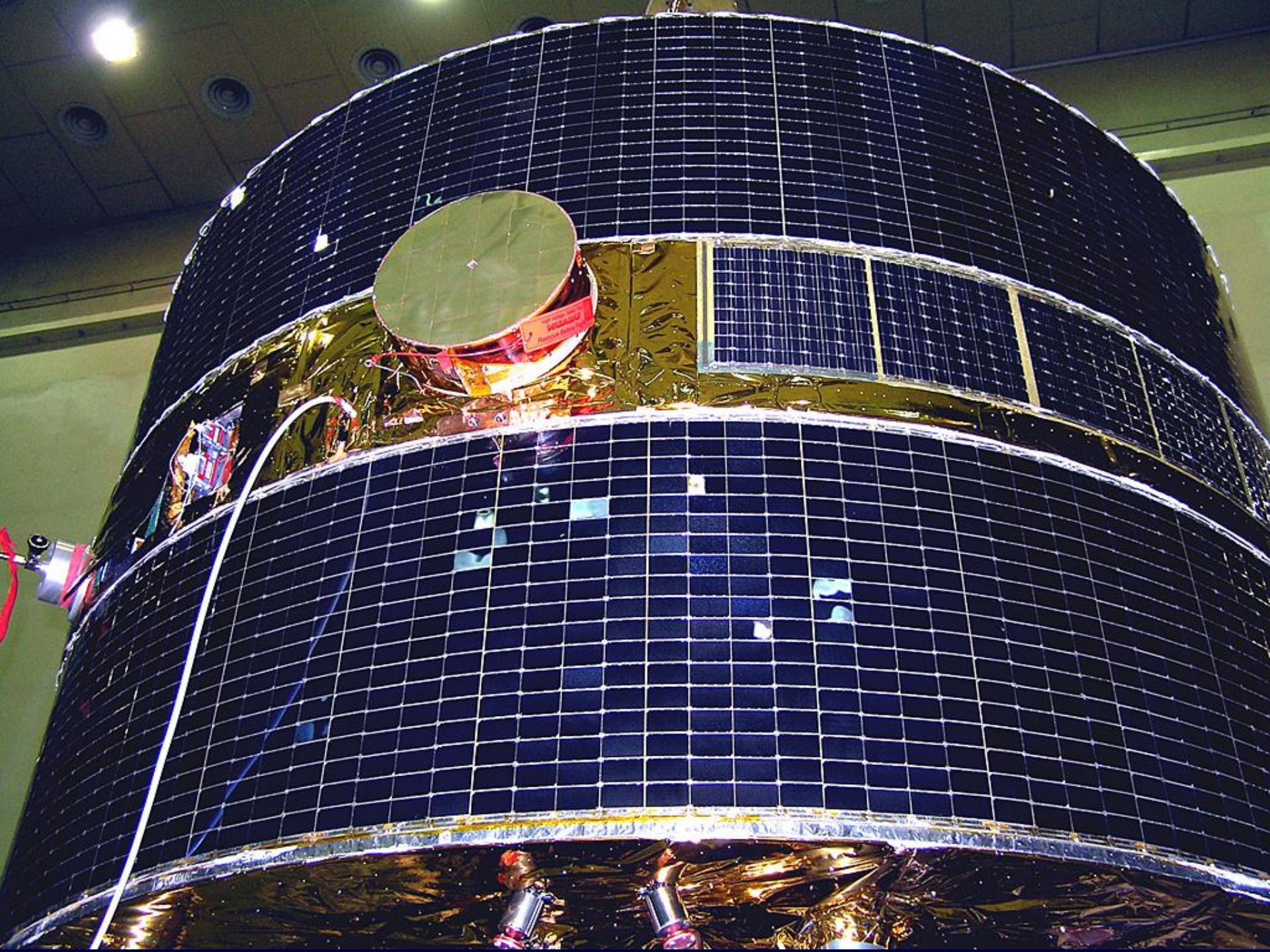


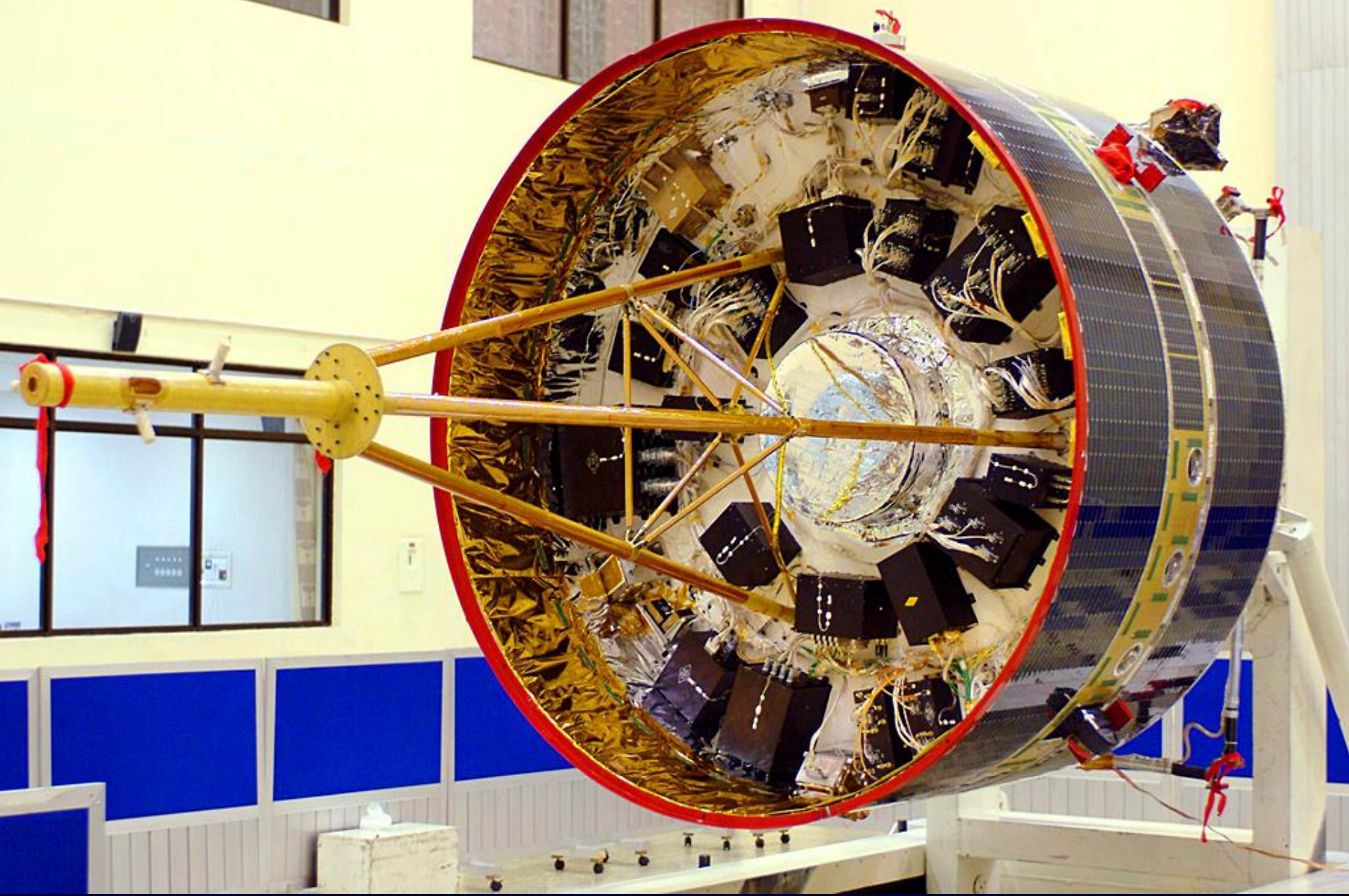


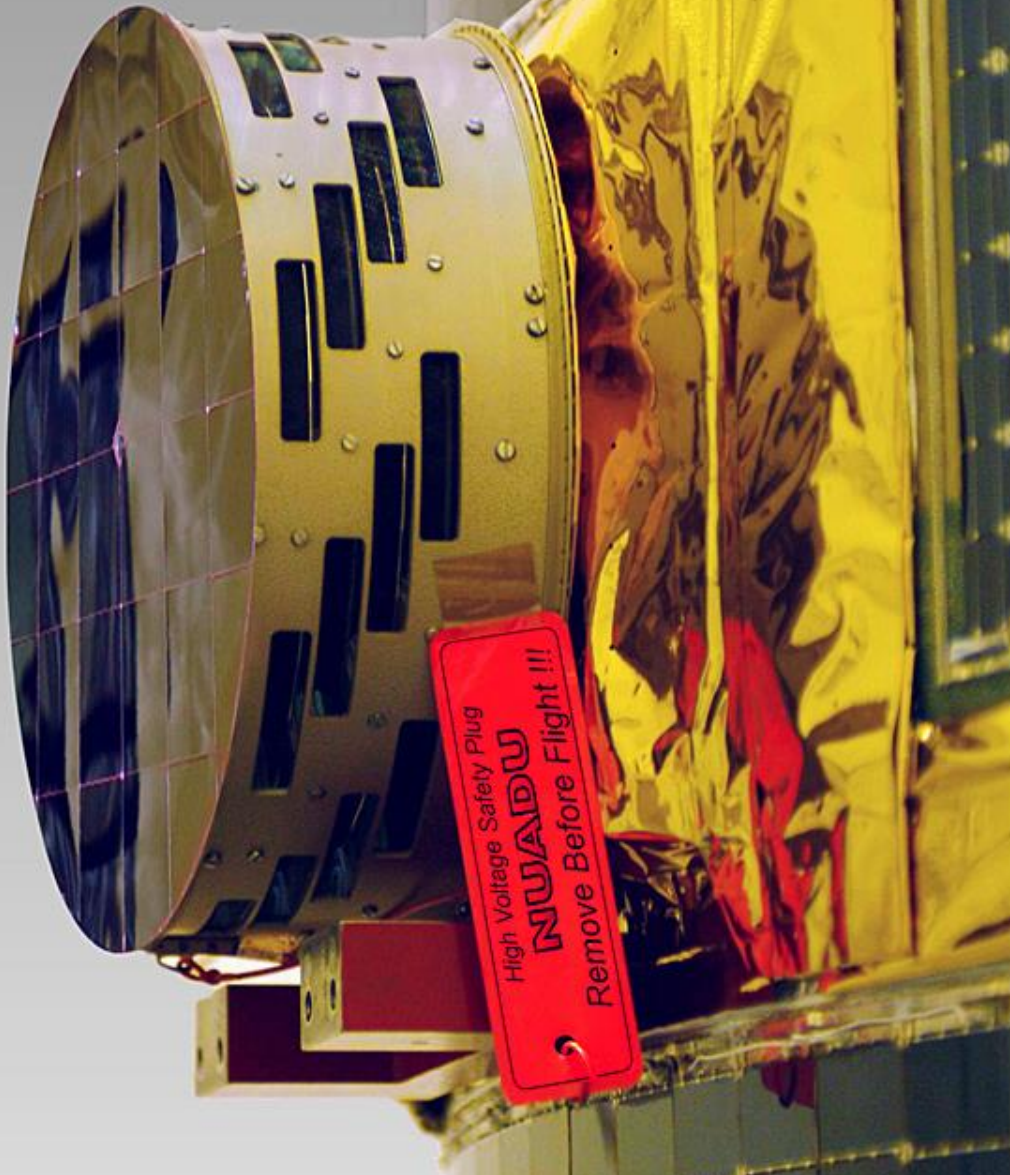




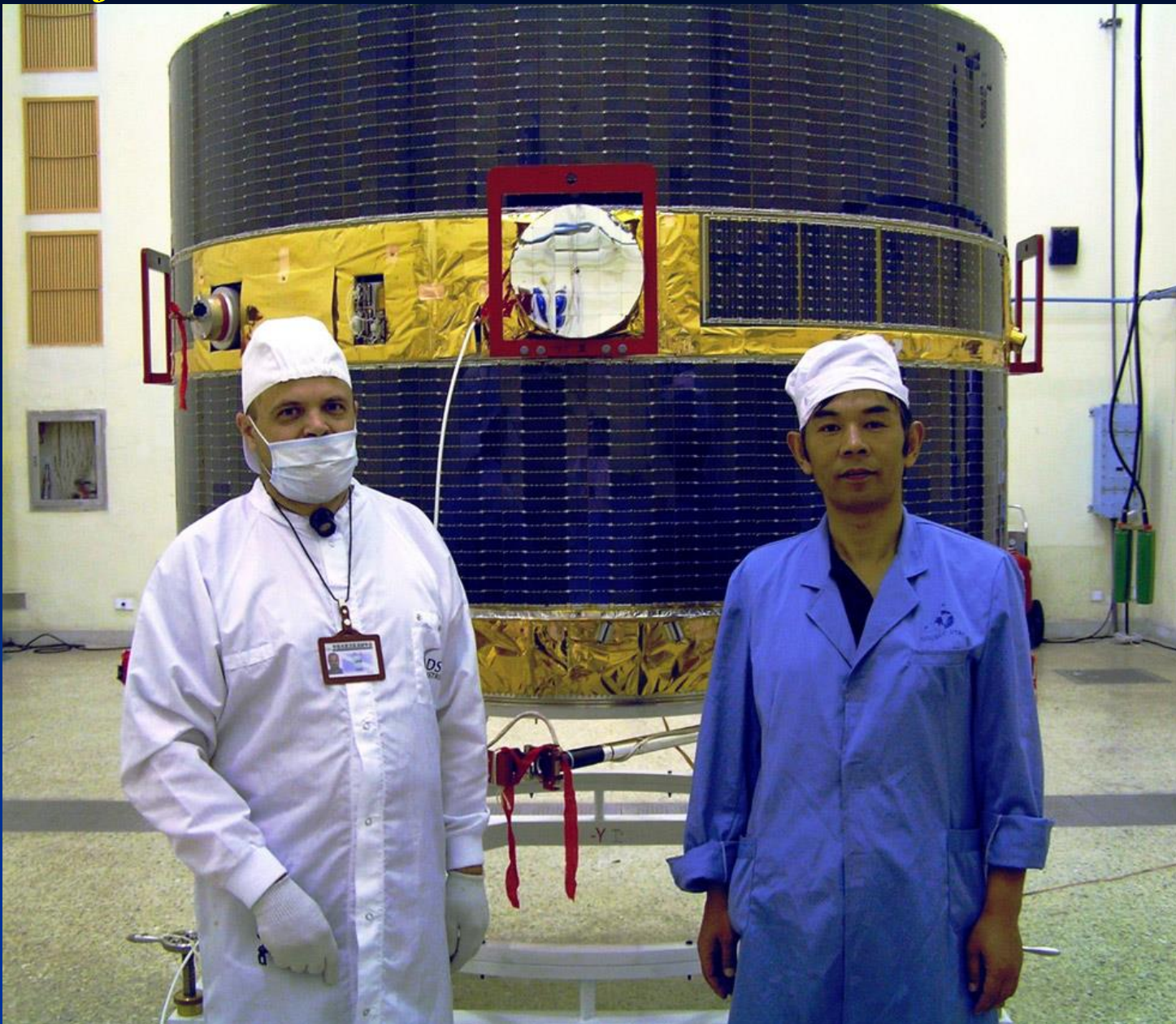
201-02
TCKII-2
2002







Oficiálne odovzdanie vedeckého nákladu

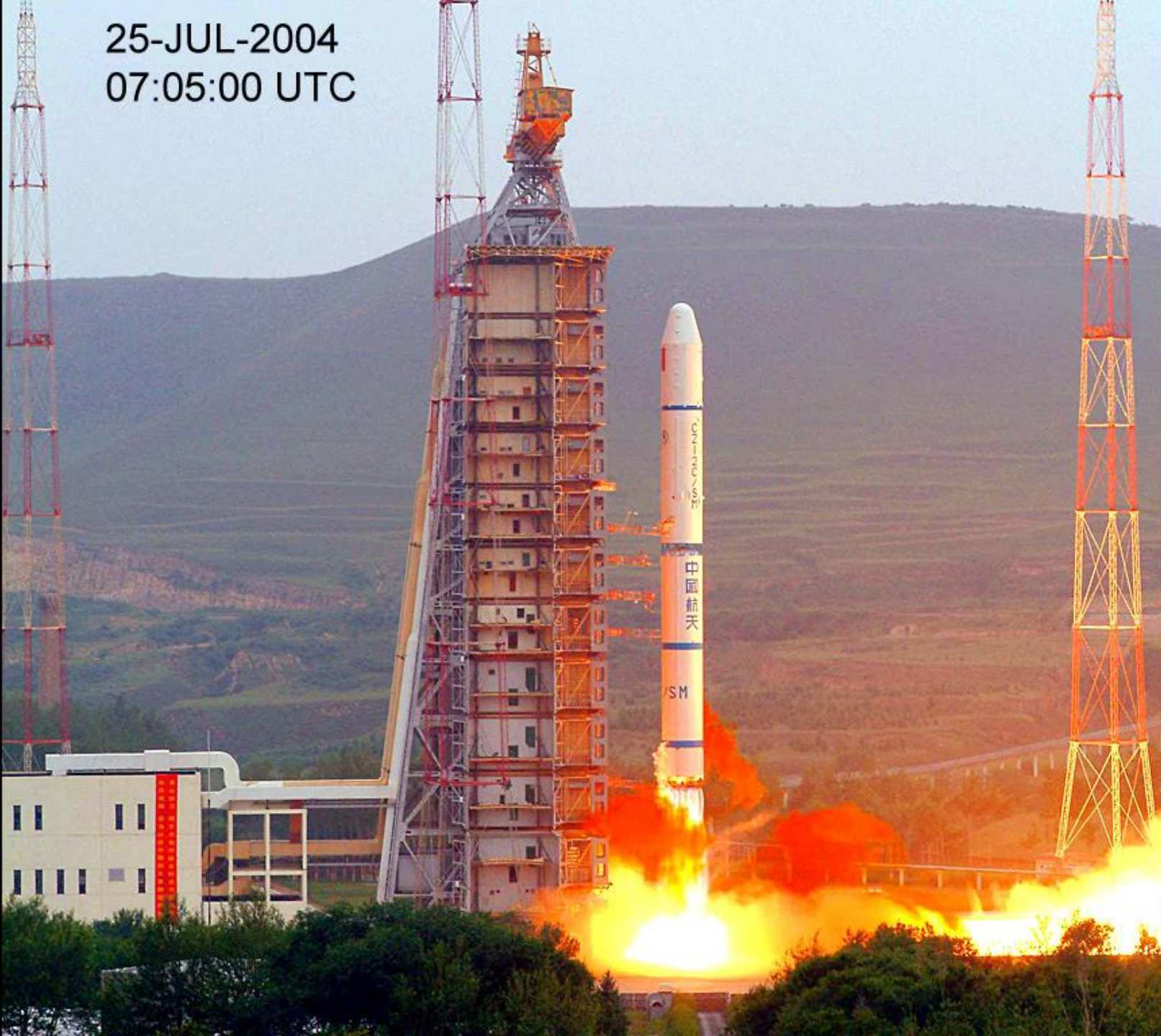






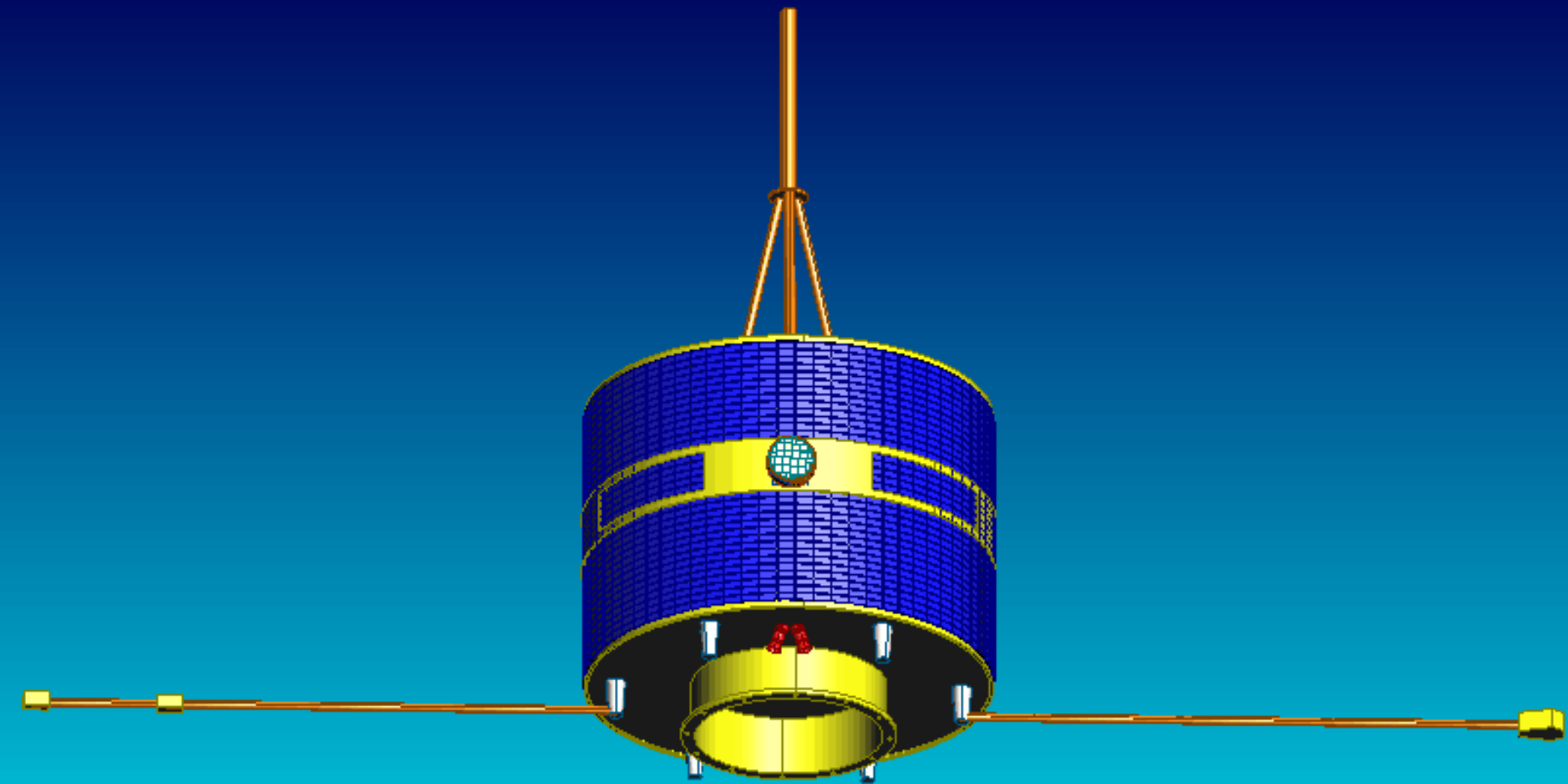


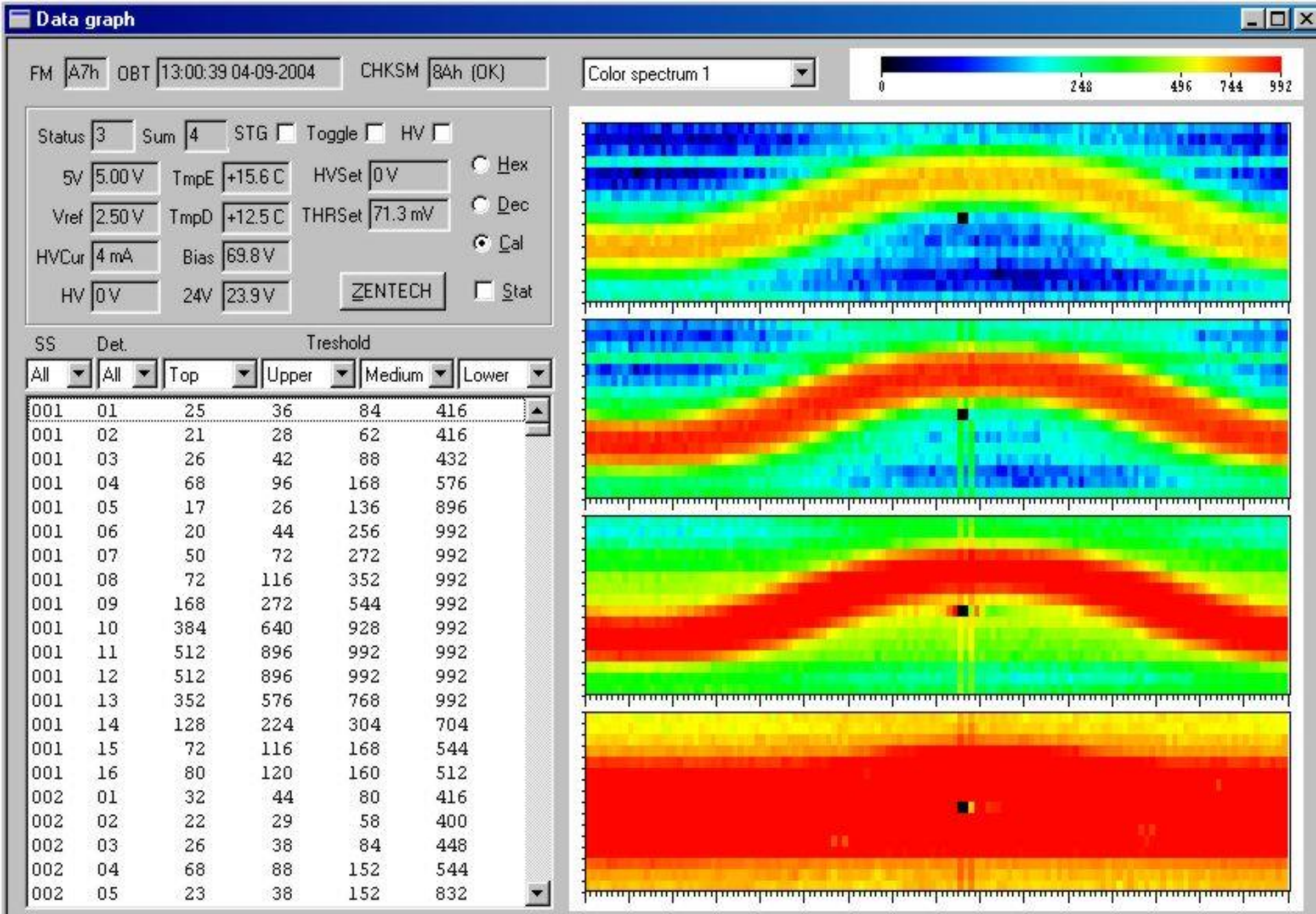
25-JUL-2004
07:05:00 UTC







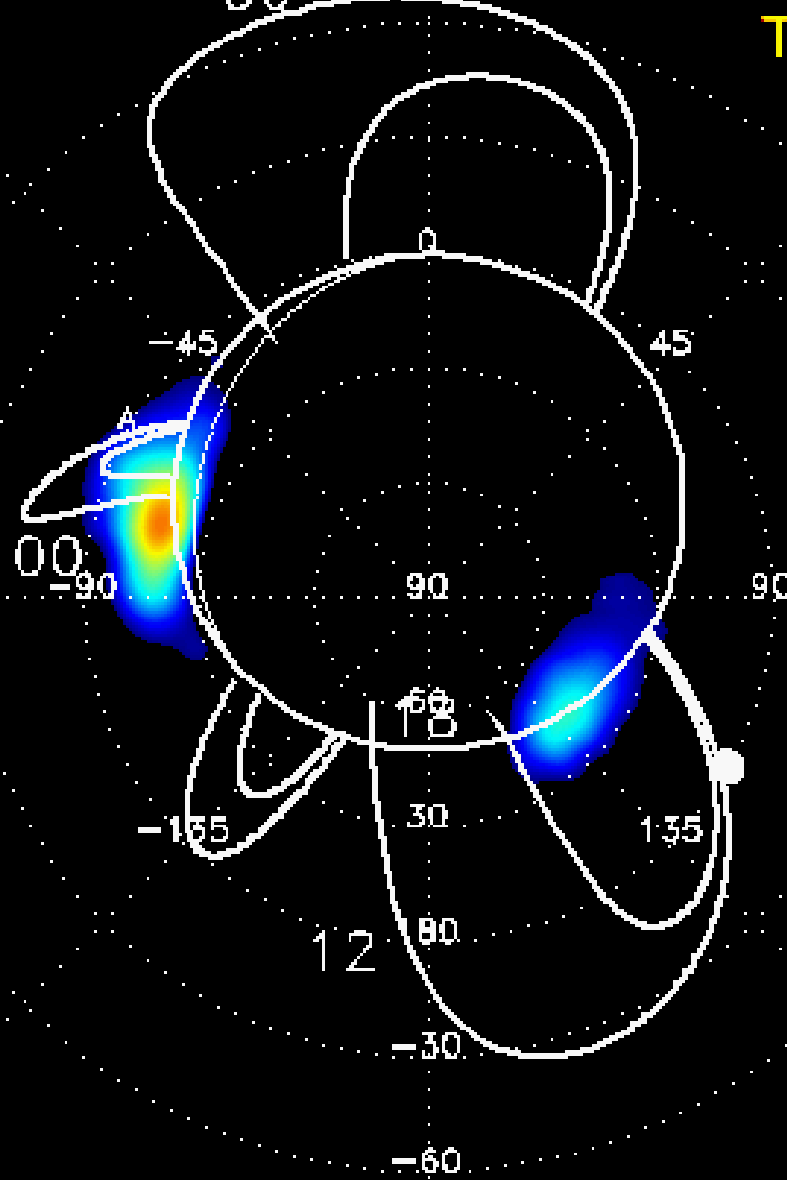




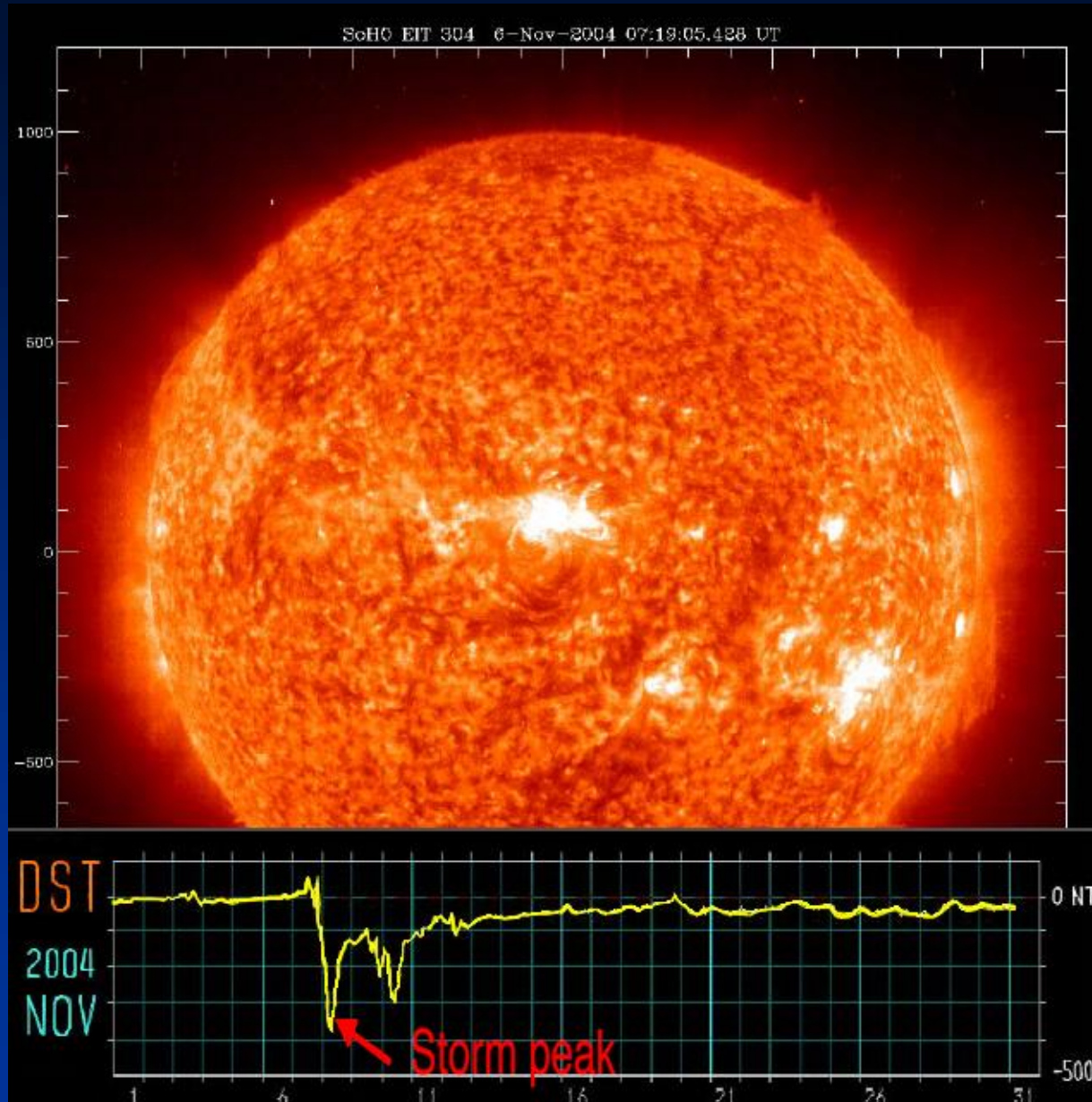
NUADU ENA IMAGE AT SOUTH POLE (50keV) 14-SEP-2004

06

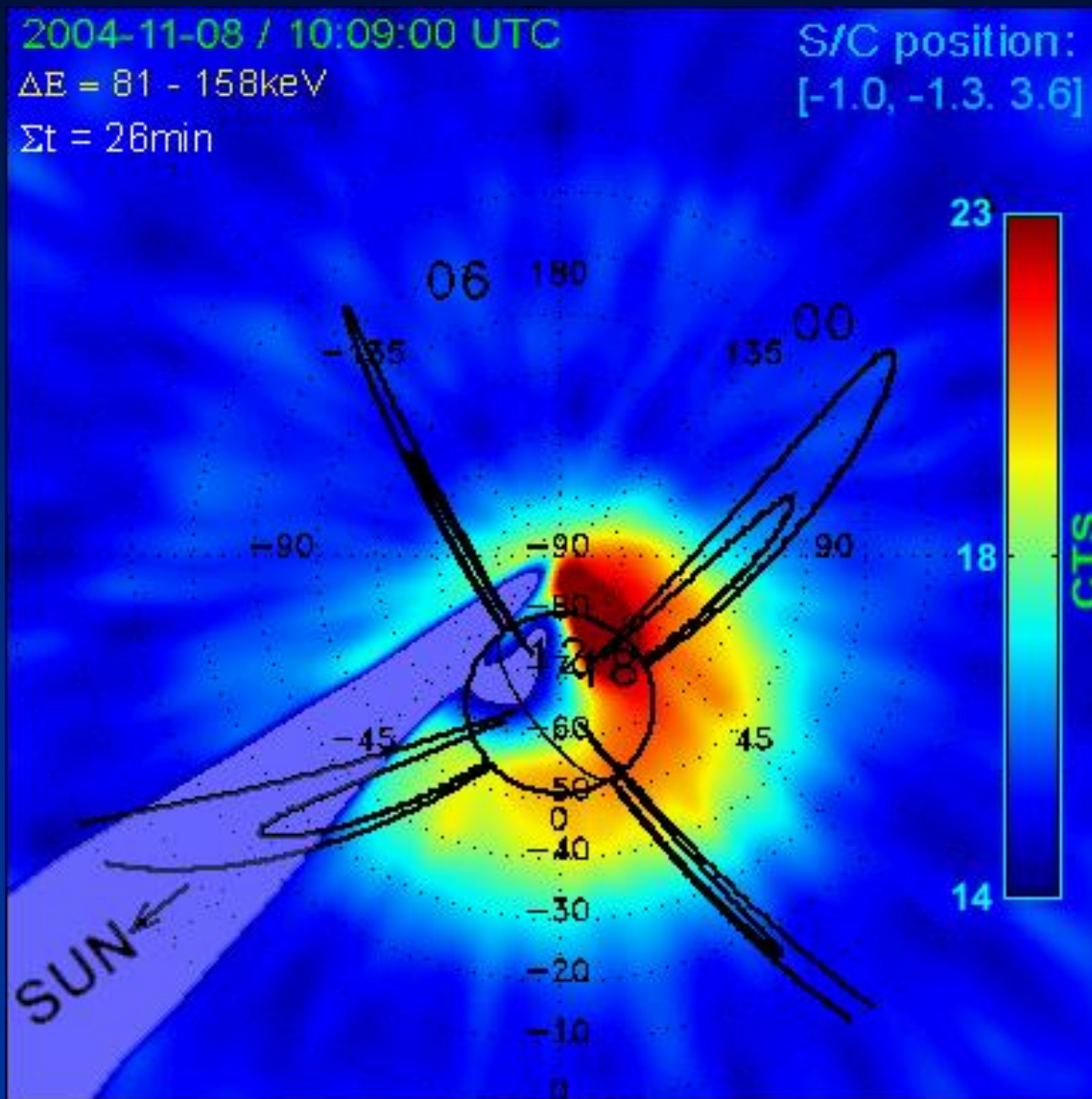
Time: 12:09:00 UTC



Magnetická búrka 8.11.2004 (Dst -373nT)



Magnetická búrka 8.11.2004 a ENA image prstencového prúdu zaznamenaný NUADU



NUADU – séria hodnotných vedeckých výsledkov

JGR Space Physics

Magnetospheric Physics |  Free Access |

Moderate geomagnetic storm (21–22 January 2005) triggered by an outstanding coronal mass ejection viewed via energetic neutral atoms

Susan McKenna-Lawlor , Lu Li, Iannis Dandouras, Pontus C. Brandt, Yihua Zheng, Stas Barabash, Radoslav Bucik, Karel Kudela, Jan Balaz, Igor Strharsky

Annales Geophysicae, 23, 2953–2959, 2005
SRef-ID: 1432-0576/ag/2005-23-2953
© European Geosciences Union 2005



Electron pitch angle variations recorded at the high magnetic latitude boundary layer by the NUADU instrument on the TC-2 spacecraft

L. Lu¹, S. McKenna-Lawlor², S. Barabash³, Z. X. Liu¹, J. Balaz², K. Brinkfeldt³, I. Strharsky², C. Shen¹, J. K. Shi¹, J. B. Cao¹, S. Y. Fu⁴, H. Gunell^{2,3}, K. Kudela⁵, E. C. Roelof⁶, P. C. Brandt⁶, I. Dandouras⁷, T. L. Zhang⁸, C. Carr⁹, and A. Fazakerley¹⁰

SCIENCE CHINA
Earth Sciences

• RESEARCH PAPER •

doi: 10.1007/s11430-015-5121-7

The causal sequence investigation of the ring current ion-flux increasing and the magnetotail ion injection during a major storm

LU Li^{1*}, S MCKENNA-LAWLOR², CAO JinBin³, K KUDELA⁴ & J BALAZ^{2,4}



Available online at www.sciencedirect.com

SCIENCE @ DIRECT®

Nuclear Instruments and Methods in Physics Research A 530 (2004) 311–322

NUCLEAR
INSTRUMENTS
& METHODS
IN PHYSICS
RESEARCH
Section A
www.elsevier.com/locate/nima

The energetic NeUtral Atom Detector Unit (NUADU) for China's Double Star Mission and its calibration

Susan McKenna-Lawlor^{a,*}, Jan Balaz^a, Igor Strharsky^a, Stas Barabash^b, Klas Brinkfeldt^b, Lu Li^c, Chao Shen^c, Jiankui Shi^c, Qinggang Zong^c, Karel Kudela^d, Suiyan Fu^e, Edmond C. Roelof^f, Pontus C. son Brandt^f, Iannis Dandouras^g

Science in China Series E: Technological Sciences

© 2008  SCIENCE IN CHINA PRESS
 Springer

www.scichina.com
tech.scichina.com
www.springerlink.com

Iterative inversion of global magnetospheric information from energy neutral atom (ENA) images recorded by the TC-2/NUADU instrument

LU Li^{1†}, S. MCKENNA-LAWLOR², S. BARABASH³, J. BALAZ^{2,4}, LIU ZhenXing¹, SHEN Chao¹, CAO JinBin¹ & TANG ChaoLing⁵

SCIENCE CHINA
Earth Sciences

• RESEARCH PAPER •

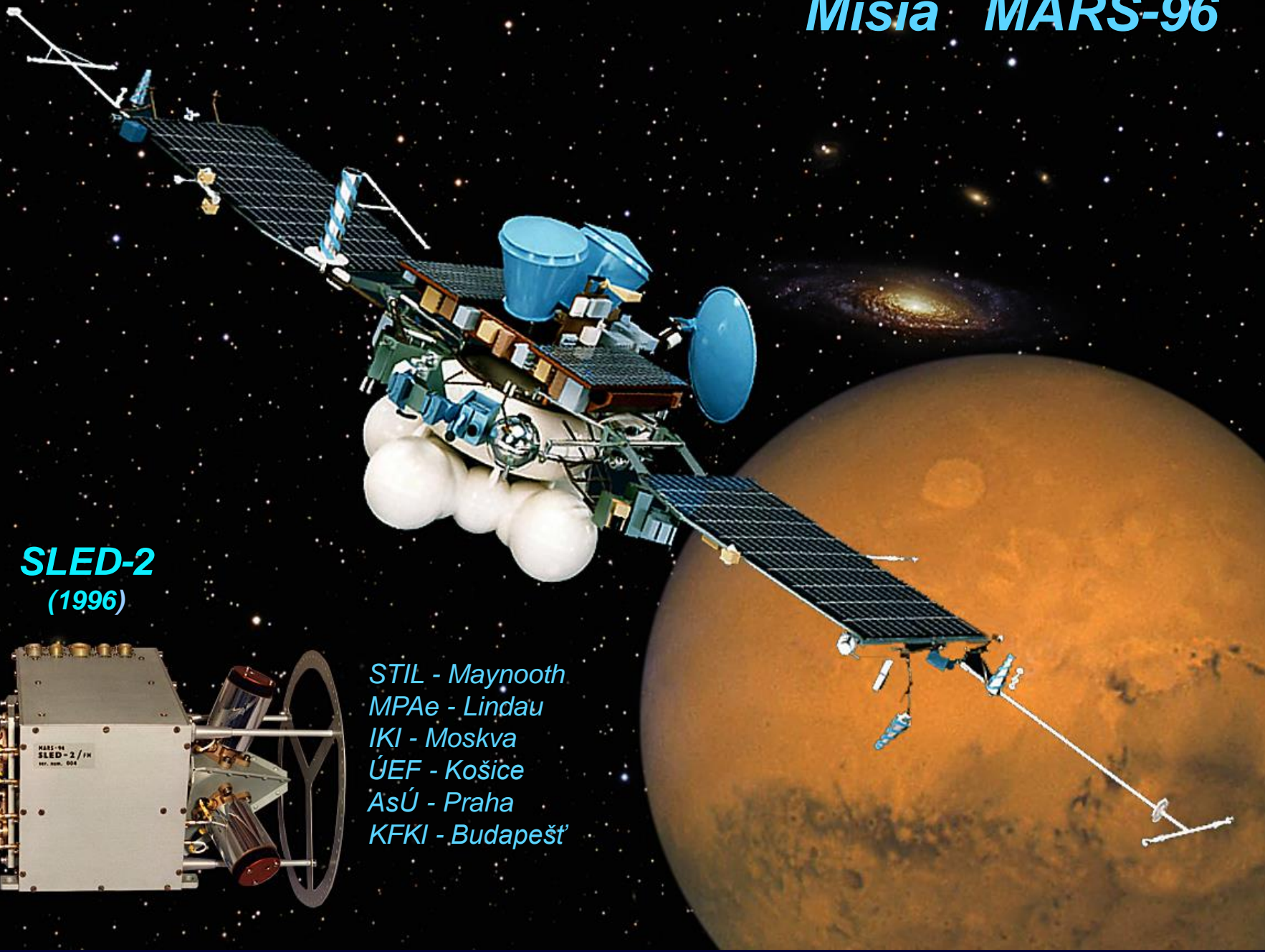
<https://doi.org/10.1007/s11430-018-9307-x>



Close up observation and inversion of low-altitude ENA emissions during a substorm event

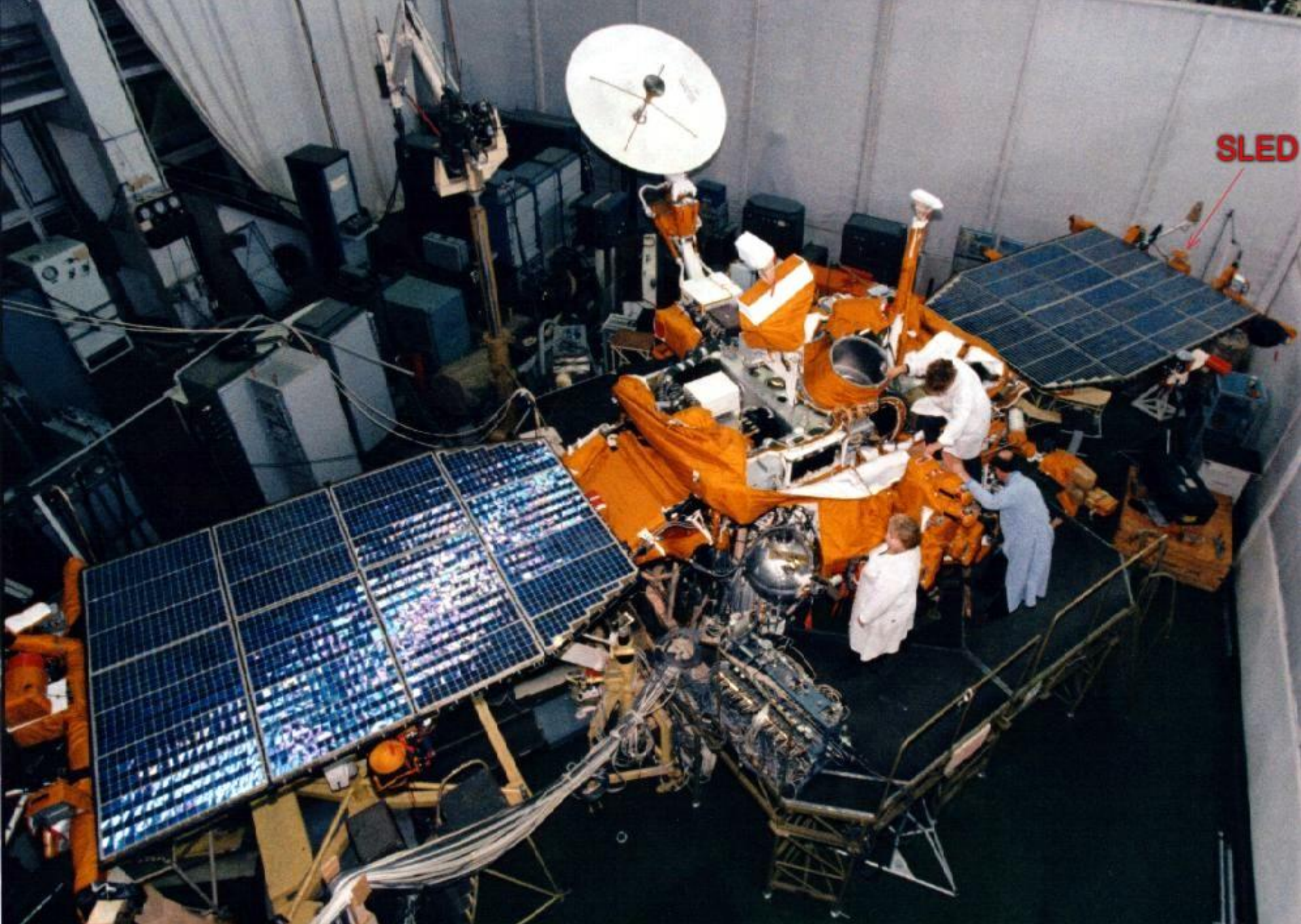
Li LU^{1*}, Susan MCKENNA-LAWLOR² & Jan BALAZ^{2,3}

... a ešte d'alej ...



SLED-2
(1996)

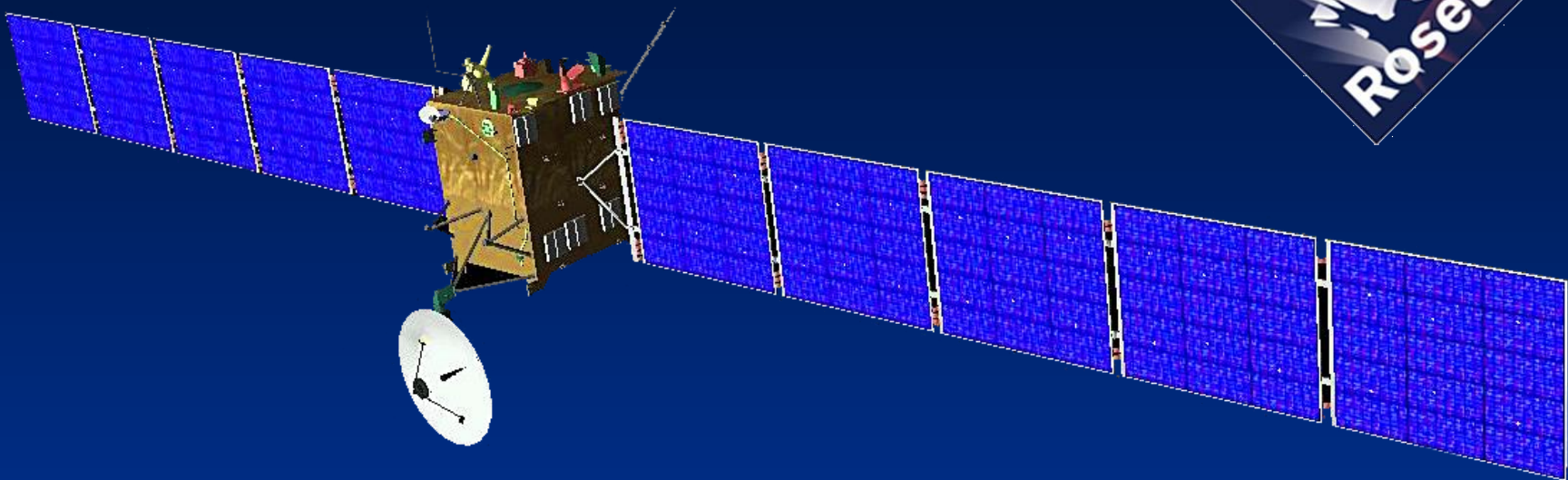
STIL - Maynooth
MPAe - Lindau
IKI - Moskva
ÚEF - Košice
AsÚ - Praha
KFKI - Budapešť



MARS-96 štart 16. 11. 1996



Misia ESA-ROSETTA na kométu



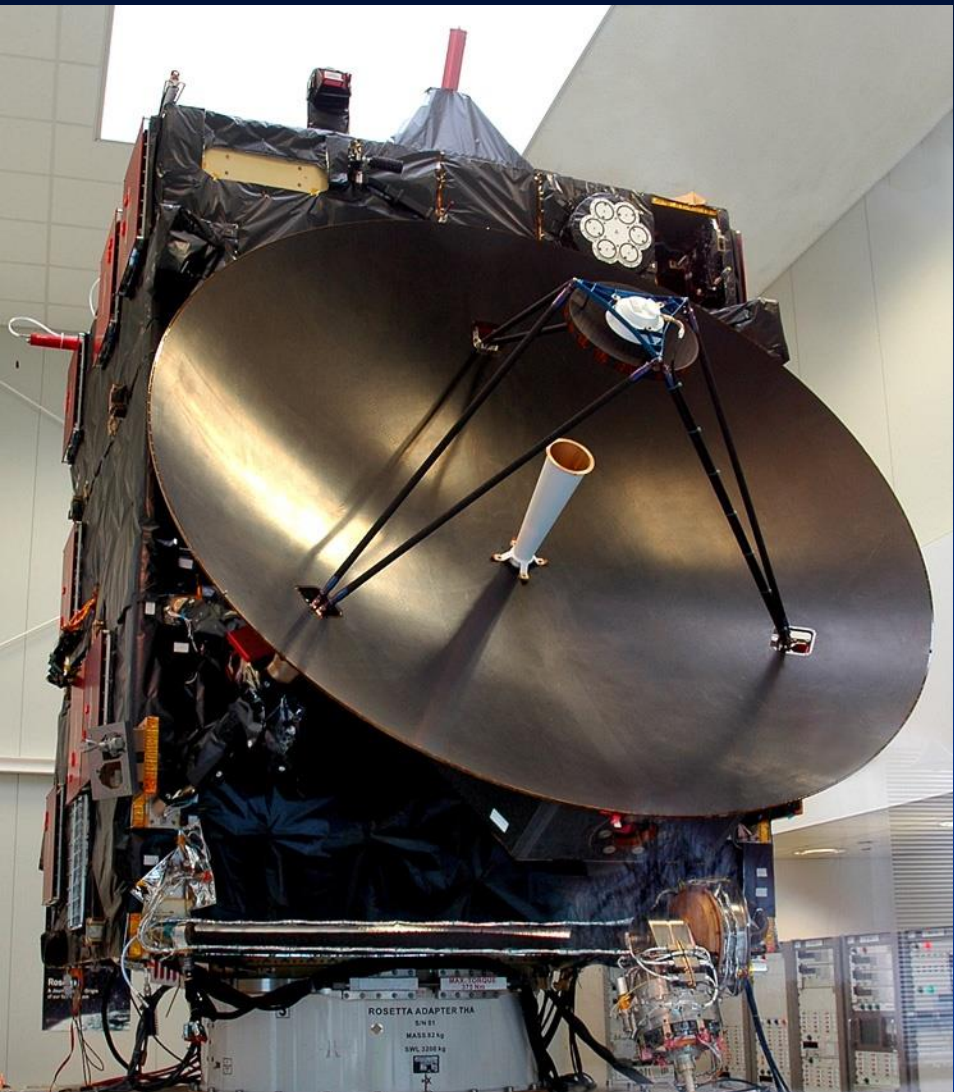
- Misia ESA na kométu 67P/Čurjumov-Gerasimenko
- Prvá misia v histórii ľudstva, ktorá pristála na kométe



Na realizácii elektronického systému **ESS** sondy sa podielal aj **ÚEF-SAV**

ESS procesor zabezpečoval komunikáciu medzi pristávacím modulom Philae a hlavnou (orbitálnou) sondou.

Základné technické údaje sondy Rosetta



Rozmery:

hlavná štruktúra 2.8 x 2.1 x 2.0 m

rozpätie sol. panelov 32 m

plocha sol.panelov 64 m²

výkon sol. panelov 8700 W - 1AU

850 W -

395 W -



Hmotnosť pri štarte:

celková: 2900 kg

palivo 1720 kg

vedecký náklad 165 kg

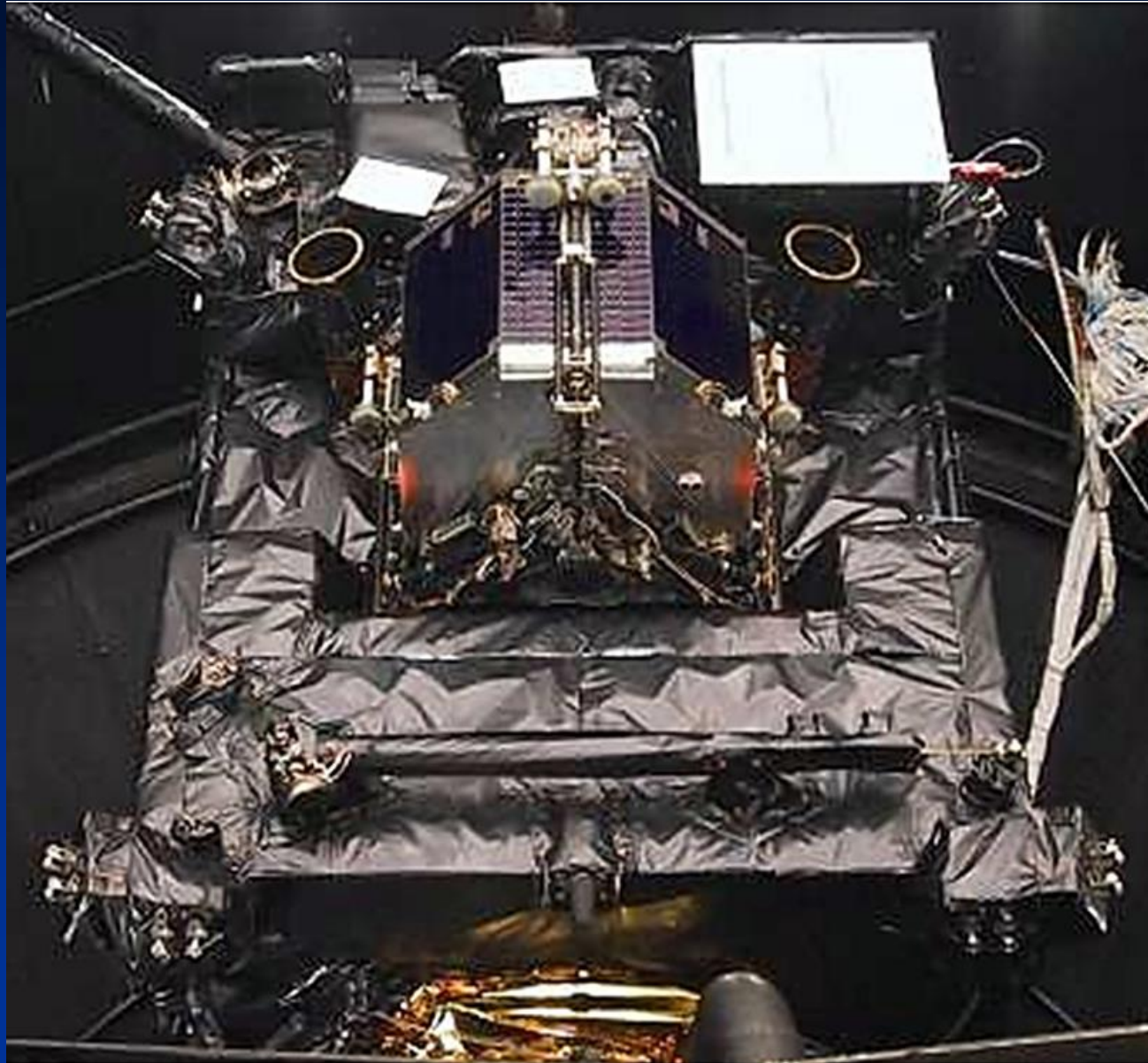
Lander Philae 100 kg

Propulzný systém: 24 thrusterov 10N

palivo MMH + N₂O₄

Operačná doba: 12 rokov (2004-2016)

ROSETTA a Philae v laboratóriách ESA-ESTEC

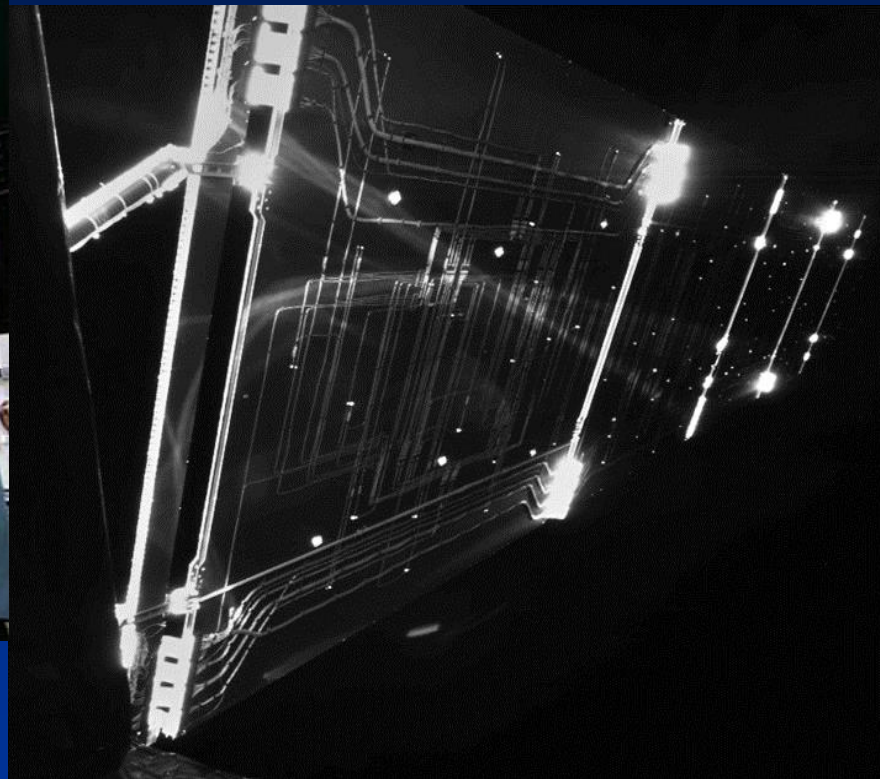


Sonda ROSETTA pozostáva z dvoch častí:

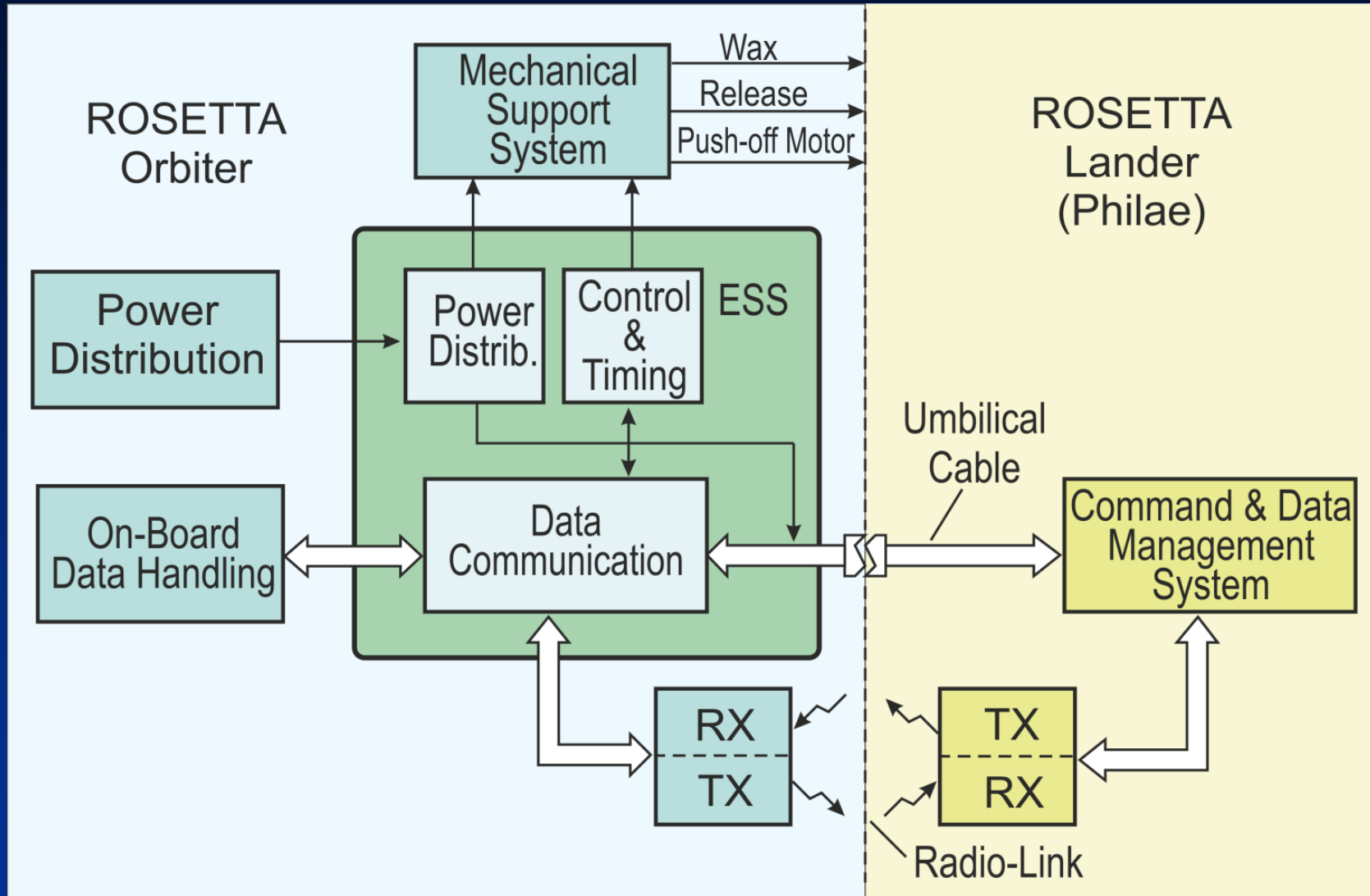
Orbiter – zdržiaval sa 2 roky na rôznych orbitách okolo kometárneho jadra,

Lander – pristál priamo na povrchu jadra.

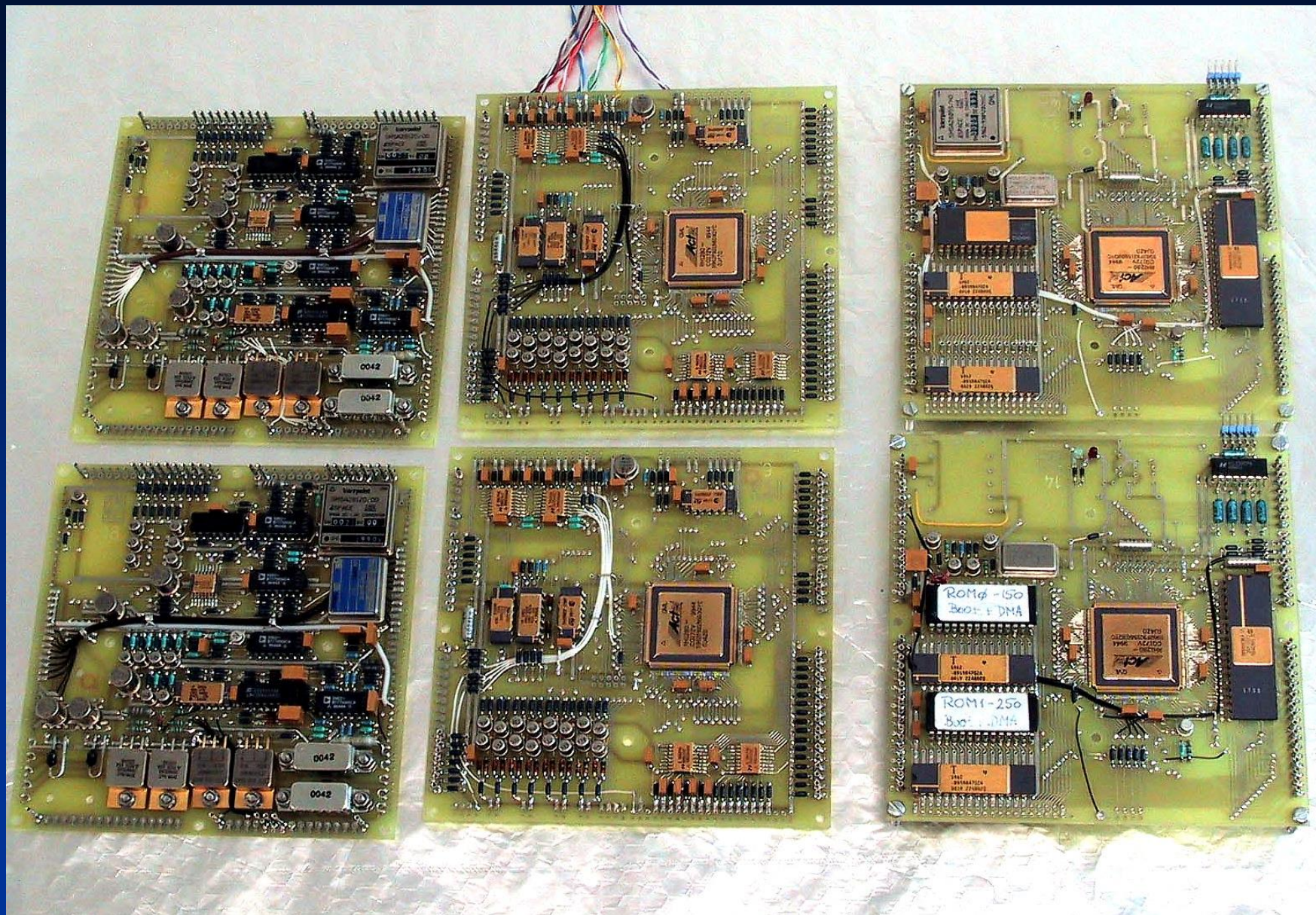
Solárne panely Rosetty (rozpäťie 32m, plocha 64m²)



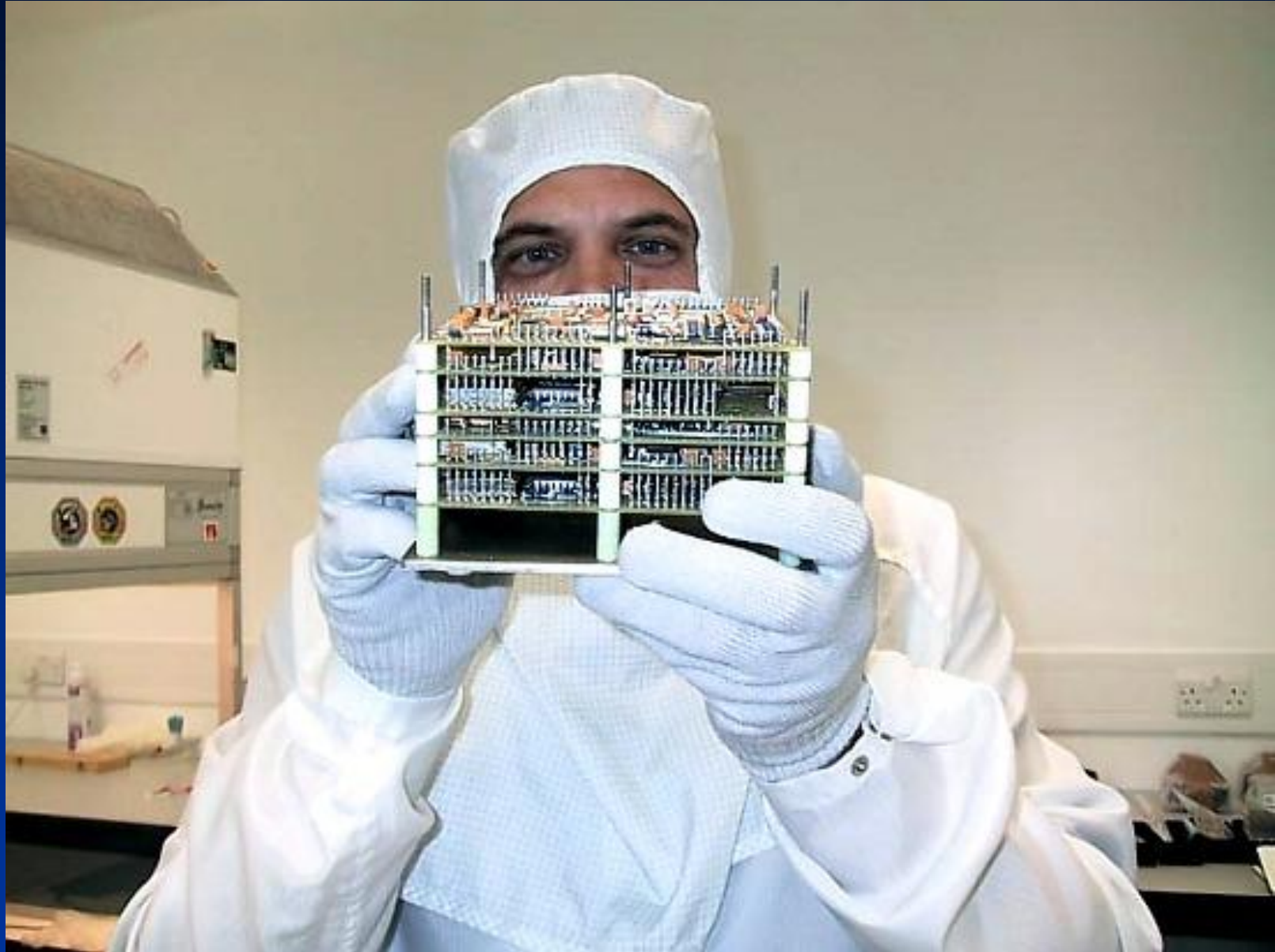
ESS-processor (Interface Orbiter – Lander)



Z realizácie servisného systému ESS



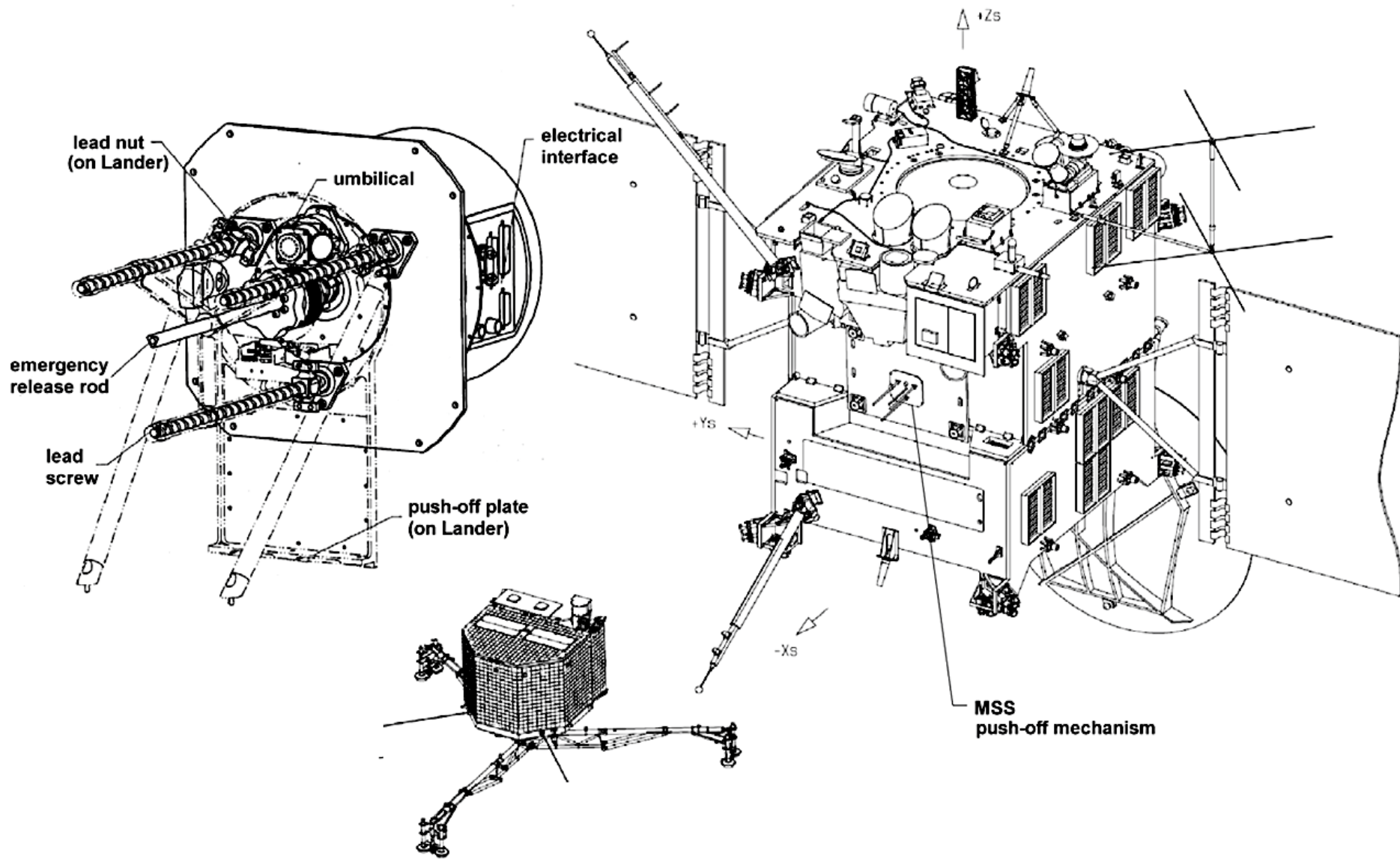
Z realizácie servisného systému ESS



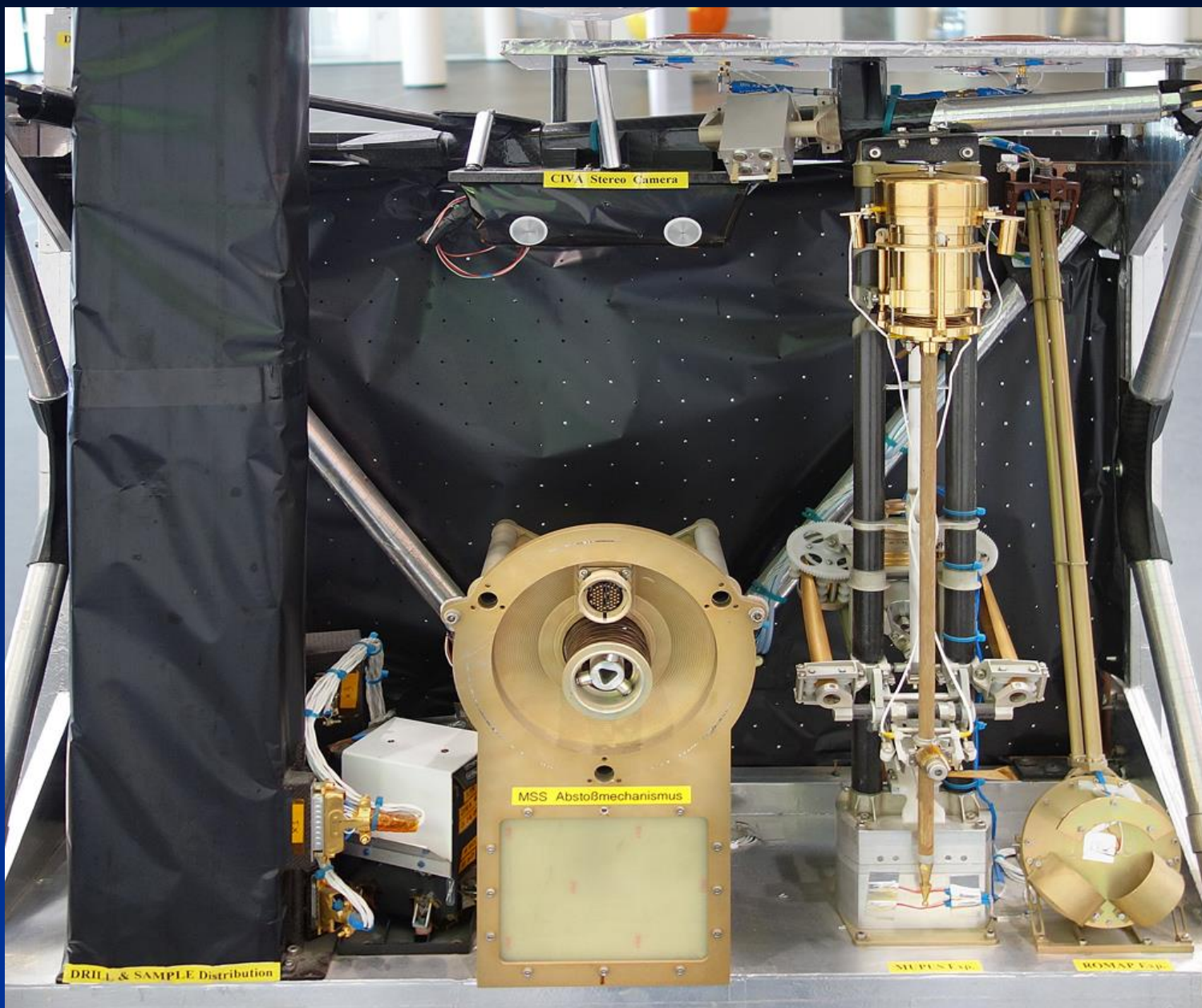
Úplný ESS procesor



Lander - oddel'ovací mechanizmus (MSS)



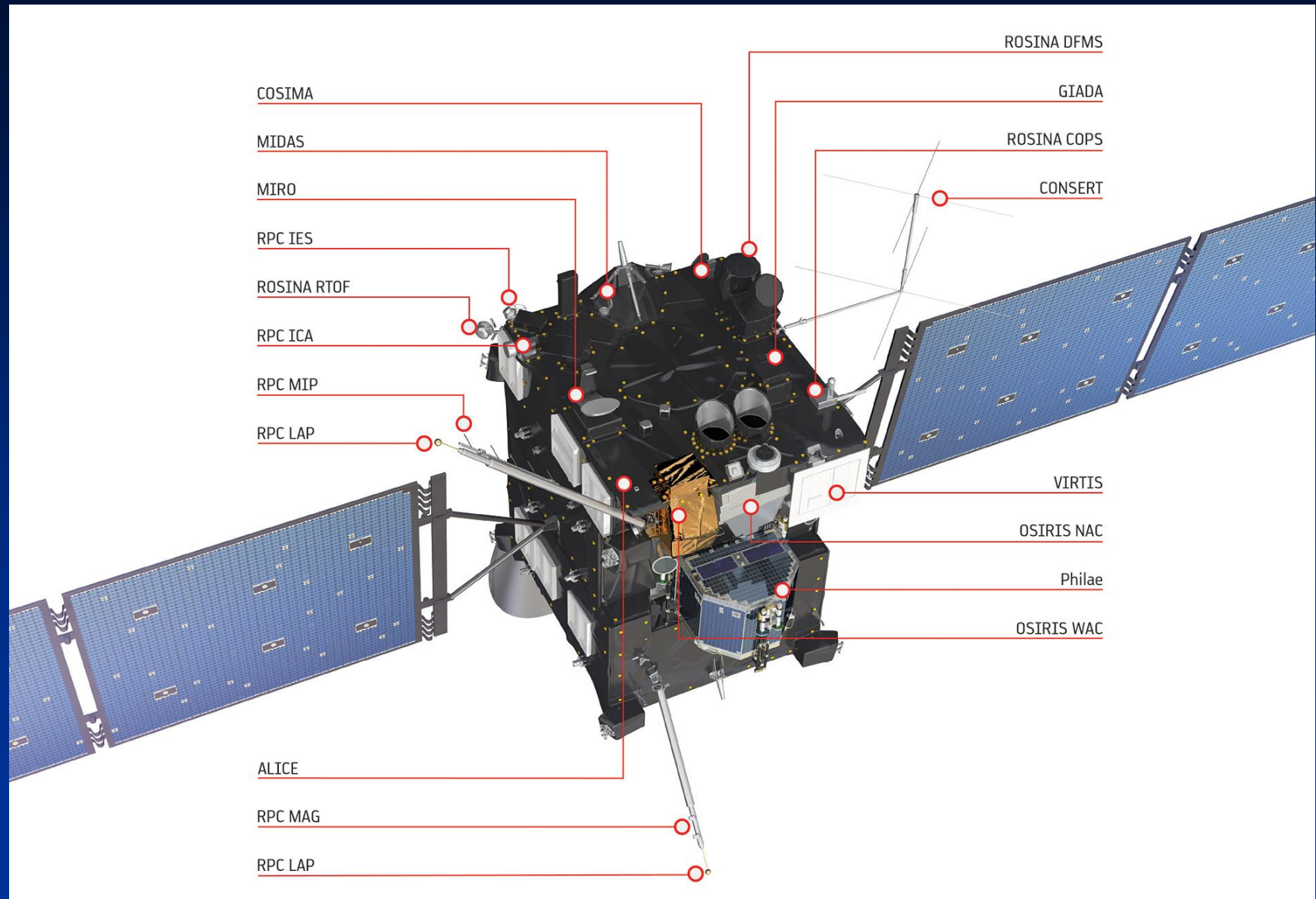
Lander - oddel'ovací mechanizmus



Rosetta-Orbiter – Vedecký náklad (payload)

1. **ALICE** Ultraviolet Imaging Spectrometer
2. **CONSERT** Comet Nucleus Sounding Experim. by Radio Transmission
3. **COSIMA** Cometary Secondary Ion Mass Analyser
4. **GIADA** Grain Impact Analyser and Dust Accumulator
5. **MIDAS** Micro-Imaging Dust Analysis System
6. **MIRO** Microwave Instrument for the Rosetta Orbiter
7. **OSIRIS** Rosetta Orbiter Imaging System
8. **ROSINA** Rosetta Orbiter Spectrometer for Ion and Neutral Analysis
9. **RPC** Rosetta Plasma Consortium
10. **RSI** Radio Science Investigation
11. **VIRTIS** Visible and Infrared Mapping Spectrometer

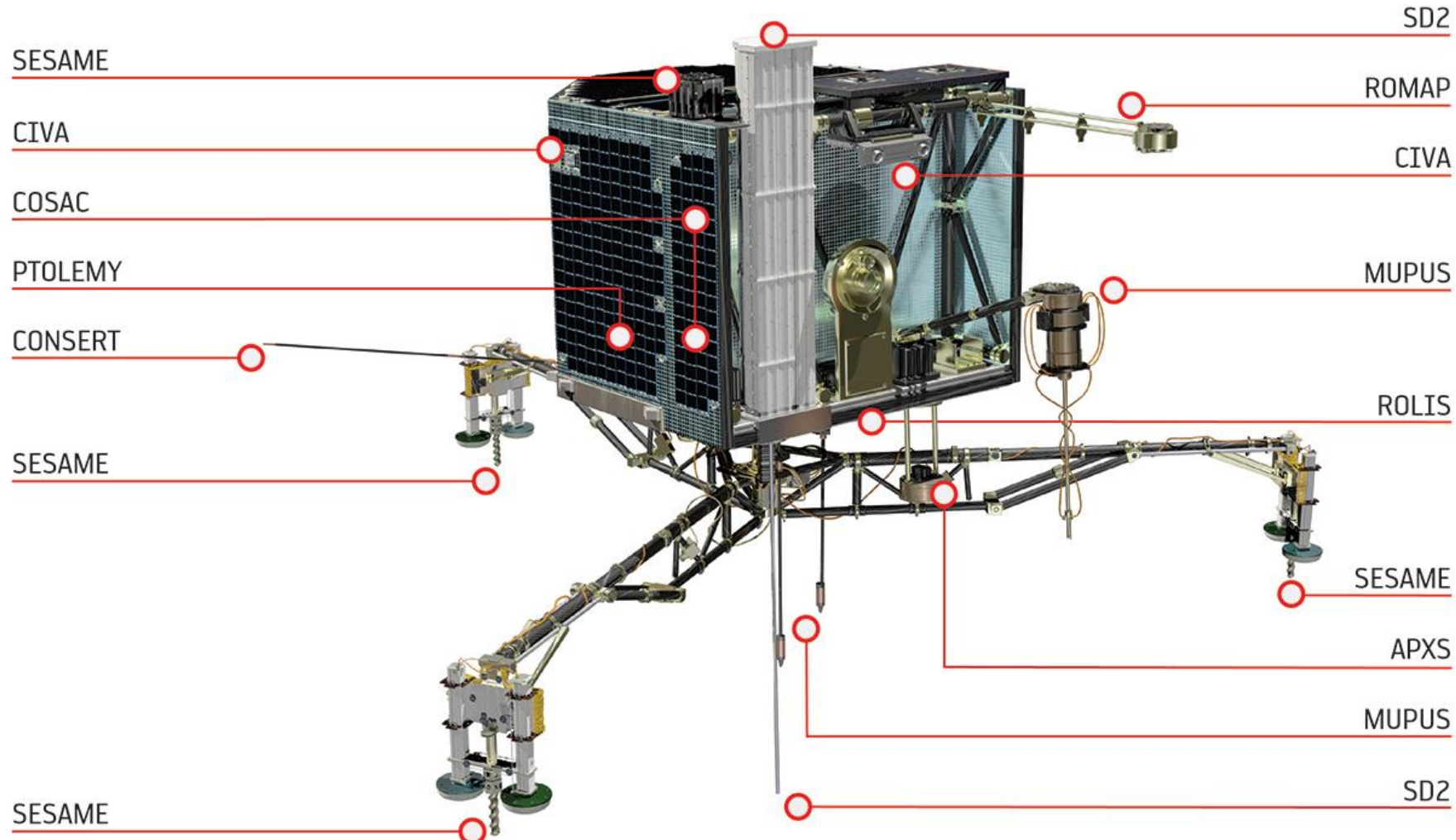
Orbiter – rozmiestnenie vedeckého nákladu



Lander Philae - Vedecký náklad

1. **APXS** Alpha-X-ray spektrometer
2. **ČIVA** Panoramicke a mikroskopické stereo-kamery
3. **CONSERT** Rádiová tomografia jadra (s CONSERT – orbiter)
4. **COSAC** Analyzátor plynov - prvková a molekulárna analýza (chiral.)
5. **PTOLEMY** Analyzátor plynov - izotopová analýza
6. **MUPUS** Meranie pod povrchových vlastností (penetrátor)
7. **ROLIS** „Down looking camera“ – detailné snímkovanie povrchu
8. **ROMAP** Magnetometer a plazmový monitor
9. **SD2** Vŕtací systém a transport vzoriek na analýzu
10. **SESAME** Seizmický, elektrický, akustický a prachový monitoring

Lander - rozmiestnenie vedeckého nákladu



Štart sondy ROSETTA

02-MAR-2004

(kozmodróm ESA Kourou,
Francúzska Guyana)

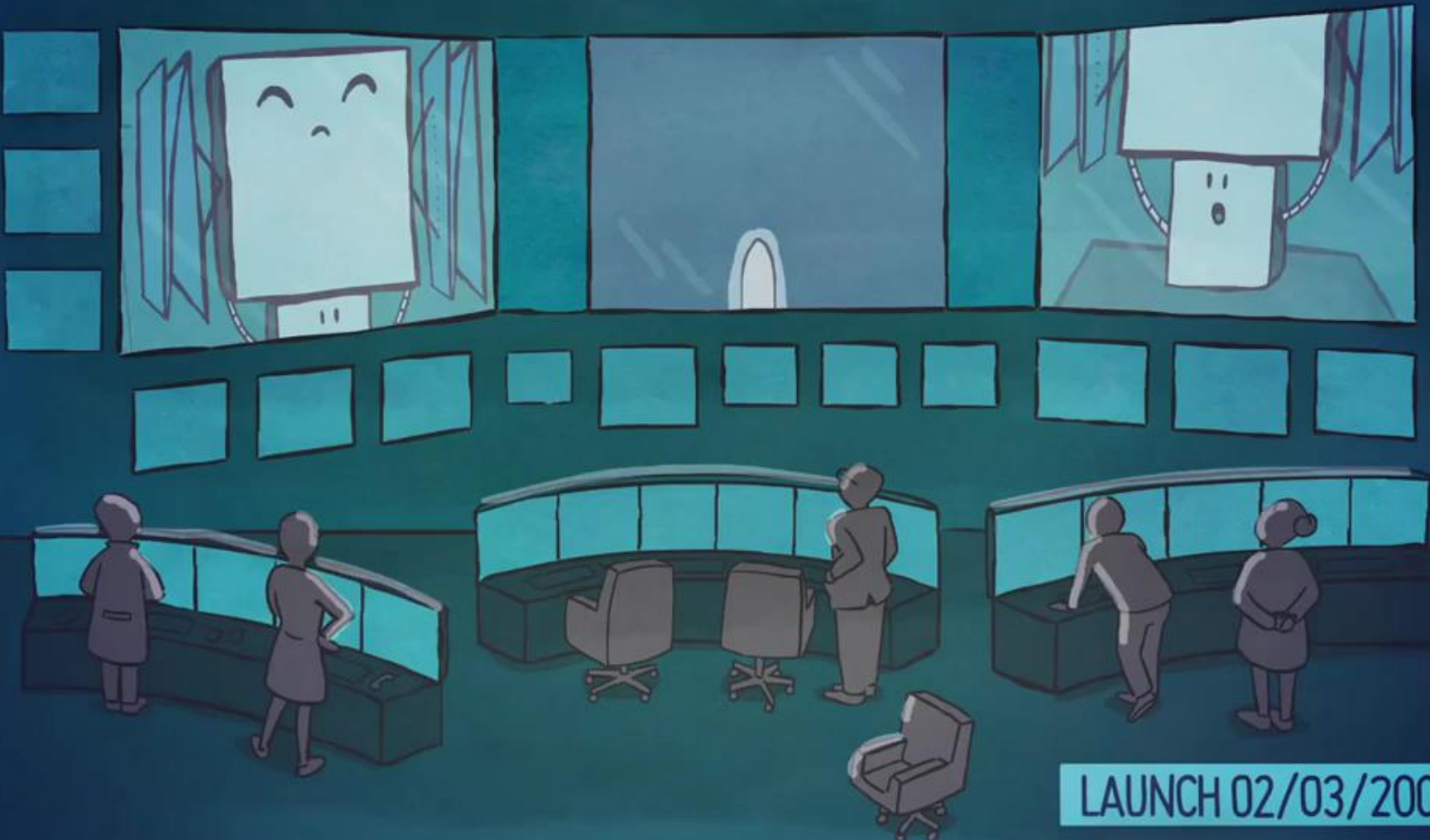
Ariane 5G+



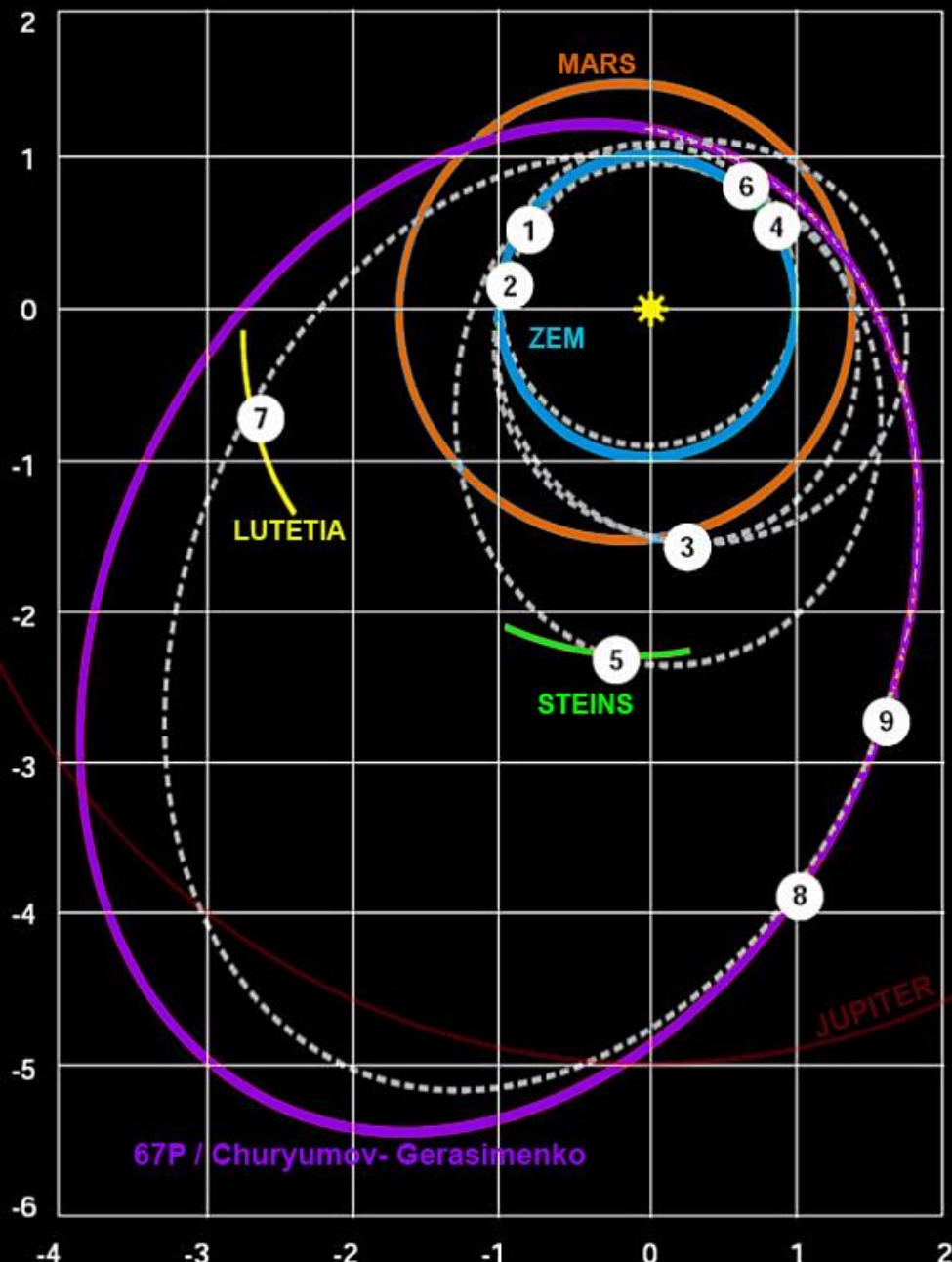
The amazing adventures of Rosetta and Philae



(Úžasné dobrodružstvá Rosetty a Philae)

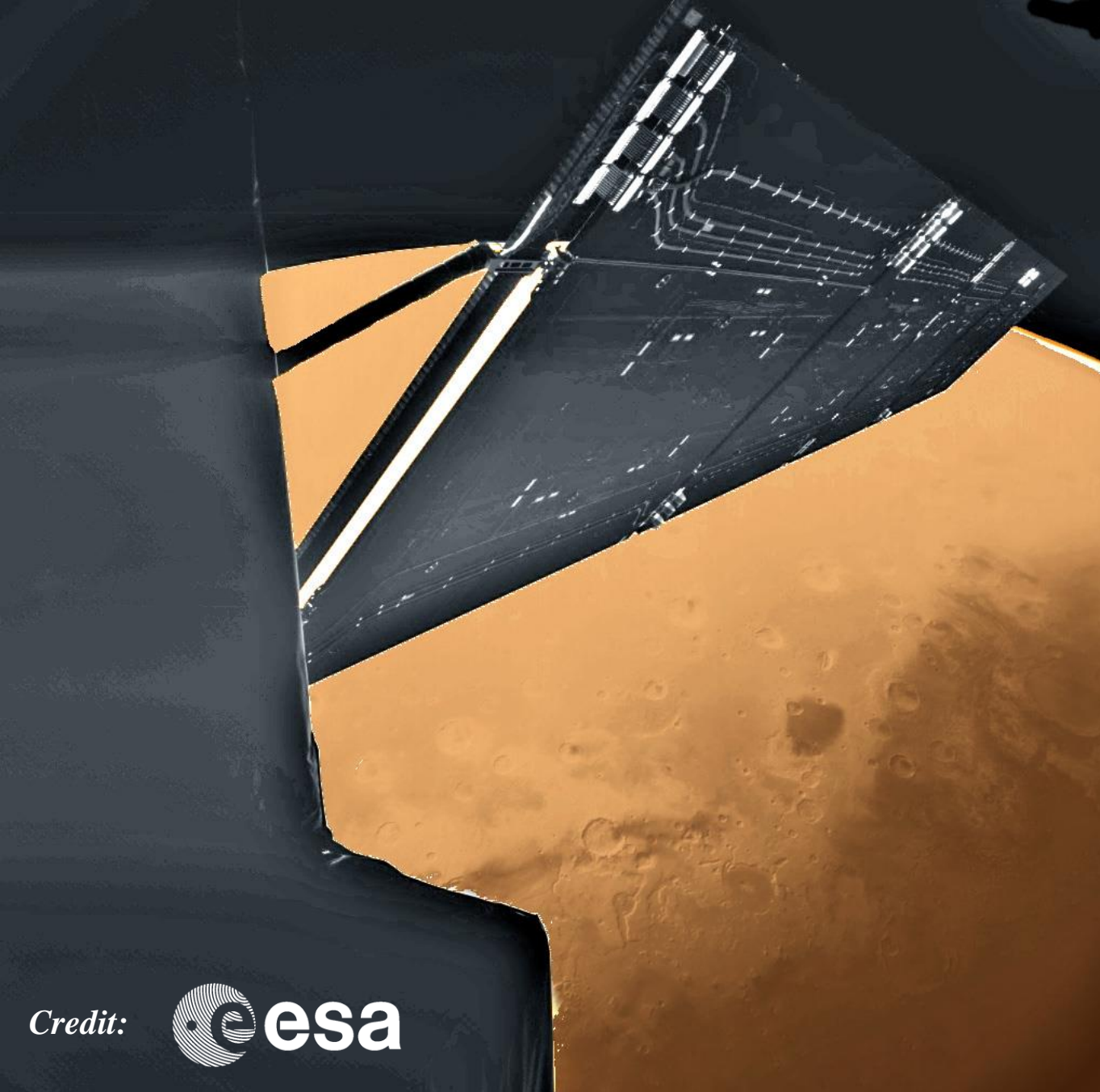


ROSETTA TRAJECTORY -----



Letový plán sondy ROSETTA

1. 2004-03-02 Štart (Kourou)
2. 2005-03-04 Zem (prelet 1950km)
3. 2007-02-25 Mars (prelet 250km)
4. 2007-11-13 Zem (prelet 5300km)
5. 2008-09-05 Steins (prelet 802km)
6. 2009-11-13 Zem (prelet 2481km)
7. 2010-07-10 Lutetia (prelet 3162km)
8. (2011-06-08 - 2014-01-20) – hibernácia
9. 2014-08-06 67P (rendezvous~100km)
10. 2014-11-12 67P (pristátie Philae)
11. 2015-08-13 Perihélium (1.2432AU)
12. 2016-09-30 Koniec misie (Grand Finale)



*Rosetta nad
planétou Mars*

25. 02. 2007

$h = 250.6 \text{ km}$

$316 \text{ mil km od Zeme}$

*“Stávka o miliardu”
(One-Billion Gamble) ”*

*foto:
CIVA-P*

Credit:



SPACE::LAB

Košice, 04. 04. 2019

strana 95

Druhý prelet nad planétou Zem

(13. 11. 2007, 5300km , Catalina Sky Survey: 2007 VN₈₄ !!!)



Asteroid 2867 Steins (05. 09. 2008, 802km, 8,6 km-s)



Rosetta Steins flyby, 05 Sep 2008

„Diamantový tvar“,

Rozmery **6.67 × 5.81 × 4.47 km³**

Pokrytý plytkými krátermi



Posledný prelet nad planétou Zem (13.11.2009, 2481 km)



© AFP/Getty Images

Asteroid 21 Lutetia

(10. 07. 2010, 3162 km,
15km-s)

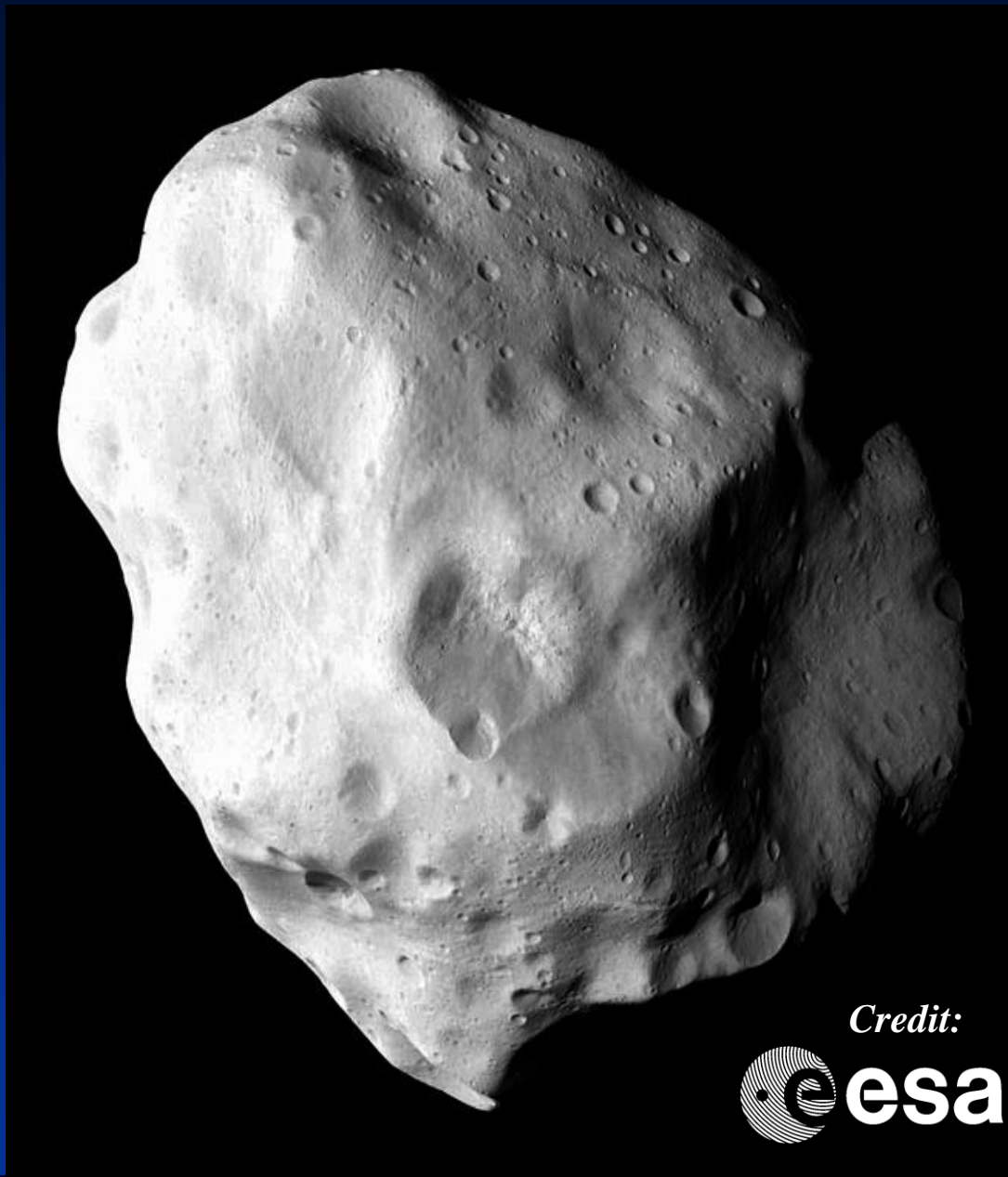
OSIRIS imaging

(1px = 60m)

Hmotnosť 1.7×10^{18} kg,

Hustota ~ 3.4 g·cm⁻³

Vnútro asi bolo kedysi
pretavené.



Credit:

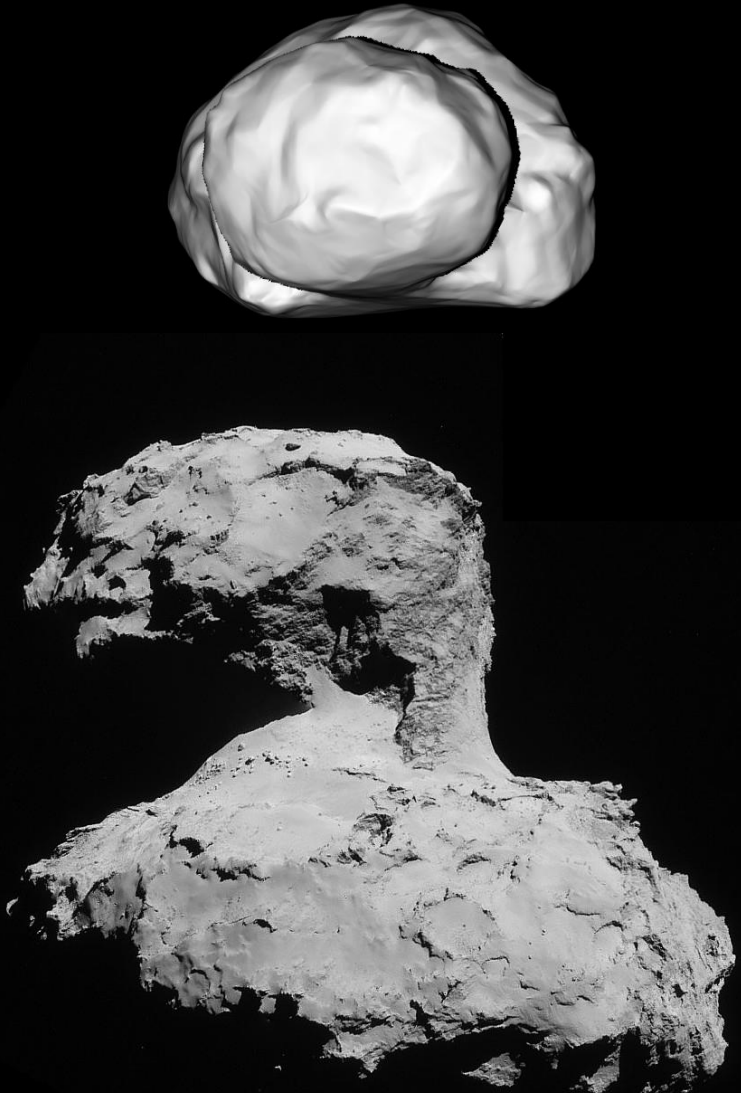
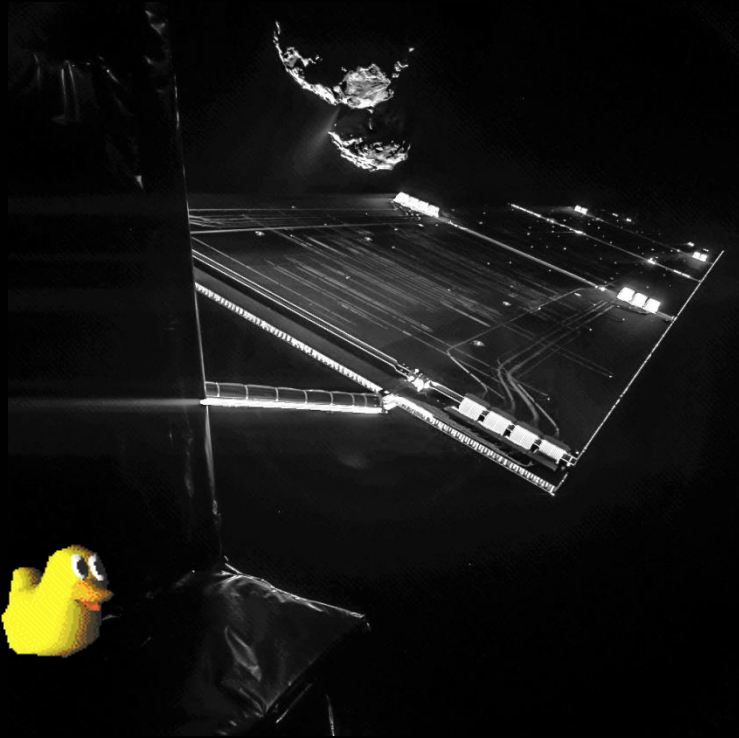


Prebudenie z hibernácie

20. 01. 2014



Rendezvous s 67P (august 2014)

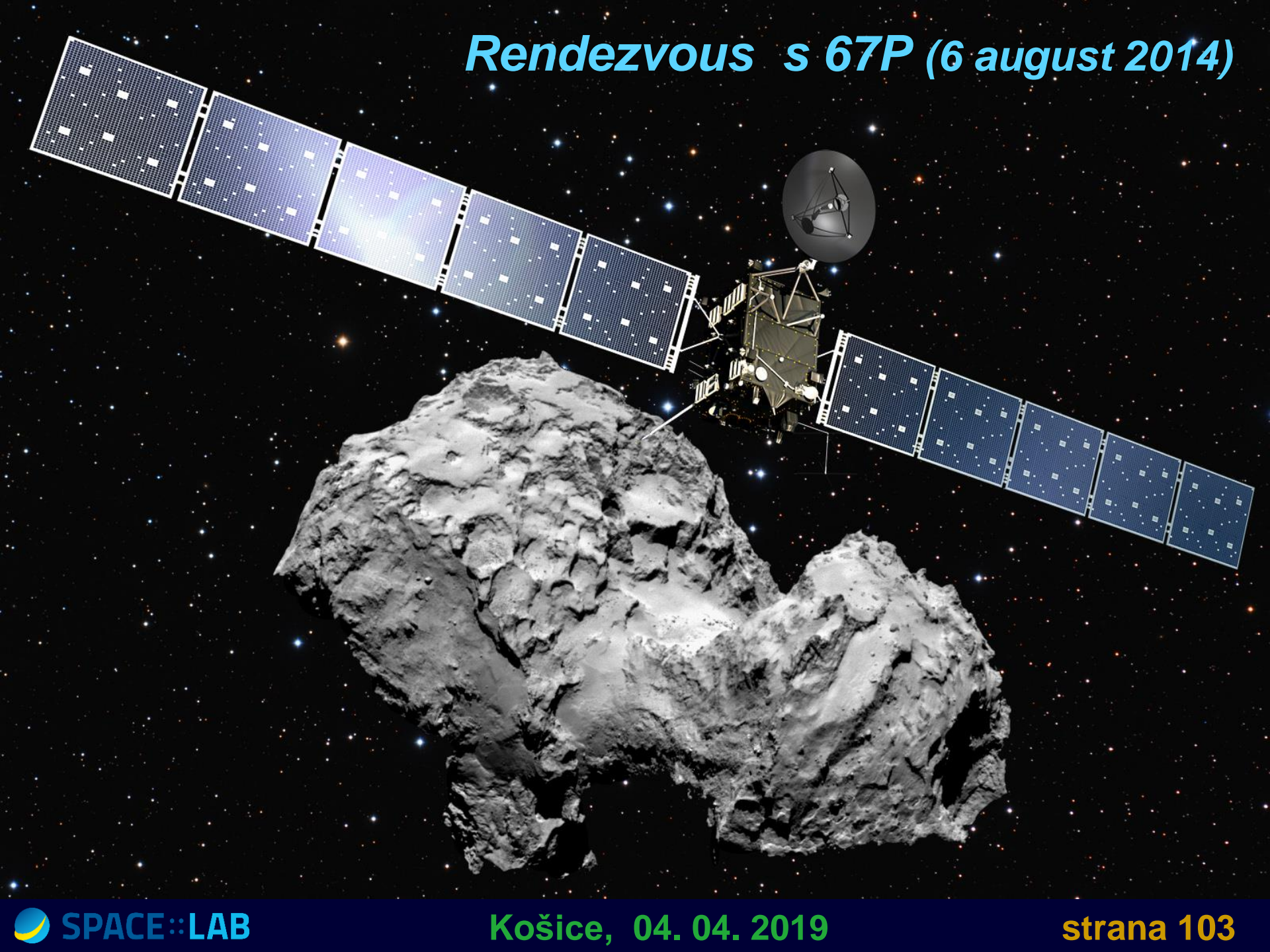


Comet 67P/Churyumov-Gerasimenko from Rosetta - 31 August 2014
ESA/Rosetta/NAVCAM/Ken Kremer/Marco Di Lorenzo

Rendezvous s 67P (august 2014)



Rendezvous s 67P (6 august 2014)



Nové dáta o 67P/C-G z „Blízkeho stretnutia“



Rozmery (malý lalok)	$2,5 \times 2,5 \times 2,0$ km	OSIRIS
Rozmery (veľký lalok)	$4,1 \times 3,2 \times 1,3$ km	OSIRIS
Periódna rotácia	12,4043 hod	OSIRIS
Orientácia osi rotácie	RA: 69° ; DE: 64°	OSIRIS
Hmotnosť'	10^{13} kg (10 miliárd ton)	RSI
Objem	25 km ³	OSIRIS
Hustota	$0,4$ g·cm ⁻³	RSI- OSIRIS
Rýchlosť odparovania	0,3 l-s (6-2014); 1–5 l-s (7-8-2014)	MIRO
Povrchová teplota	205–230 K ($-68\text{--}93^\circ\text{C}$, 7-8-2014)	VIRTIS
Podpovrchová teplota	30–160 K ($-113\text{--}243^\circ\text{C}$, 8-2014)	MIRO
Detekované plyny	CO, CO ₂ , CH ₃ OH (methylalk.), CH ₄ (metán) NH ₃ (amoniak), H ₂ S (sírovodík)	ROSINA
Veľkosť prach. častic	~ 0.1 µm - ~ 0.01 µm	COSIMA-GIADA

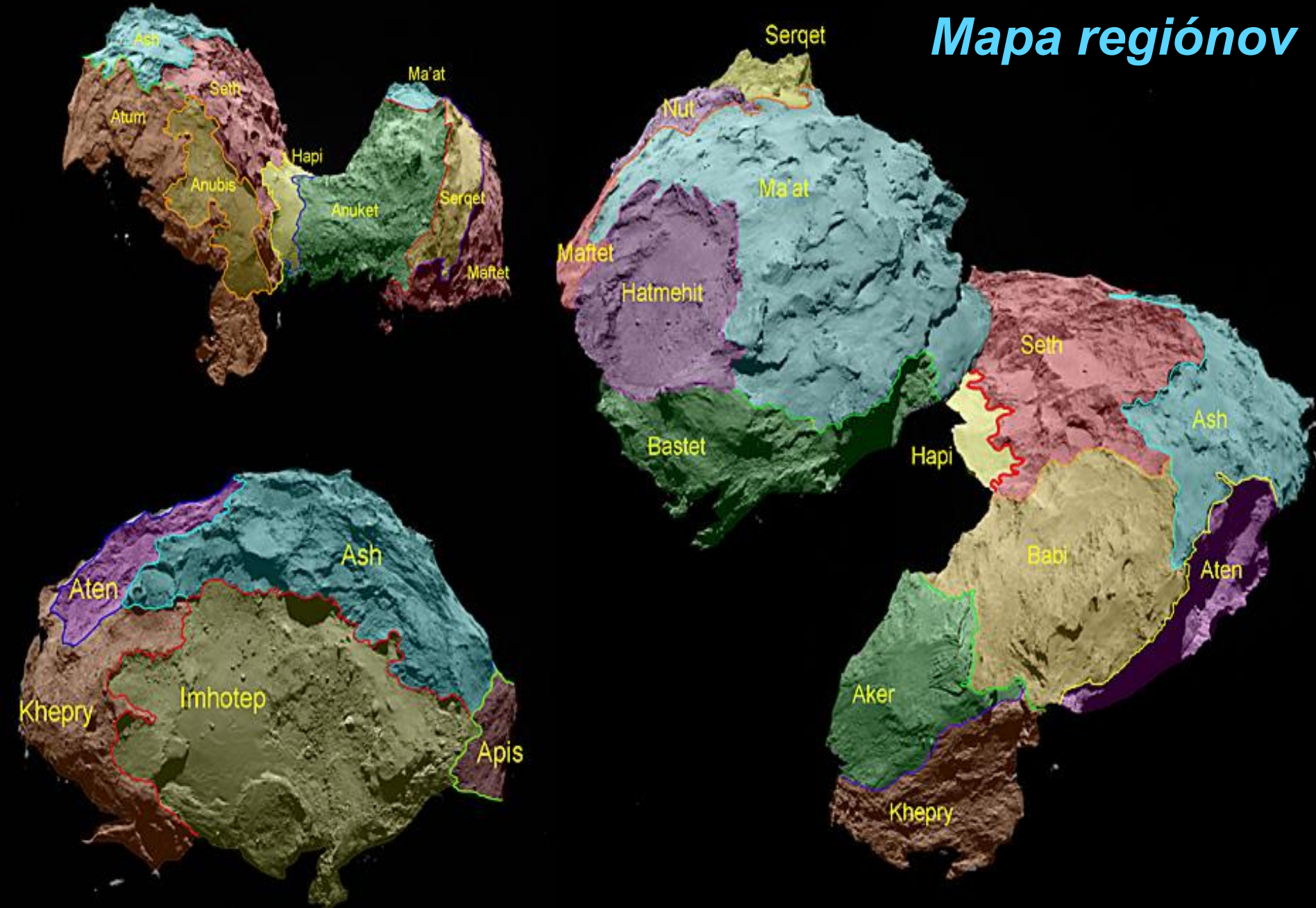
Nové dátá o 67P/C-G z „Blízkeho stretnutia“

ROSINA (Rosetta Orbiter Sensor for Ion and Neutral Analysis)

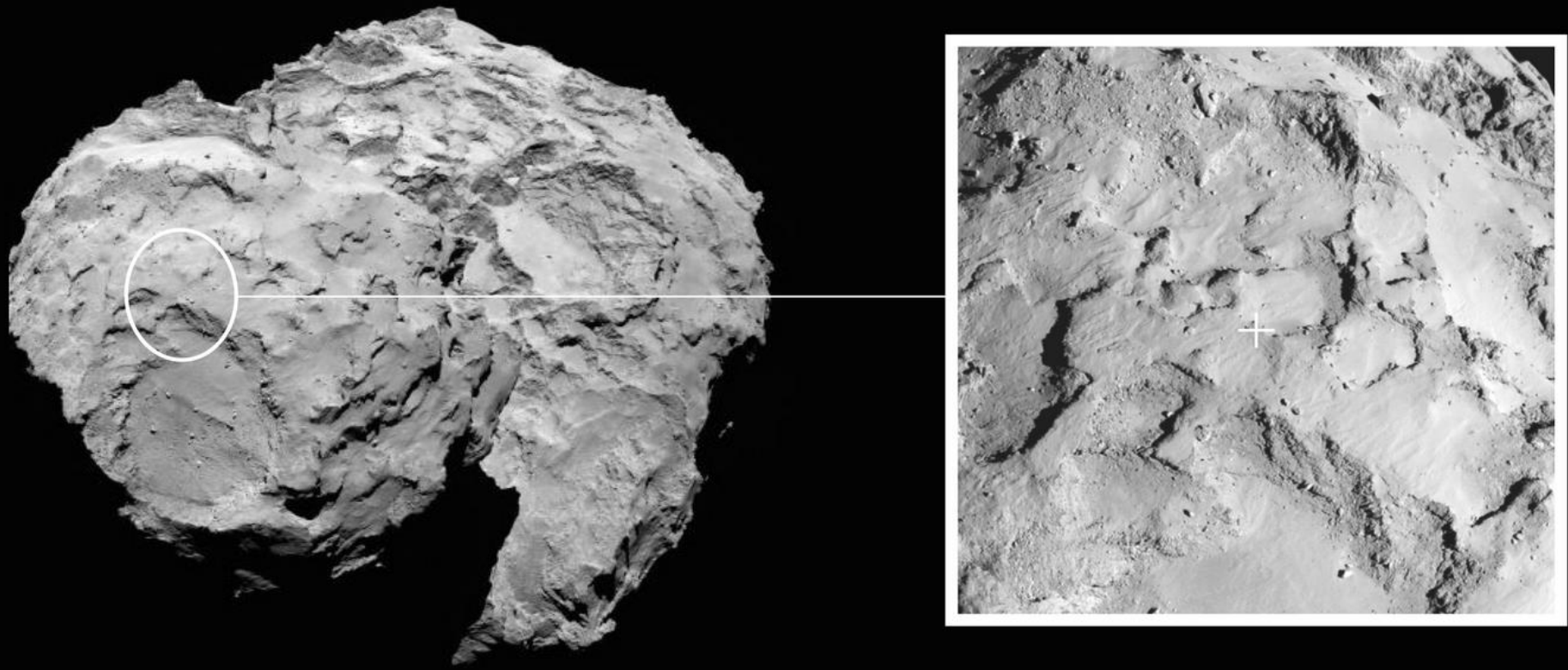
Detected gases, organic compounds and radicals in the coma

H_2^{16}O	HDO	HCl	$\text{C}_2\text{H}_6\text{O}$	and
H_2^{17}O	N_2	H^{37}Cl	C_6H_4	many
H_2^{18}O	CO	CH_3OH	N_2H_4	more
CO_2	C_2H_2	OCS	N^{18}O	
H_2S	C_2H_4	CH_2O_4	H_2NO	
H_2^{34}S	C_2H_6	C_6H_6	H^{15}NO	
SO_2	CH_2N	C_3H_2	O_2	
CS_2	C_2HN	OH	H_2O_2	
HCN	C_2	C^{34}S	PH_3	
Ar^{36}	C_3	NO_2	CH_3CN	
Ar^{38}	C_2N	$\text{C}^{18}\text{O}^{16}\text{O}$	SO	

Mapa regiónov



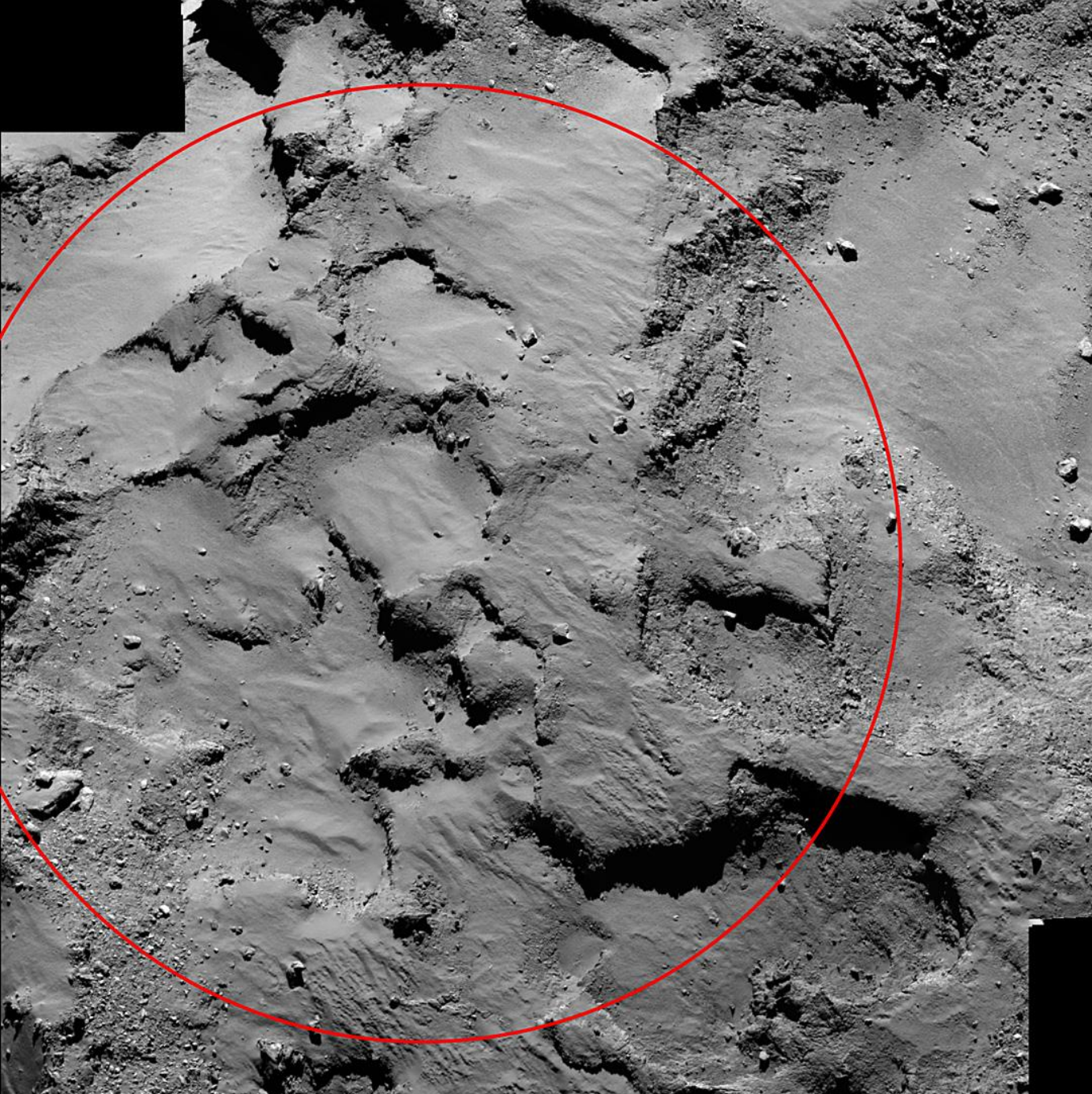
Výber miesta na pristátie (sep. 2014) vybraný bod „J“ Agilkia



Bezpečnostné kritériá: Plochý terén s malým sklonom a bez väčších balvanov.

Technické kritériá: Profil osvetlenia, teplota povrchu, kompaktnosť povrchu, spoločlivá komunikácia s orbiterom.

Vedecké kritériá: Reprezentatívne materiálové zloženie, primeraná povrchová aktivita po priblížení k Slnku.



AGILKIA

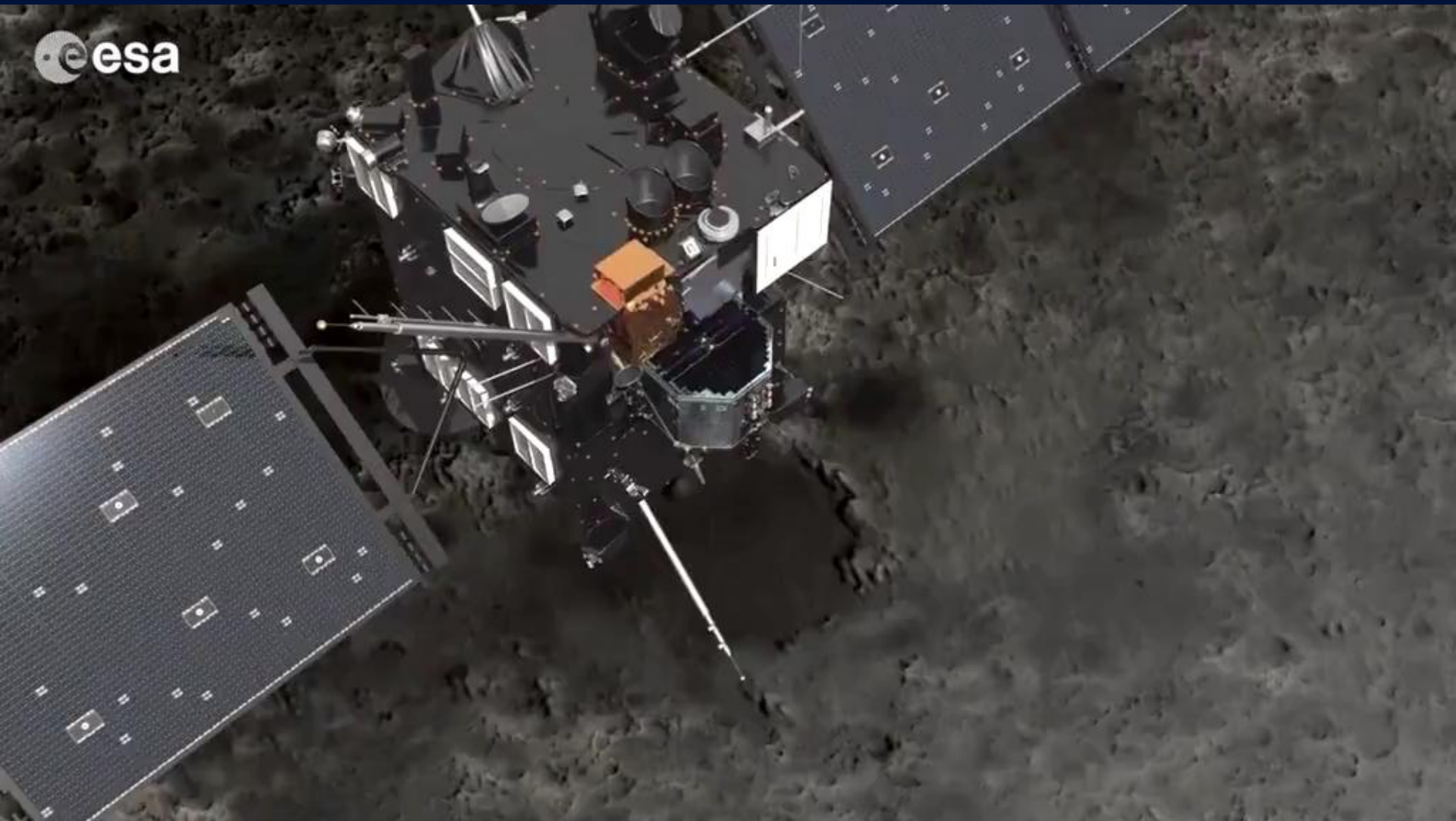
OSIRIS telefoto
14 September
2014

Záber z výšky
30 km.

Polomer kruhu
500 m.

Pristátie na kométe 67P (12 november 2014)

esa



Pristátie na kométe 67P (12 november 2014)

Bye-bye Orbiter

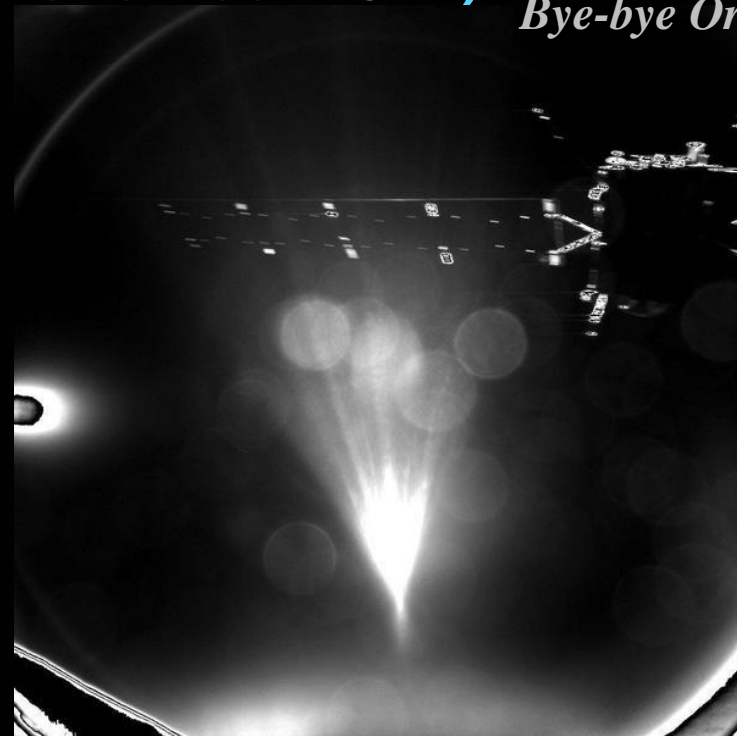
Bye-bye Philae



ROLIS 3 km



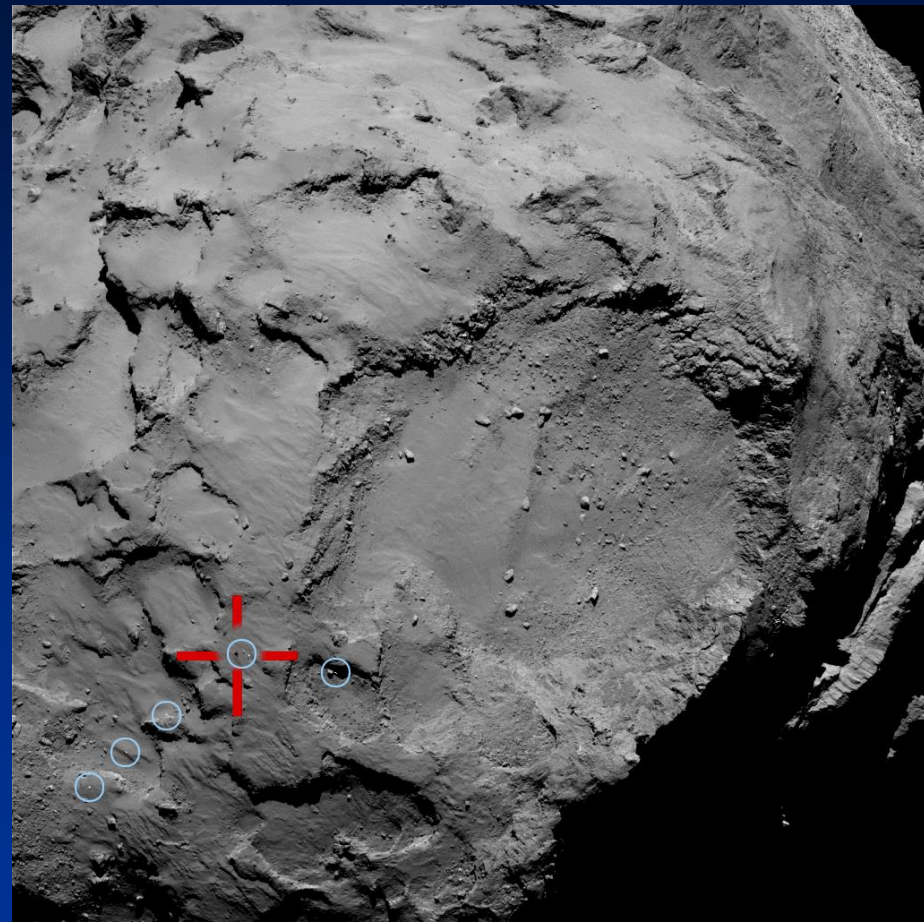
ROLIS 40m



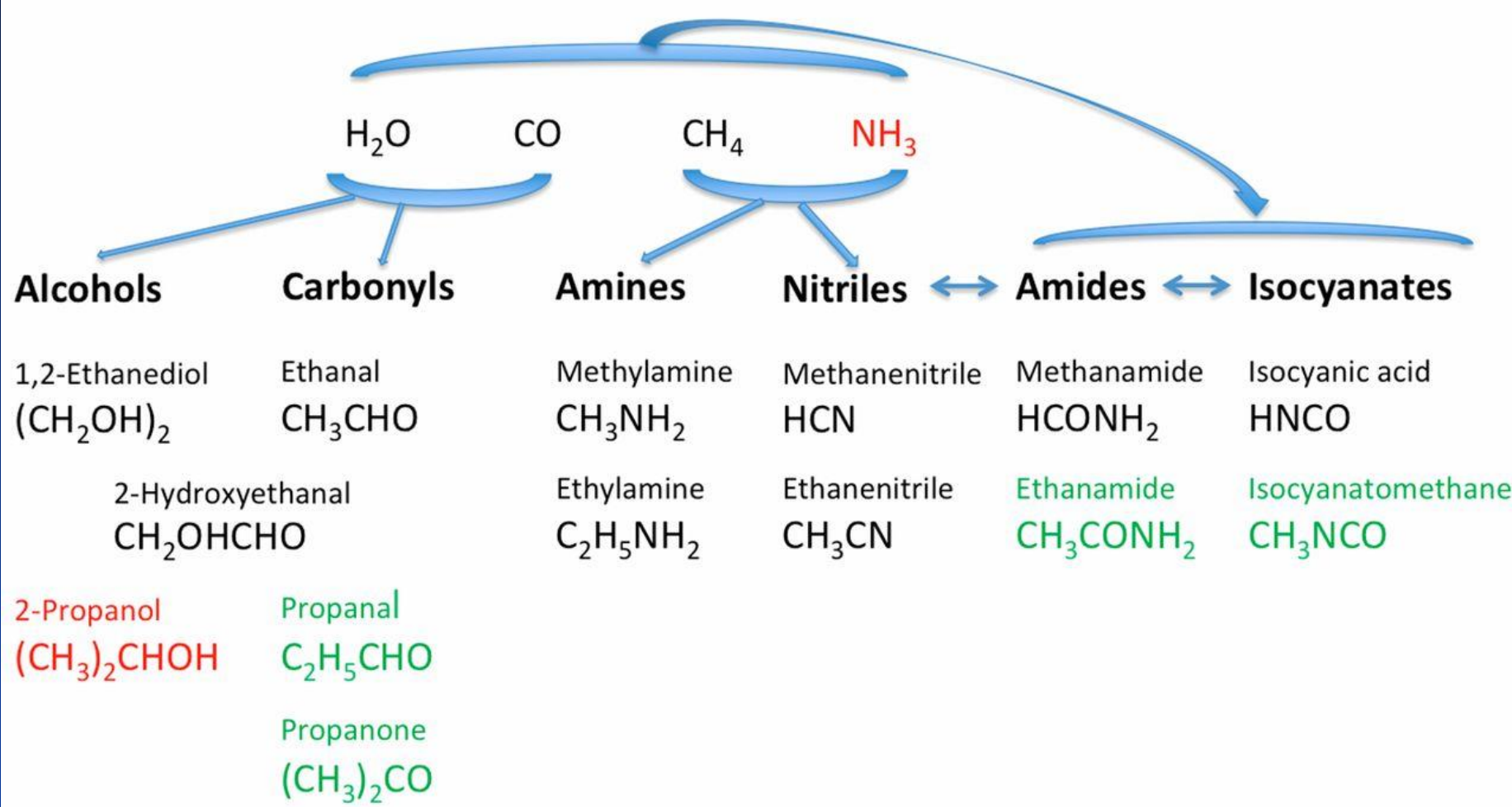
Welcome to a Comet ! (Abydos)



Kde je Philae ? (NavCam)



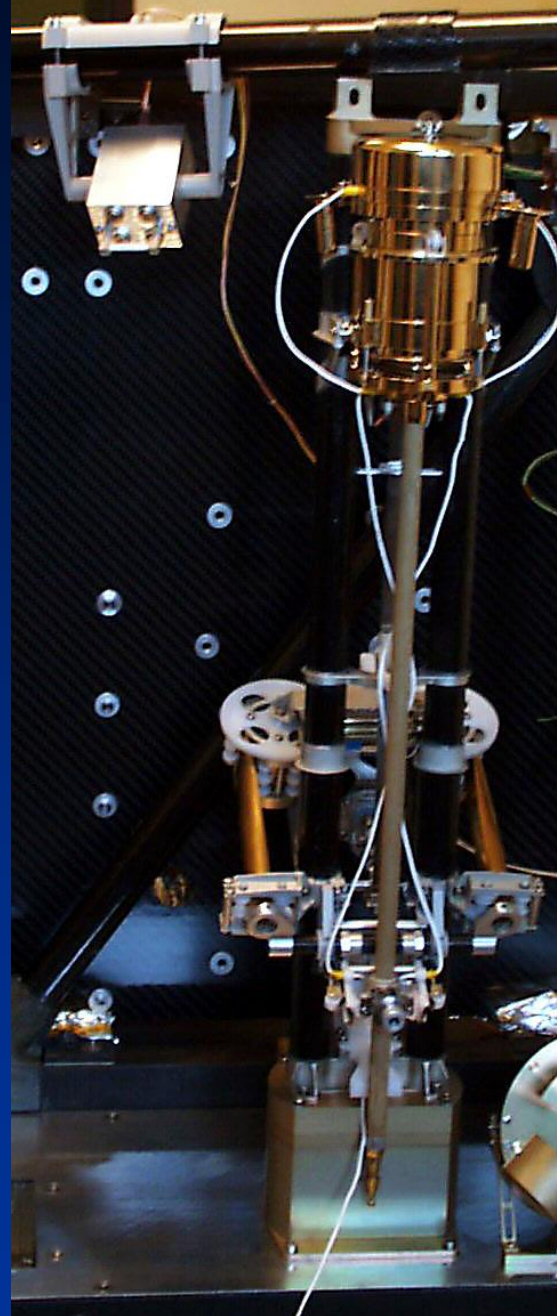
Chemické rodiny detegované Philae



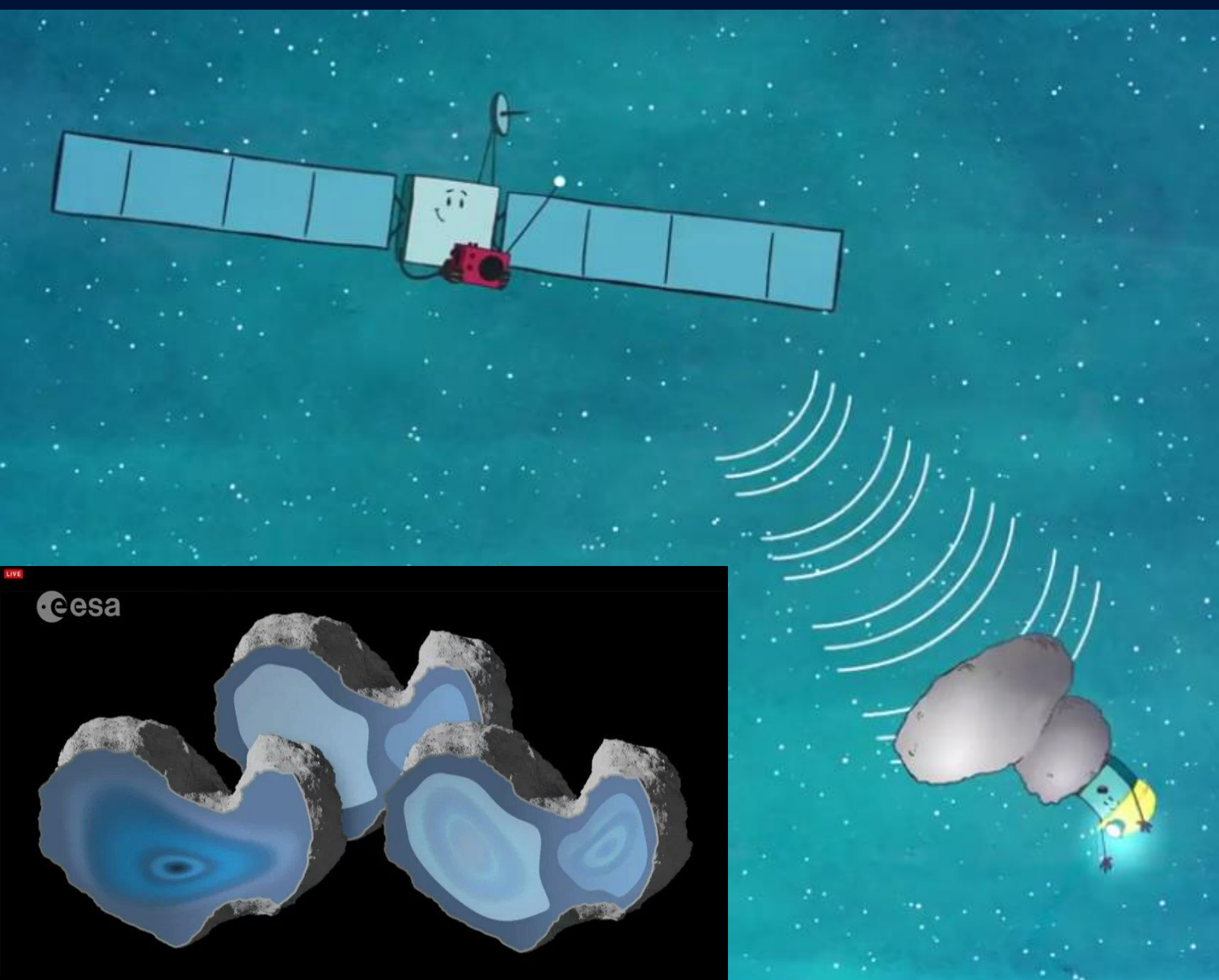
MUPUS, SESAME

„Vŕtacie kladivo“ MUPUS nedokázalo pri obmedzenom napájaní prerazit tvrdú ľadovú krustu. Tá je pokrytá vrstvou prachu.

Podobné vlastnosti potvrdil SESAME.



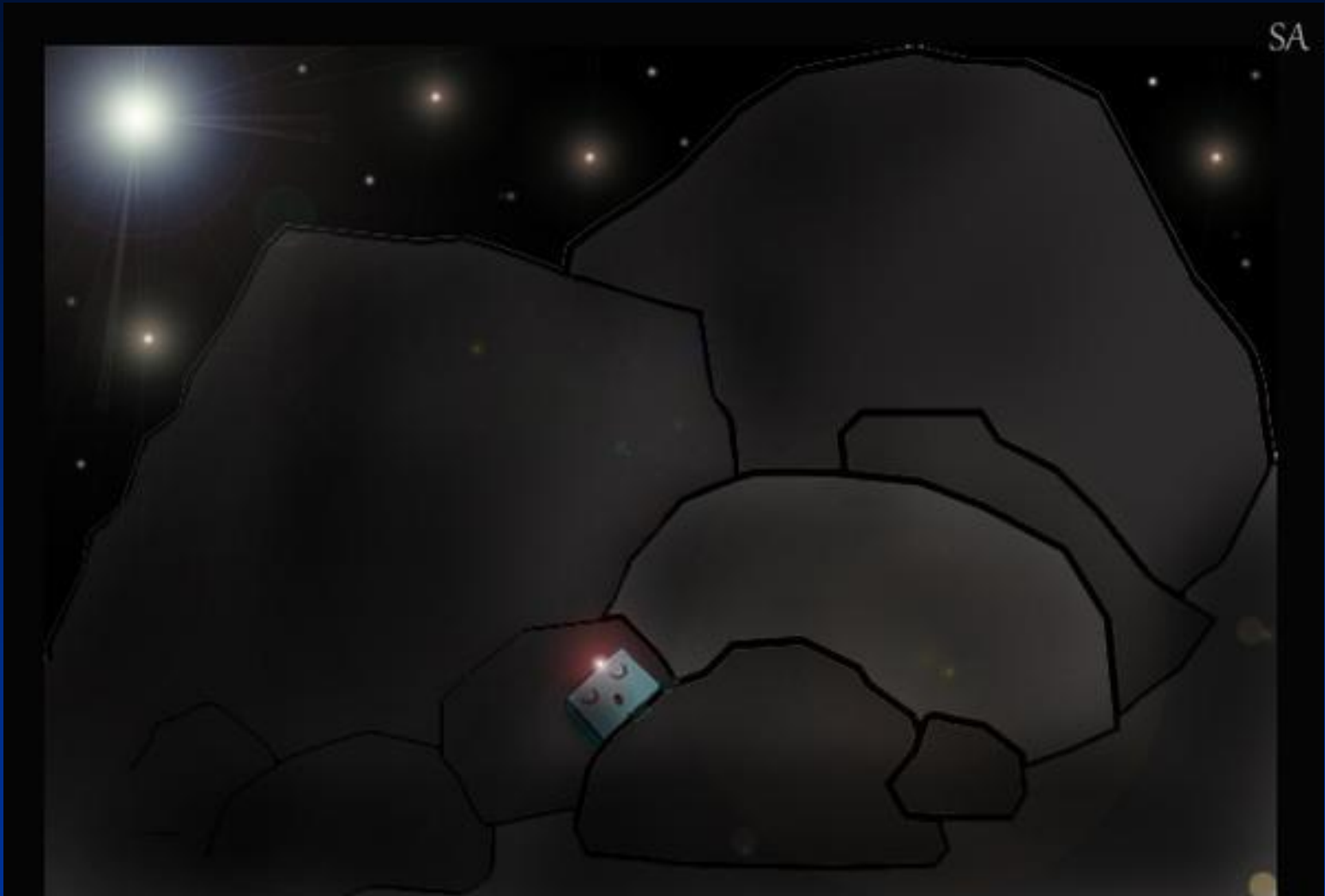
CONCERT – rádiová tomografia



CONCERT
zistil pomerne
homogénne
vnútro jadra
kométy, žiadne
dutiny väčšie
ako 100m.

Prachová
zložka
zodpovedá
uhlíkatým
chondritom.

Philae pracoval 57 hodín, vykonal asi 80% plánovaných úloh a potom sa kvôli nedostatku energie hibernoval



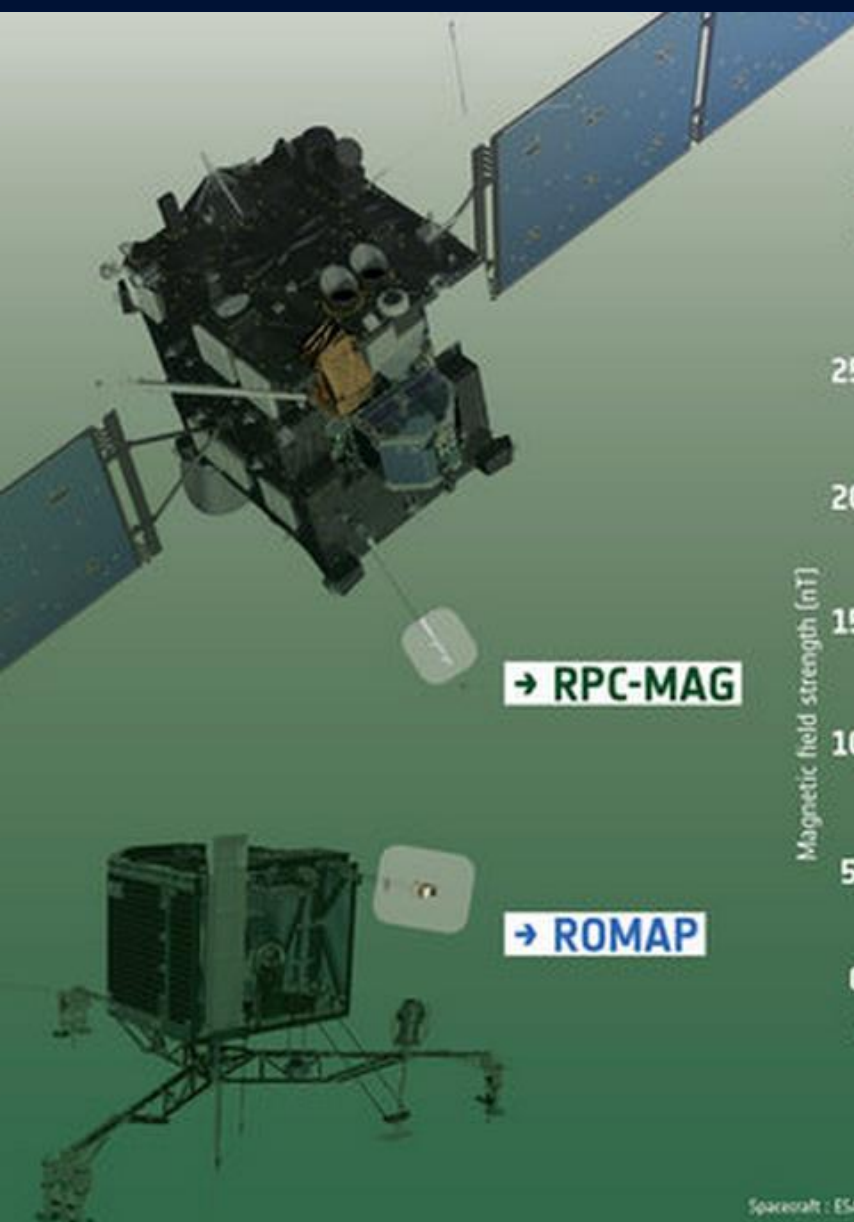
Goodnight Philae... Sleep Well... and Thank You...

Spojenia s Philae

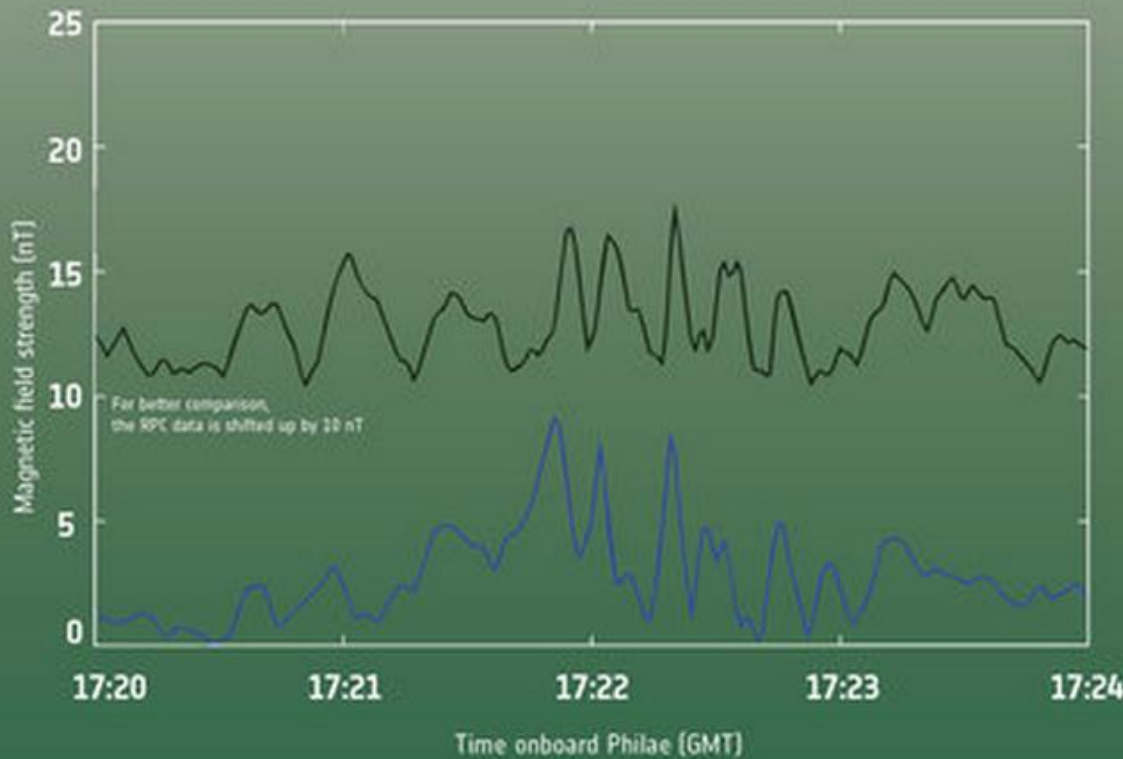
Connection	Date	Duration
nominal	12-Nov-2014	2,5 days
1	13-Jun-2015	78 sec
2	14-Jun-2015	4:04 min
3	19-Jun-2015	18:53 min
4	20-Jun-2015	31:01 min
5	21-Jun-2015	11:25 min
6	24-Jun-2015	17:11min
7	09-July-2015	22 min

ESS procesor „načúval“, či sa Philae neozve až do augusta 2016 !

Skoro žiadne magnetické pole



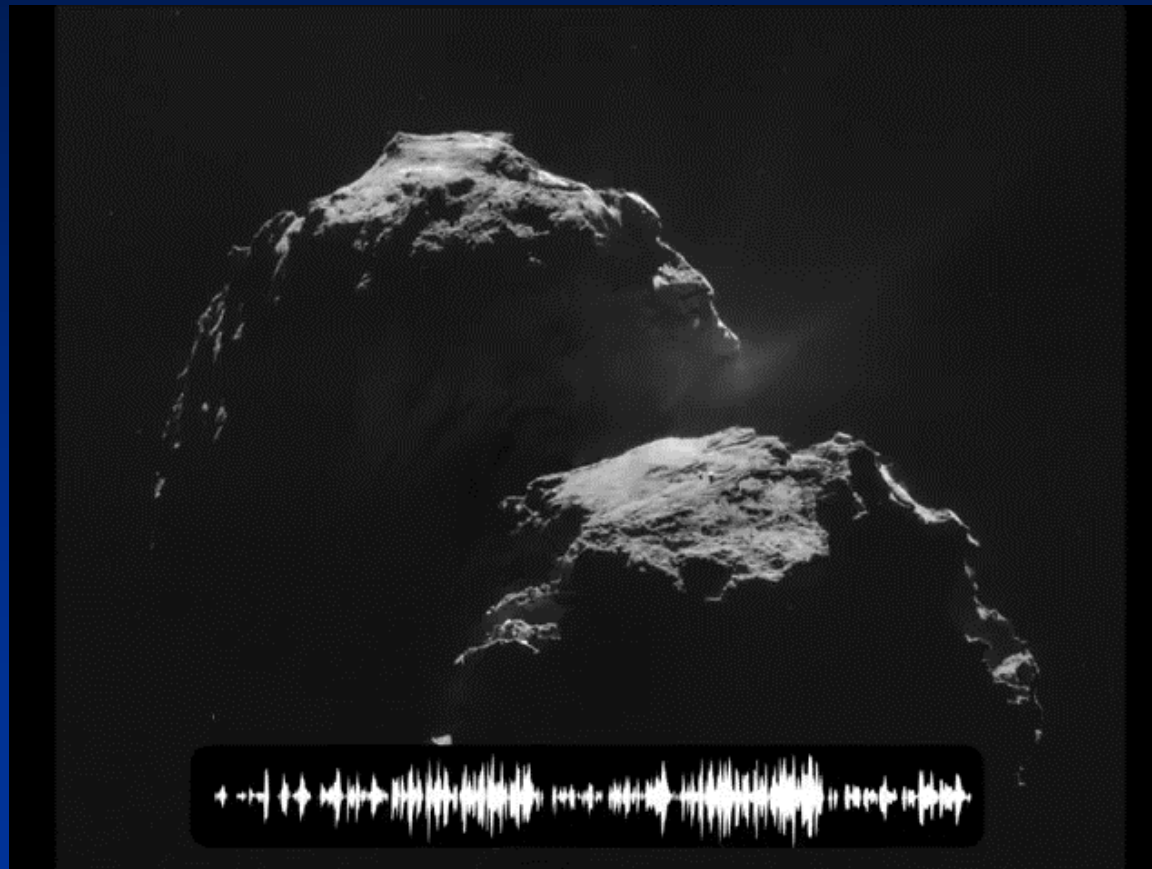
→ MAGNETIC FIELD MEASUREMENTS BY ROSETTA AND PHILAE JUST BEFORE SECOND TOUCHDOWN



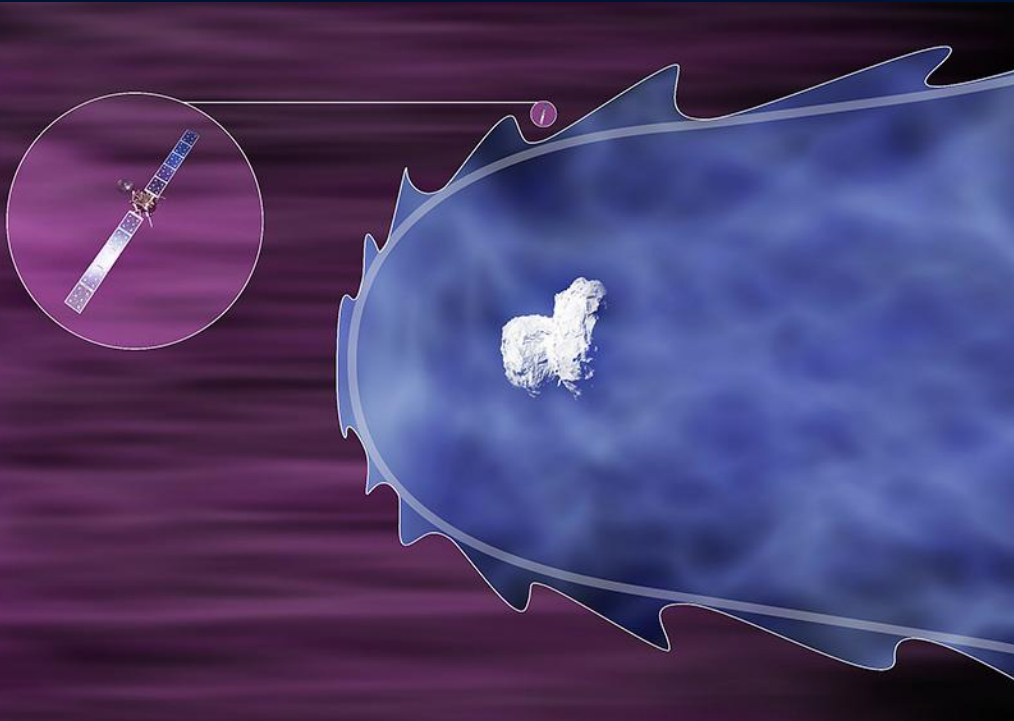
Spacecraft : ESA/ATG medialab; Data from Auster et al (2015)

„Spievajúca kométa“

Slnečný vietor reaguje s ionizovaným plynom a prachom a vyvoláva jemné variácie magnetického pol'a. Prevedené do počutel'ného rozsahu (20Hz-20kHz) jej vyniesli prezývku „spievajúca kométa“.

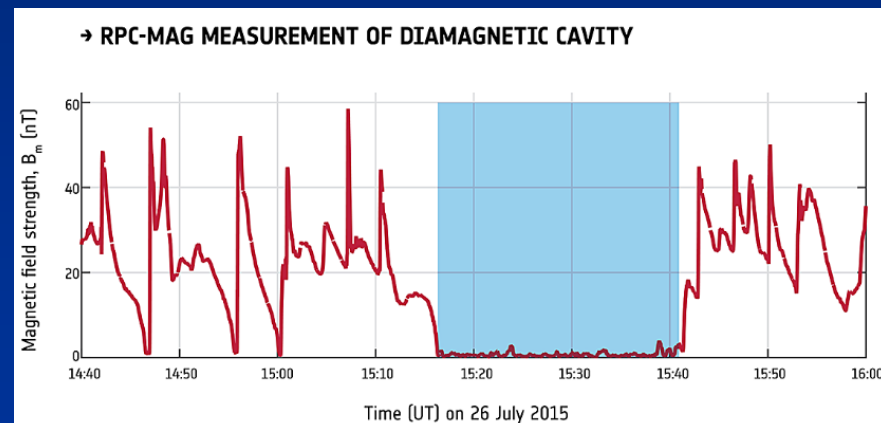


Veľká diamagnetická kavita (bublina) okolo jadra



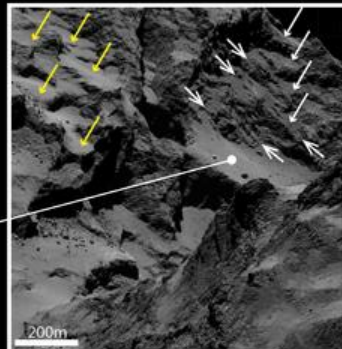
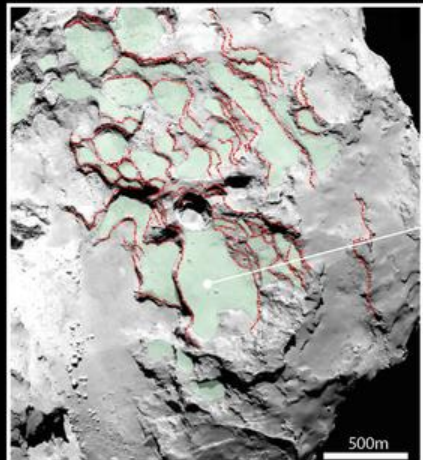
Diamagnetická kavita vzniká reakciou slnečného vetra a plynovo-plazmového prostredia okolo kométy v perihéliu.

Rosetta detegovala podstatne väčšiu kavitu než bola predpovedaná modelmi.

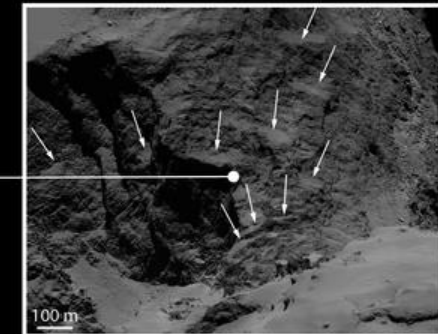
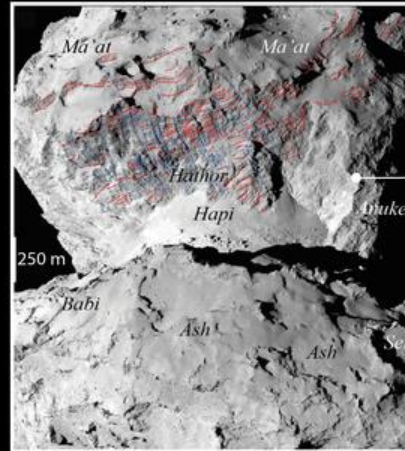


67P vznikla „pomalou zrážkou“ dvoch telies

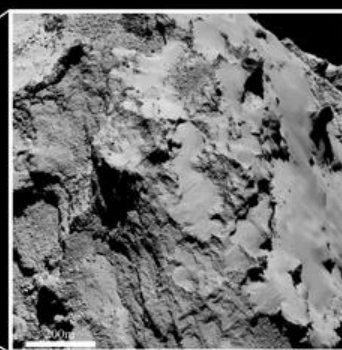
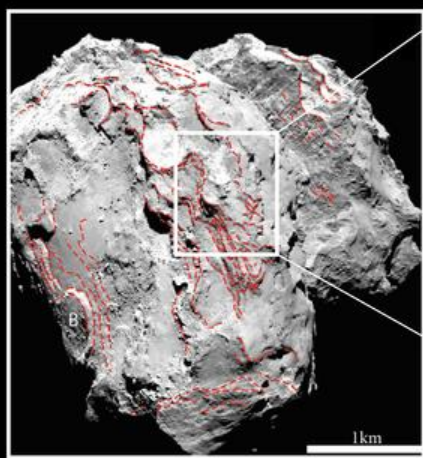
→ COMET 67P/CHURYUMOV–GERASIMENKO'S LAYERS



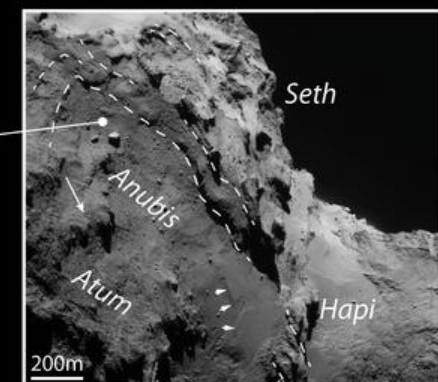
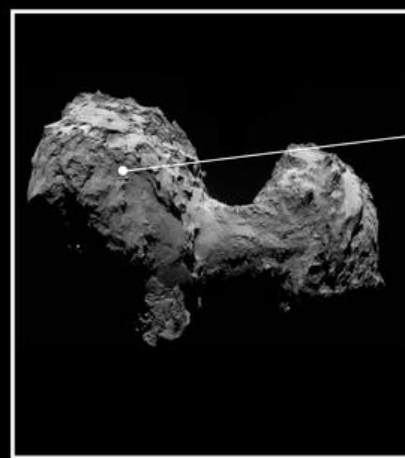
Main terraces (green) and exposed layers (red dashed lines) seen in the Seth region. Close-up: sets of terraces in two locations (small-pointed white and yellow arrows) with examples of parallel layers (large-pointed white arrows).



Main layers (red dashed lines) and cross-cutting fractures (blue dashed lines) in the Hathor cliff face on the comet's small lobe. Close-up: layers in an alcove at the Hathor–Anuket boundary. White arrows indicate terraces.

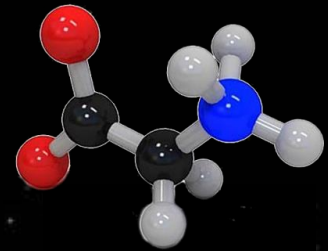


Outline of exposed layers (red dashed lines) in the Imhotep and Ash region on the comet's large lobe (some layers also indicated on small lobe in the background). Close-up: parallel layers in a section along the Imhotep–Ash boundary.

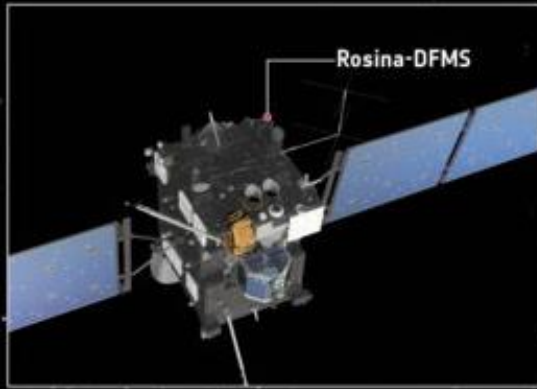


Layers (white dashed lines) at the boundary of Anubis and Seth. The three arrow heads point to a terrace margin in Anubis and the single white arrow points to a terrace in Atum.

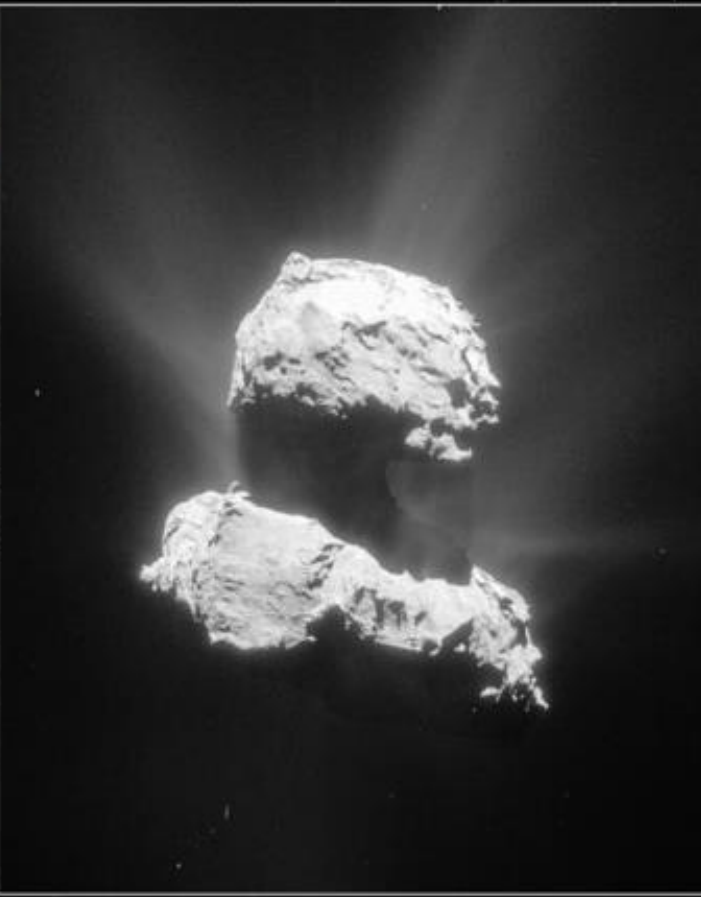
Bio-prekuryory fosfor a aminokyselina glycín



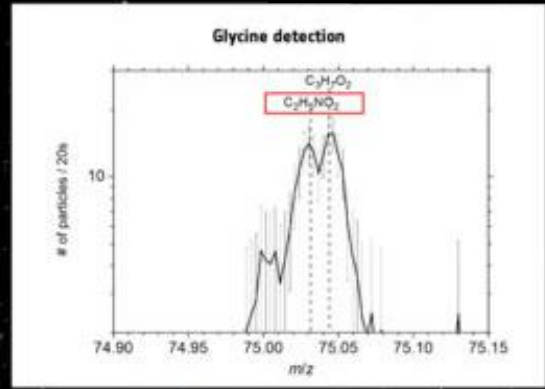
ROSETTA'S COMET CONTAINS INGREDIENTS FOR LIFE



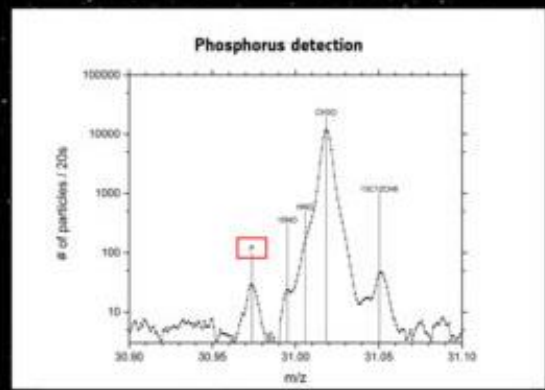
The measurements were made with the Rosetta Orbiter Spectrometer for Ion and Neutral Analysis Double-Focusing Mass Spectrometer (ROSINA-DFMS).



The measurements were made when Rosetta was between 10 and 200 km from the comet.



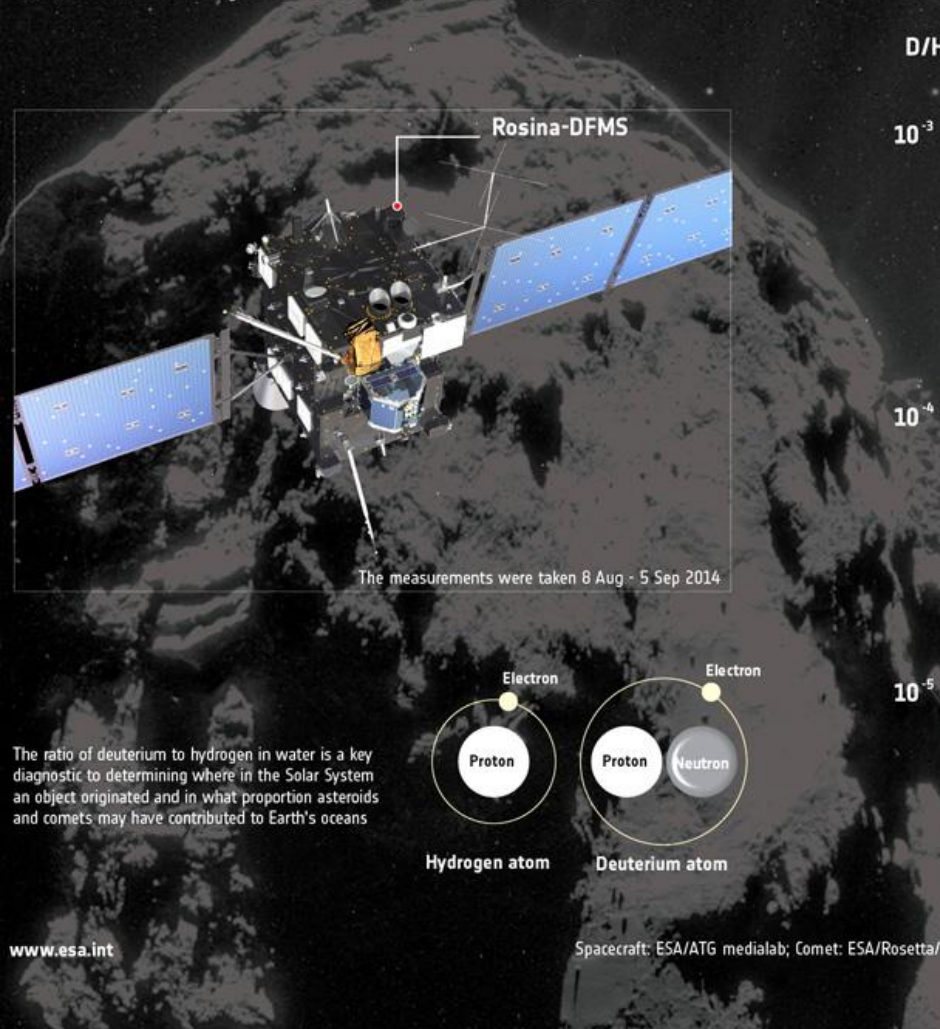
Spectrum indicating glycine ($C_2H_5NO_2$) detection on 9 July 2015. The simple amino acid glycine is a biologically important organic compound commonly found in proteins.



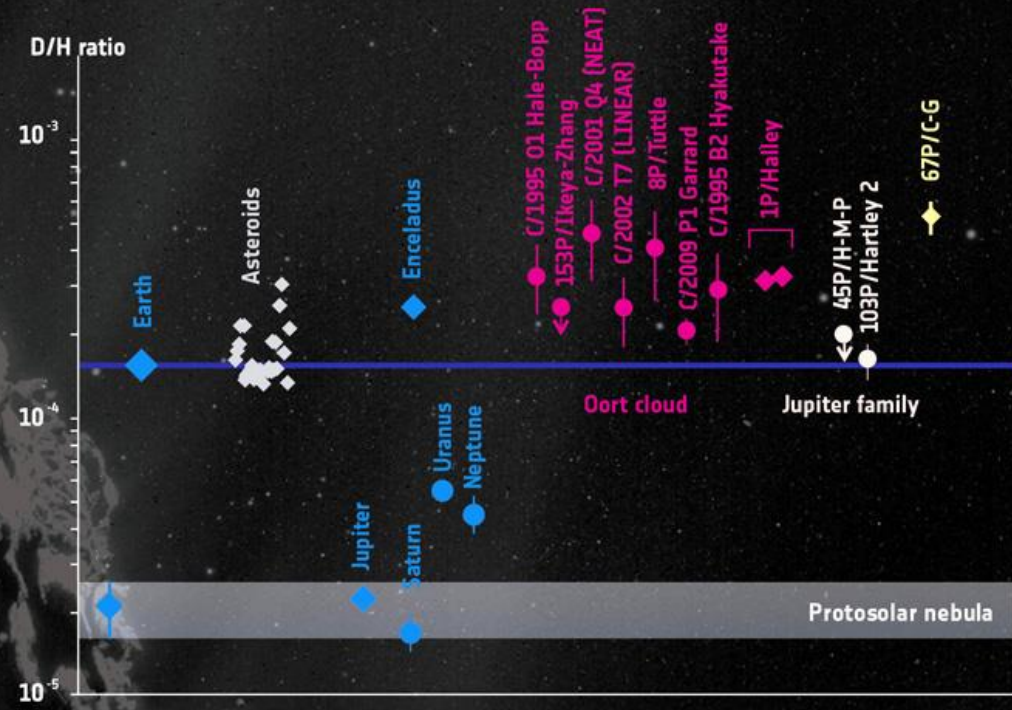
Spectrum indicating phosphorus (P) detection, along with other gases, on 26 October 2014. Phosphorus is a key element in all living organisms. It is found in DNA, RNA and in cell membranes, and it is used in transporting chemical energy within cells for metabolism.

Voda z kométy 67P je iná... (viac t'ažkého vodíka)

Rosetta's ROSINA instrument finds
Comet 67P/Churyumov-Gerasimenko's
water vapour to have a significantly
different composition to Earth's oceans.



$$\text{Zem: } 1.56 \times 10^{-4} \quad (0.0156 \%)$$
$$67P: \quad 5.3 \times 10^{-4} \quad (0.053 \%)$$

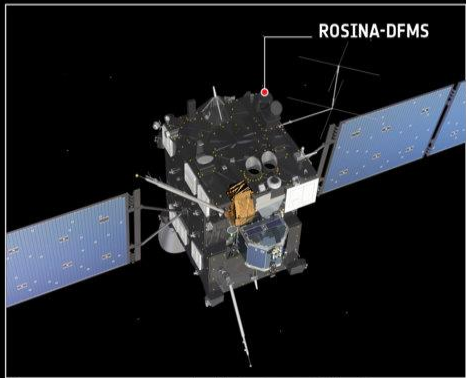


D/H ratio for different Solar System objects, grouped by colour as planets and moons (blue), chondritic meteorites from the Asteroid Belt (grey), comets originating from the Oort cloud (purple) and Jupiter family comets (pink). Comet 67P/C-G, a Jupiter family comet, is highlighted in yellow. ♦ = data obtained in situ ● = data obtained by astronomical methods

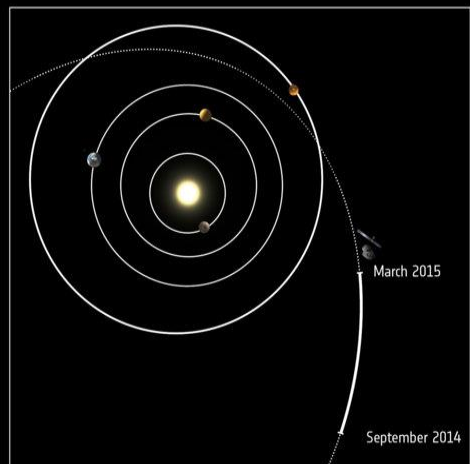
Detekcia množstva molekulárneho kyslíka (ROSINA)

Veľmi starý kyslík, uväznený v zmrazenom materiáli a uvoľňovaný pri slnečnej erózii.

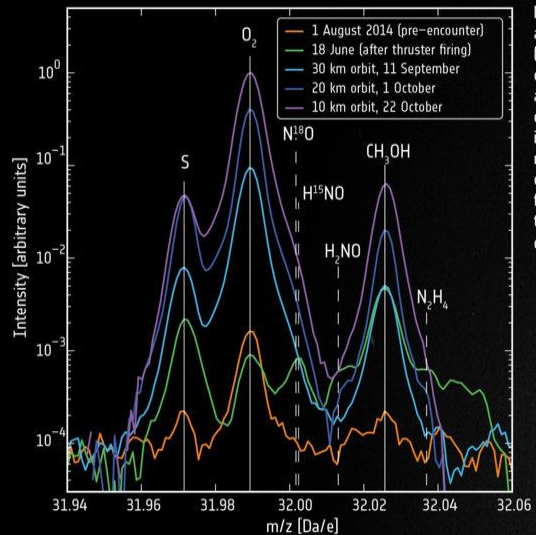
→ ROSETTA HAS MADE THE FIRST DETECTION OF MOLECULAR OXYGEN AT A COMET



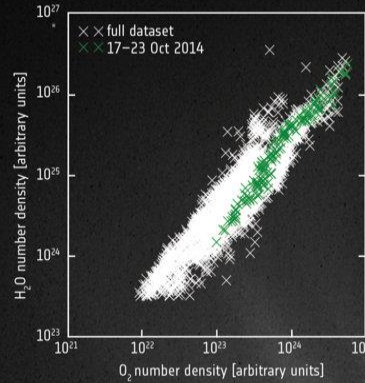
The measurements were made with the Rosetta Orbiter Spectrometer for Ion and Neutral Analysis Double-Focusing Mass Spectrometer (ROSINA-DFMS).



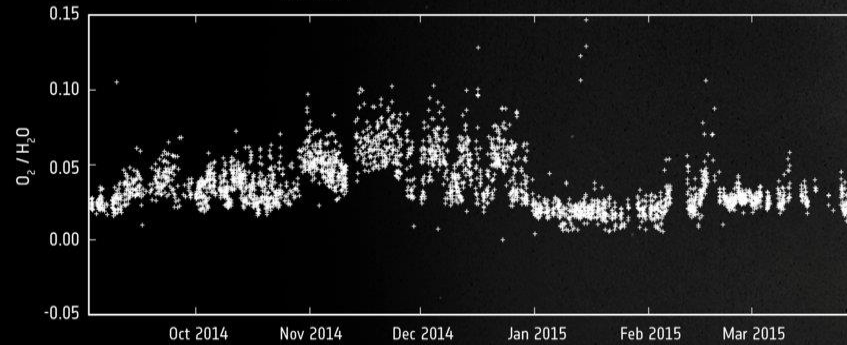
The results were collected between September 2014 and March 2015.



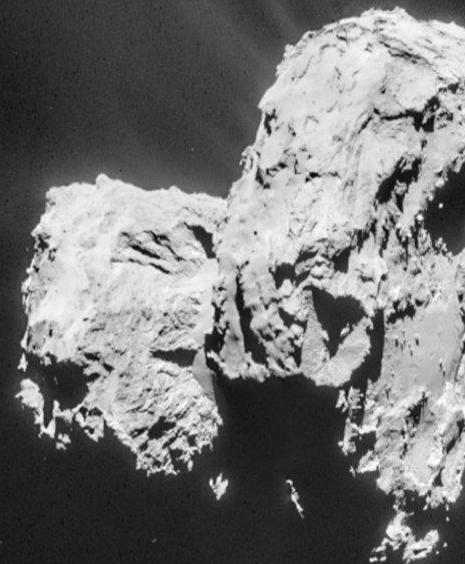
High-resolution measurements allowed molecular oxygen (O_2) to be distinguished from other species like sulphur (S) and methanol (CH_3OH). The detection of the coma gases is stronger closer to the comet nucleus, as expected. The contribution to the detection from contamination from the spacecraft thruster firings during manoeuvres is very low.



The strong correlation of molecular oxygen abundance with water vapour indicates a shared origin and release mechanism from the nucleus.



The O_2/H_2O ratio does not vary significantly over the study period. Short-lived strong variations are attributed to the decrease of the O_2 ratio for occasionally higher H_2O abundances linked to the daily water-ice cycle. The overall consistent level implies that O_2 is not produced today by solar wind or UV interaction with surface ices, otherwise it would rapidly decrease due to the comet's increased activity. Instead, the O_2 must have been incorporated into the comet's ices during its formation in the early Solar System, and is being released with the water vapour today.



67P je ozaj prvotný materiál , ktorý neprešiel formáciou

→ PROFILE OF A PRIMORDIAL COMET



Positive relief features
Spherical 'caps' hint at remnant comesimals

Supervolatiles
The comet is rich in carbon monoxide, oxygen, nitrogen and argon, suggesting it formed at low temperature and did not experience thermal processing by heat from radioactive decay

High porosity
Nucleus and ejected dust consist of highly porous material, implying low-speed accretion and excluding further high-speed collisional processing

Goosebumps and clods
Internal 'lumpiness' hints at metre-sized comesimals

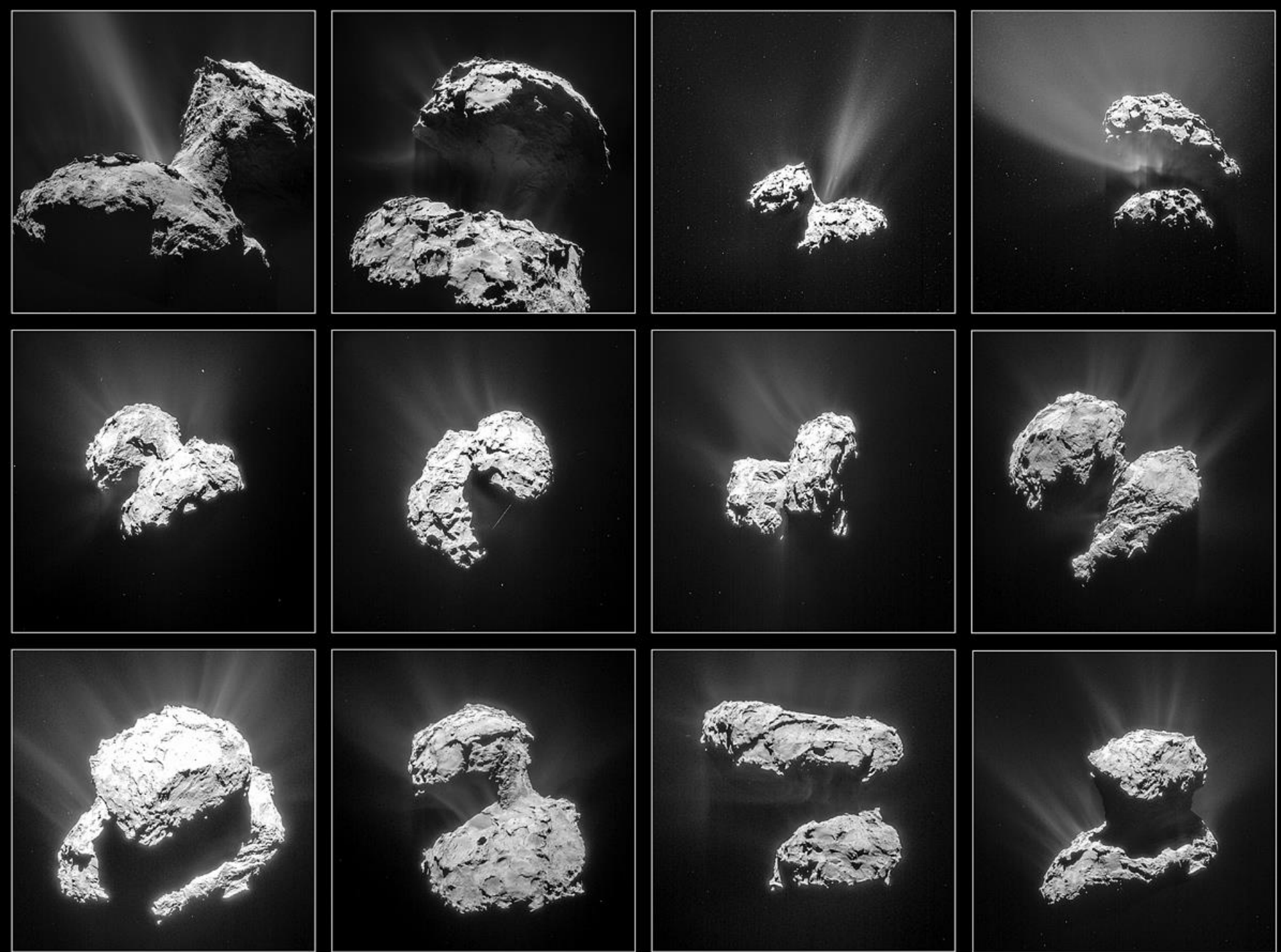
Layers
Extensive layering implies material accumulated over a lengthy period

Two lobes
Similar properties of both lobes imply similar evolution, and survival against collision

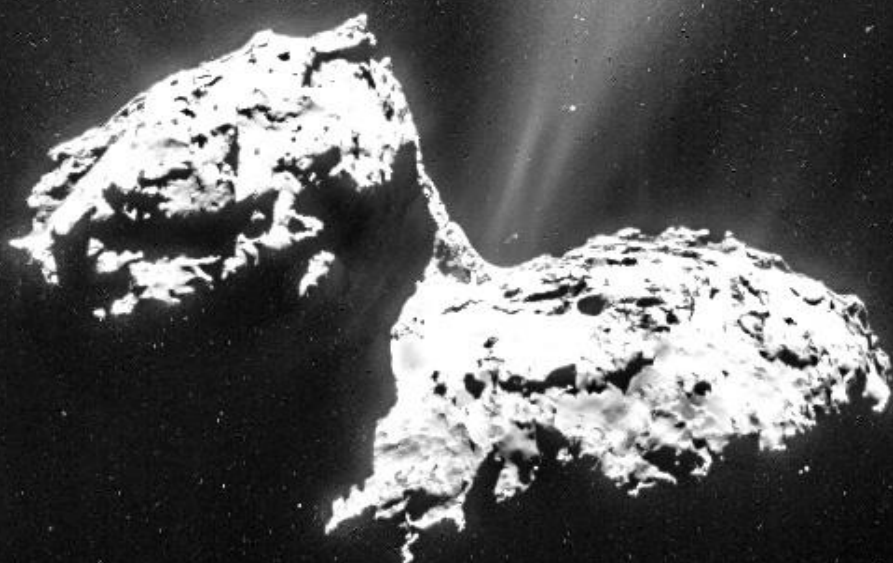
No alteration by liquid water
Absence of an absorption feature at 700 nm shows that minerals in the comet have not been altered by liquid water, implying that significant heating by radioactive decay did not take place

Low strength
Low density, high porosity and weak strength reflect properties of early comesimals and imply low speed accretion

200 µm
20 m
50 m
200 m
50 m
100 m
Wavelength [nm]



Prebúdzanie kométy...



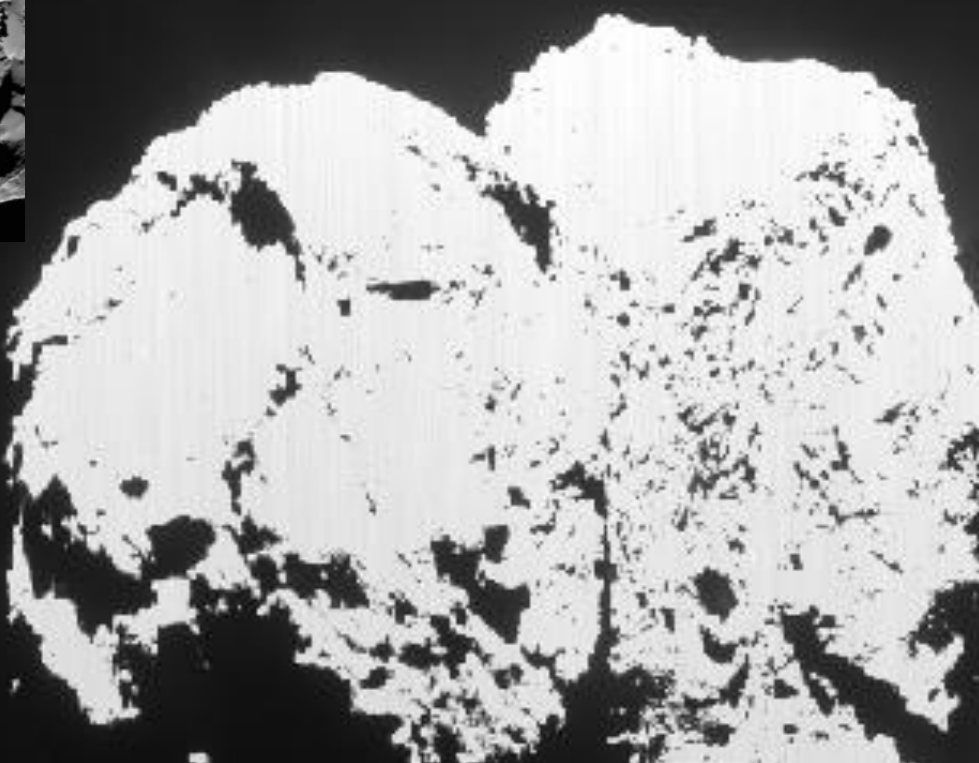
67P v perihéliu (13. 8.2015)



Prachové prostredie v perihéliu (Osiris)



Náhľad vzplanutie „outburst“ (19.2.2016)

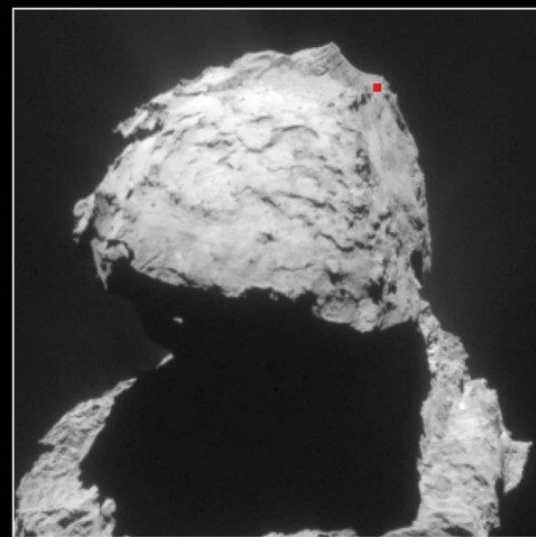
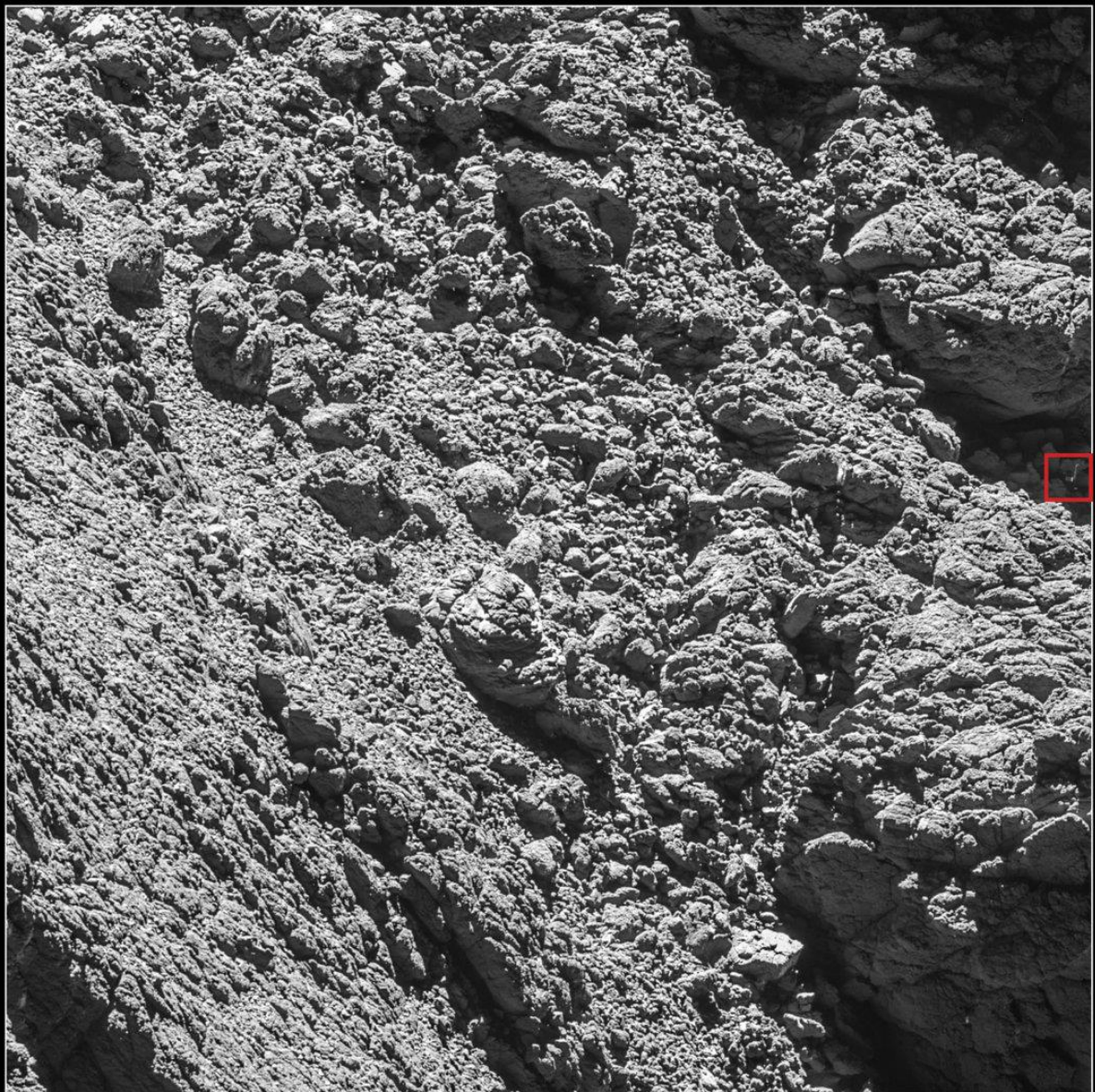


Pohľad na kométu z jej chvosta...(27. 3. 2016)



Philae nájdený !!! (5. 9. 2016)

Abydos z výšky 2700 m



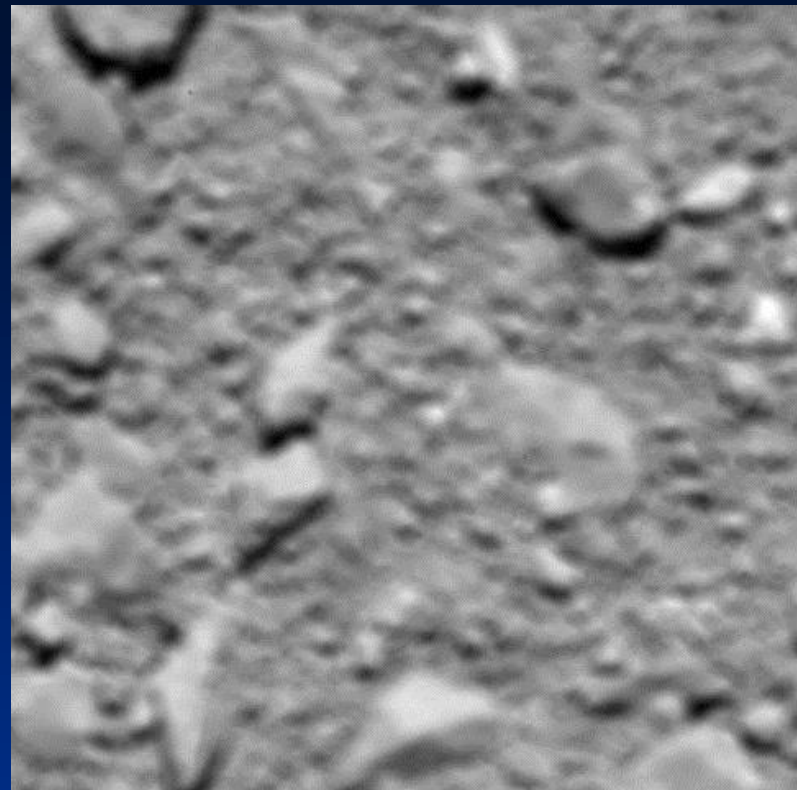
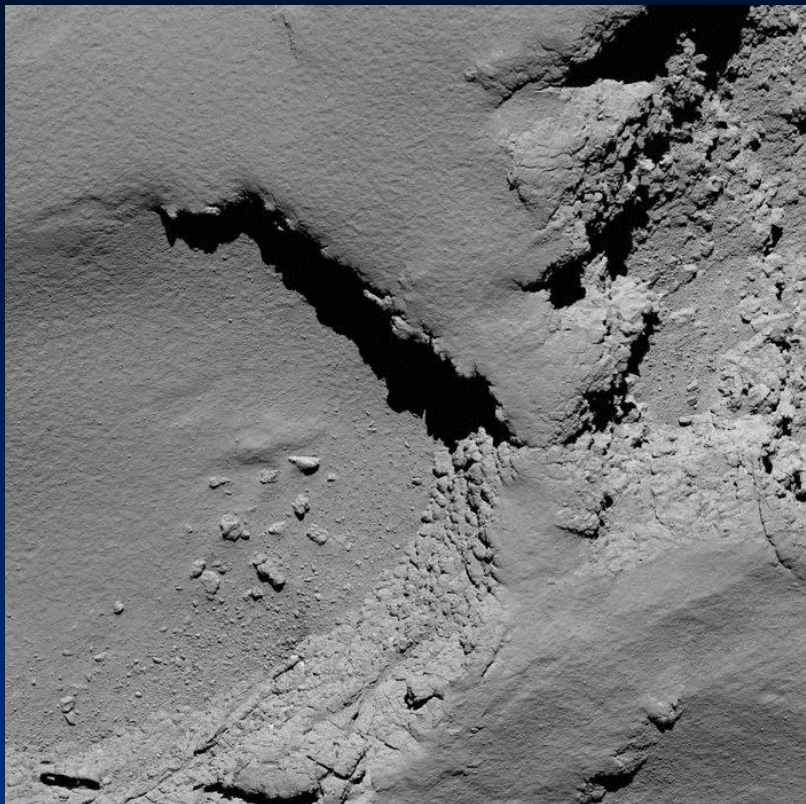
Rosetta “Grand finale” 30 septembra 2016



Posledné zábery

5700m

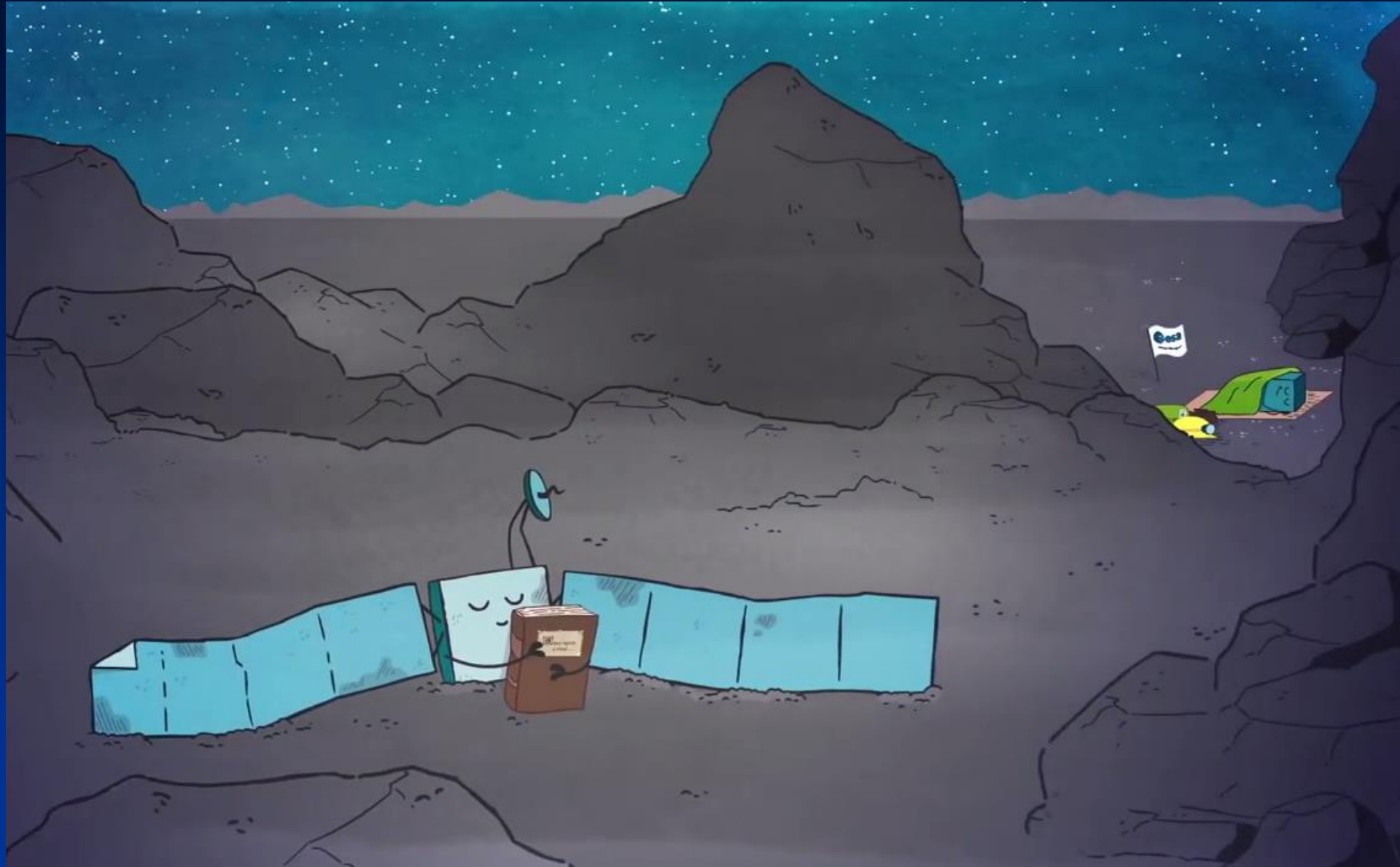
20m



*Posledné
rádiové
signály*



Rosetta a Philae – odpočívajte v pokoji



Report

67P/Churyumov-Gerasimenko, a Jupiter family comet with a high D/H ratio

K. Altwege et al.

In situ mass spectrometry reveals a deuterium-to-hydrogen ratio three times that of Earth, which is suggestive of diverse origins for comets in this class.

Report

The organic-rich surface of comet 67P/Churyumov-Gerasimenko as seen by VIRTIS/Rosetta

F. Capaccioni et al.

The reflectance behavior of an illuminated comet is consistent with the presence of nonvolatile organics and sparse water ice.

Report

Time variability and heterogeneity in the coma of 67P/Churyumov-Gerasimenko

M. Hässig et al.

Mass spectrometry performed in situ shows a highly heterogeneous coma with large diurnal and possibly seasonal variations.

► RELATED PODCAST

Report

Birth of a comet magnetosphere: A spring of water ions

H. Nilsson et al.

The interaction of the solar wind and a comet atmosphere is characterized through detection of the energetic ion environment.

Report

Subsurface properties and early activity of comet 67P/Churyumov-Gerasimenko

S. Gulkis et al.

Measurements at a comet yield water production rates and an assessment of low thermal inertia.

Nespočet vedeckých publikácií v prestížnych časopisoch... (doposiaľ, aj v budúcnosti) This is only the beginning...

Research Article

On the nucleus structure and activity of comet 67P/Churyumov-Gerasimenko

H. Sierks et al.

A comet with an unusual shape has an array of surface features and high porosity, with early outgassing between its two lobes.

Research Article

The morphological diversity of comet 67P/Churyumov-Gerasimenko

N. Thomas et al.

Images with better than 1-meter-per-pixel resolution shows a comet's morphology with evidence for complex active processes.

Research Article

Dust measurements in the coma of comet 67P/Churyumov-Gerasimenko inbound to the Sun

A. Rotundi et al.

Observations of the dust outflow show bound and unbound grains and imply a comparatively high dust-to-gas ratio of 4.

Latest News

Close-ups of comet Churyumov-Gerasimenko/67P reveal an actively sculpted surface

E. Hand

Diversity of features points to a more complicated cometary birth.

nature

International weekly journal of science

Home | News & Comment | Research | Careers & Jobs | Current Issue | Archive | Audio & Video | f

Current Issue > Letters > Article

ARTICLE PREVIEW

view full access options ▶

NATURE | LETTER

日本語要約

Aggregate dust particles at comet 67P/Churyumov-Gerasimenko

Mark S. Bentley, Roland Schmid, Thirid Mannel, Klaus Torkar, Harald Jeszenszky, Jens Romstedt, Anny-Chantal Levasseur-Regourd, Iris Weber, Elmar K. Jessberger, Pascale Ehrenfreund, Christian Koeberl & Ove Havnes

Affiliations | Contributions | Corresponding author

Nature 537, 73–75 (01 September 2016) | doi:10.1038/nature19091

Received 17 December 2015 | Accepted 06 July 2016 | Published online 31 August 2016

The presence of clathrates in comet 67P/Churyumov-Gerasimenko

Article in Science Advances · April 2016

DOI: 10.1126/sciadv.1501781

Properties of the 67P/Churyumov-Gerasimenko interior revealed by CONSERT radar

Article in Science · July 2015

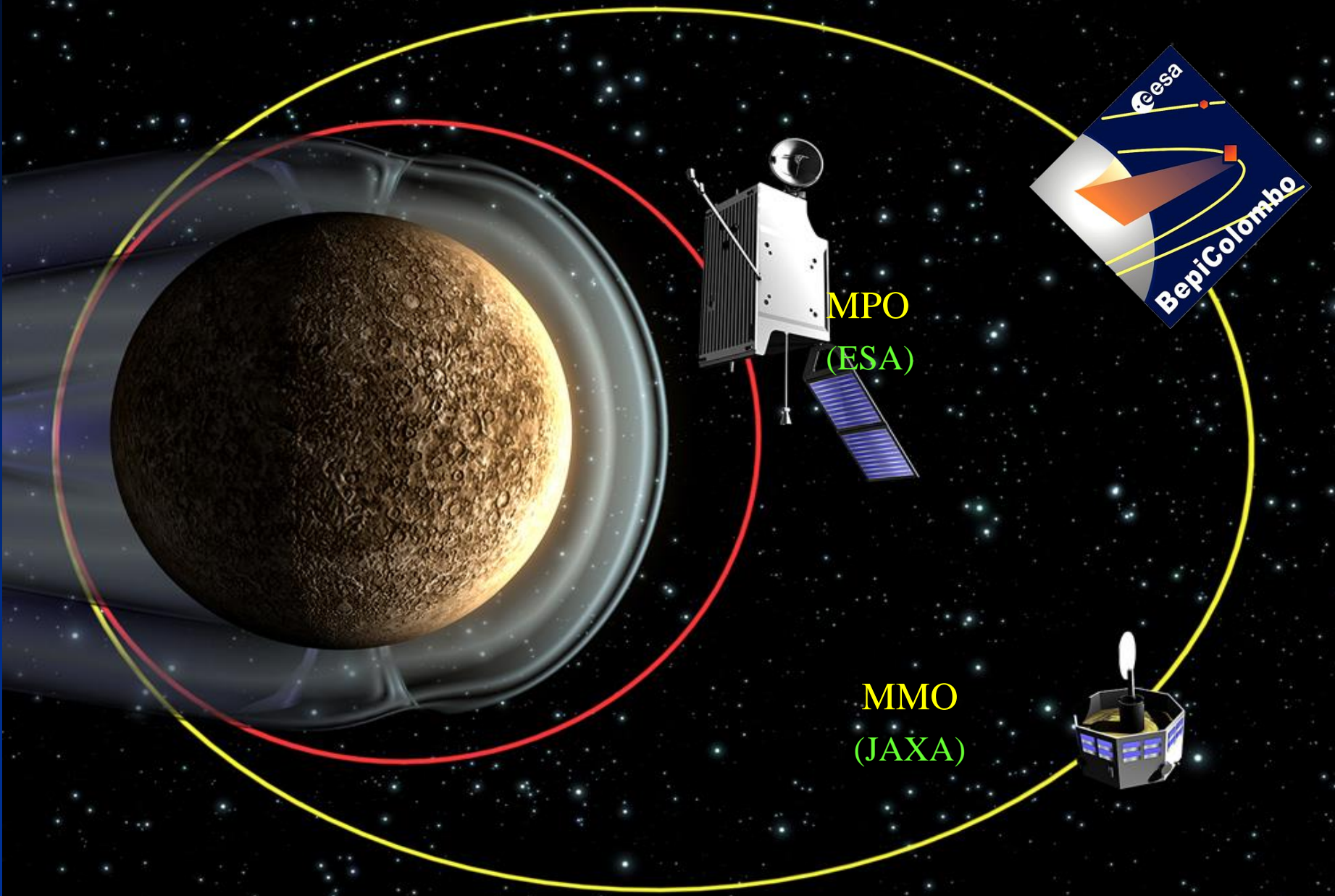
DOI: 10.1126/science.aab0639

Rosetta - záverom

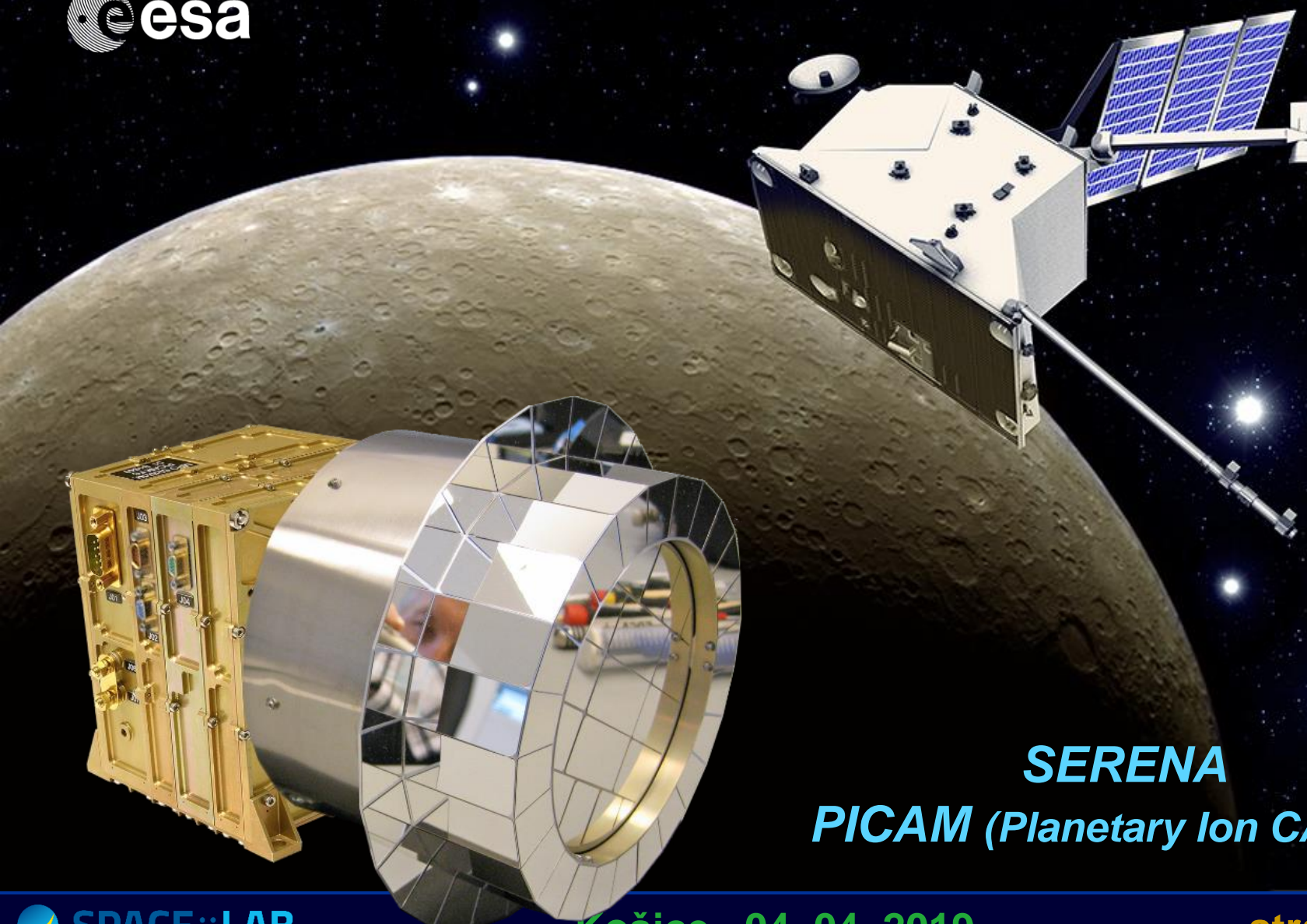
- *ROSETTA sa ako prvá sonda v histórii stala spolupútnikom kométy a sledovala ju zblízka pri jej ceste okolo Slnka*

- *Prvýkrát v histórii dielo vytvorené človekom kontrolované pristálo na kométe a analyzovalo vzorky jej materiálu.*

ESA-BepiColombo misia na planétu Merkúr

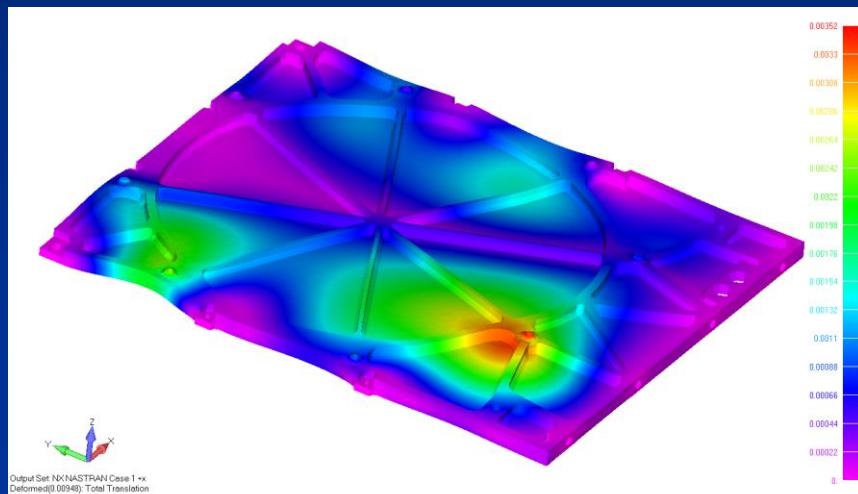
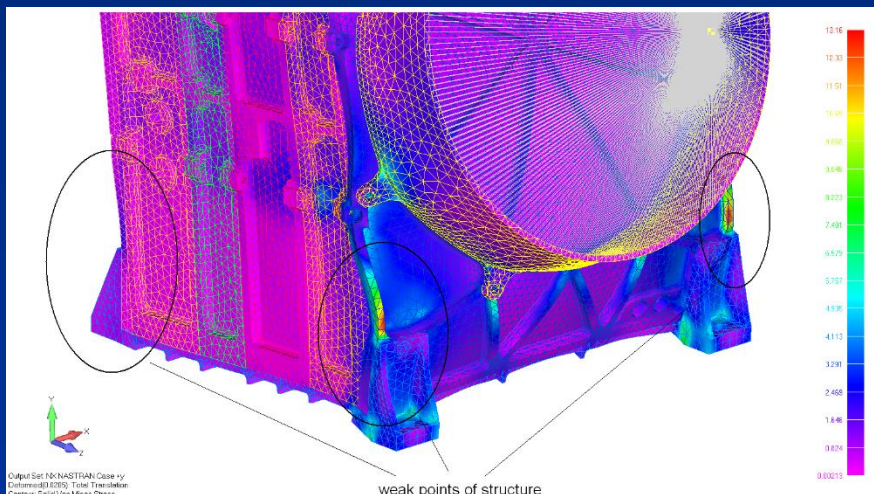
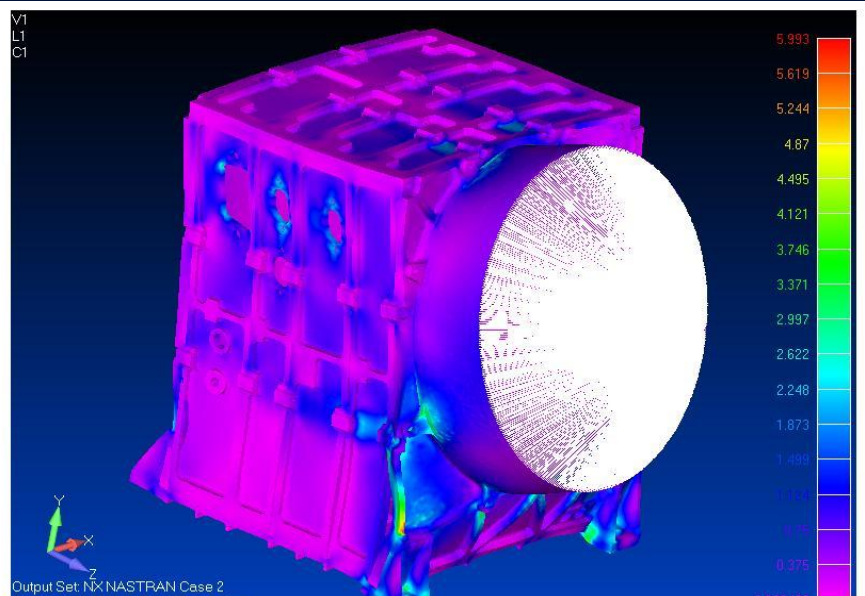
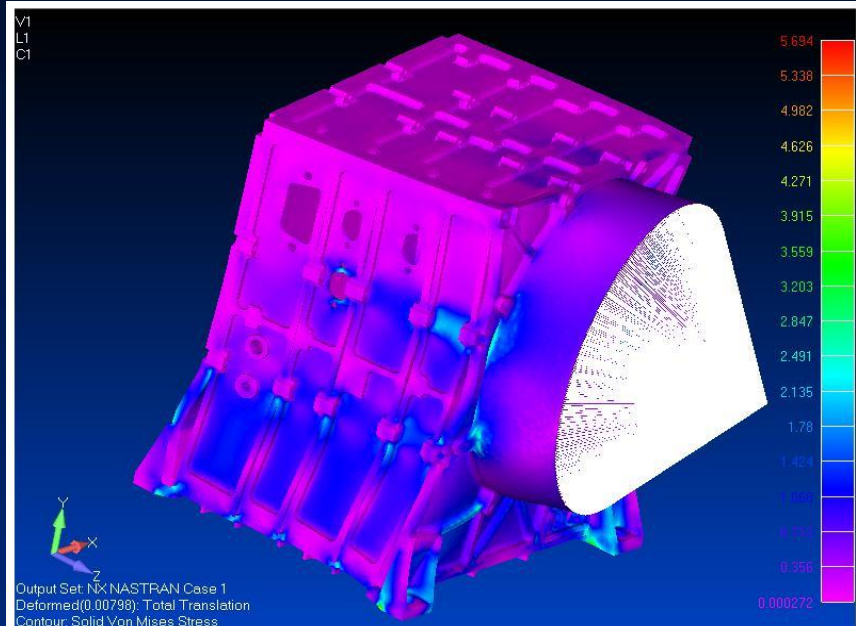


ESA-BepiColombo, Mission to Mercury

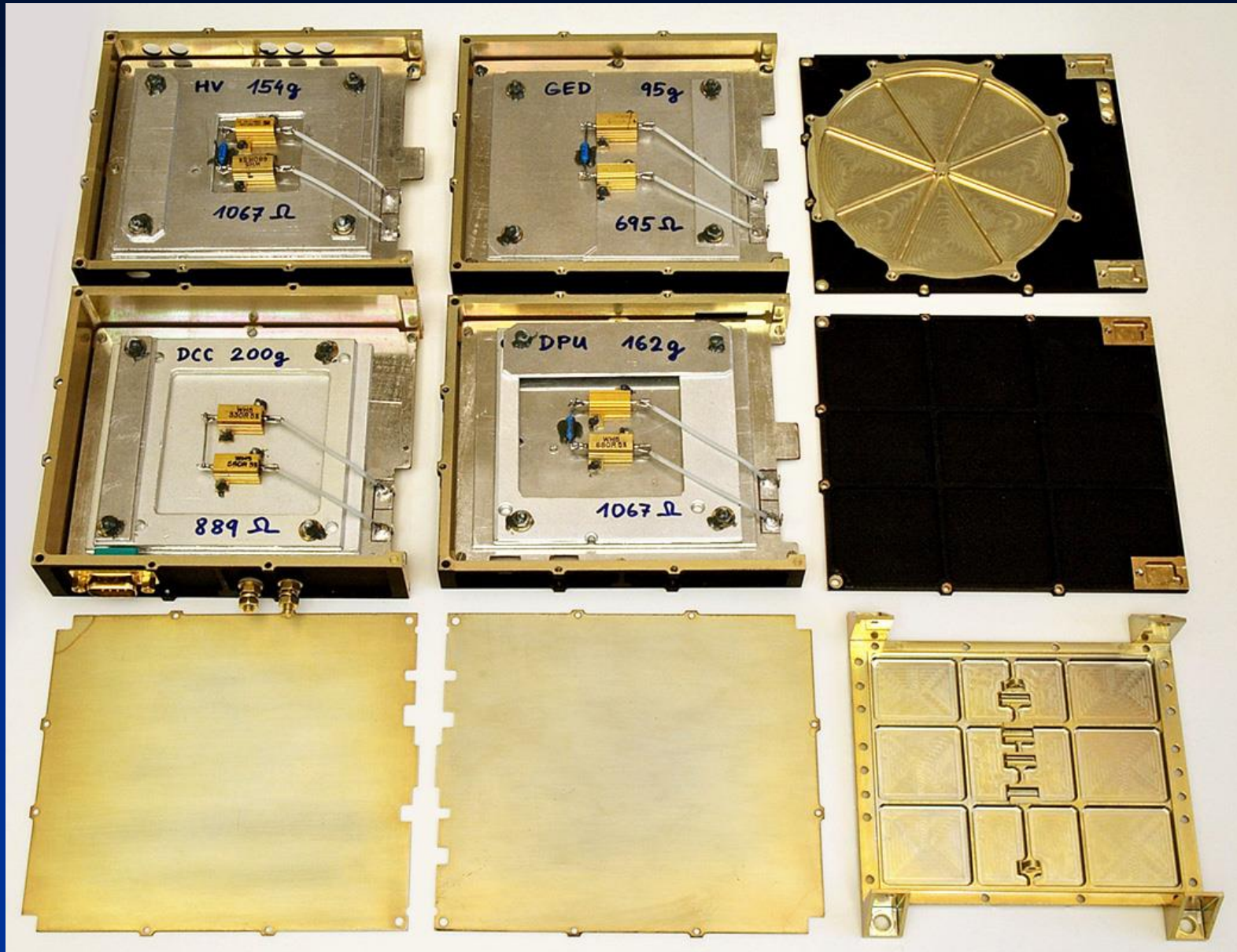


SERENA
PICAM (Planetary ion CAMera)

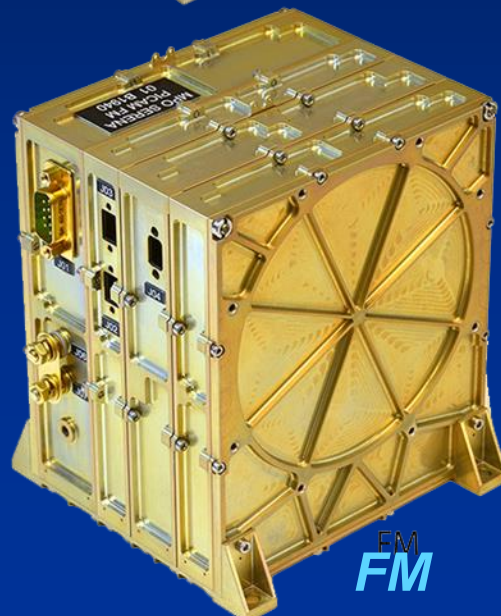
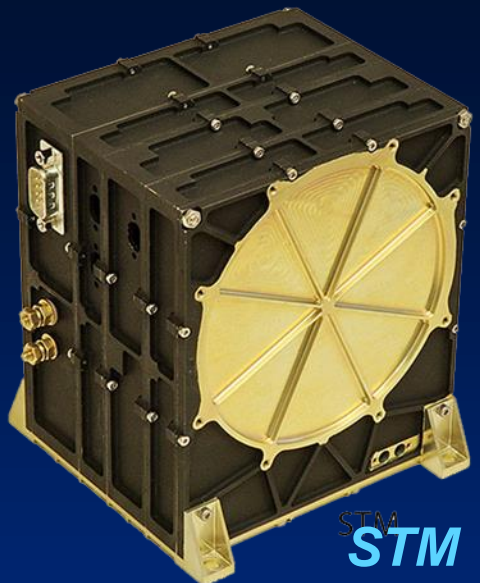
PICAM- Ebox pevnostné analýzy (FEA)



PICAM - STM (Structural Thermal Model)

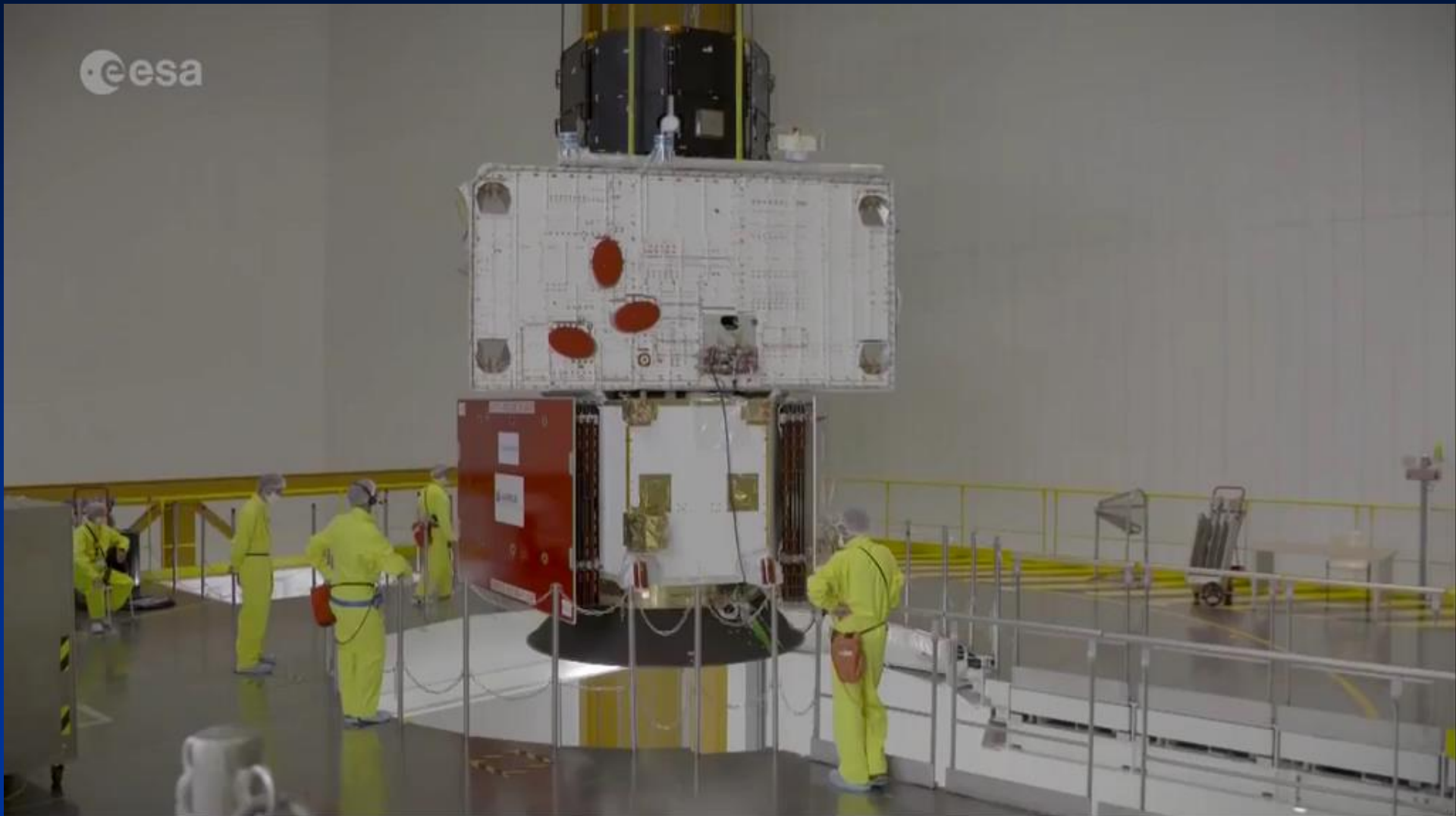


PICAM- Ebox (Made in Slovakia)



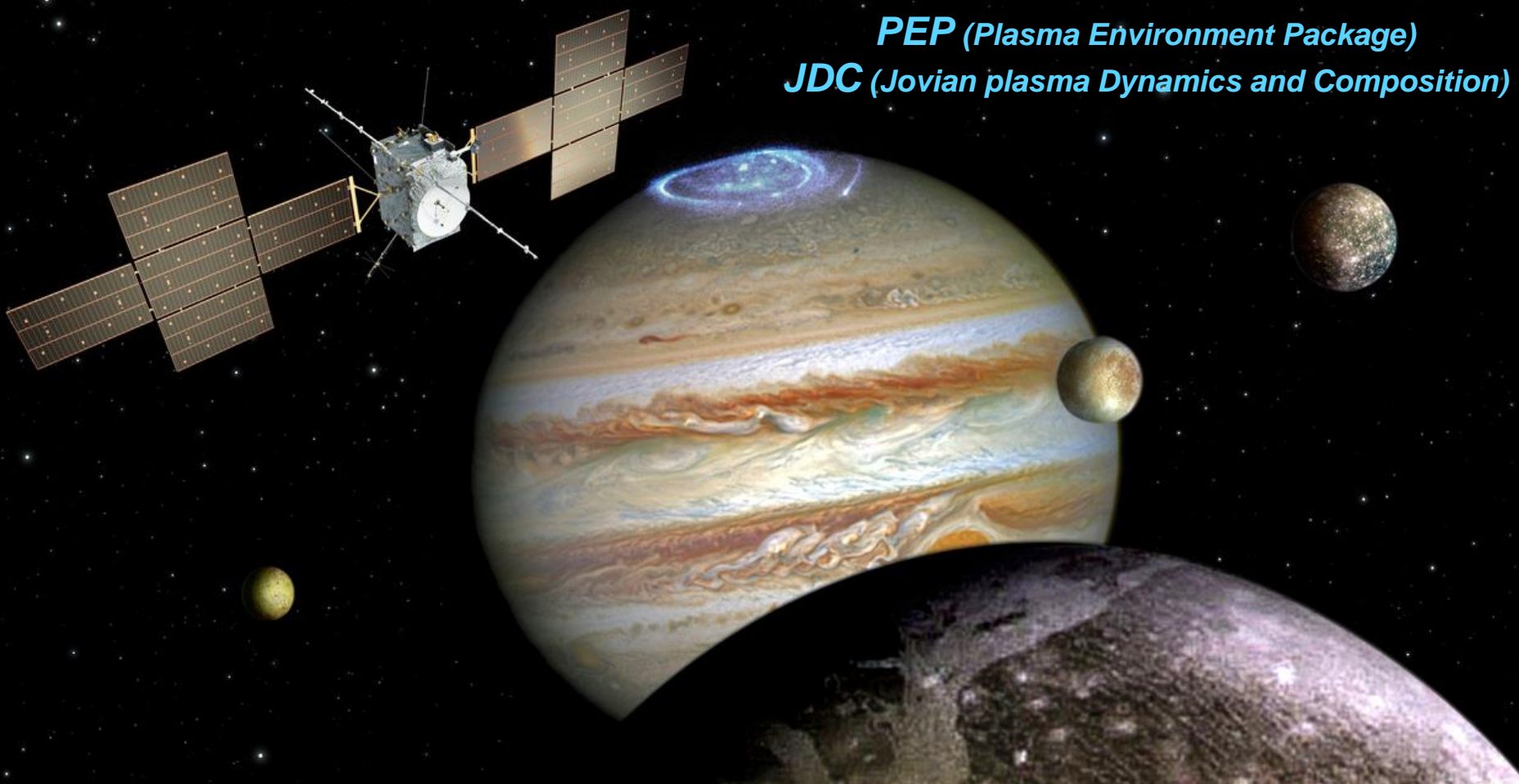
BepiColombo štart 20.10.2018

esa



ESA - JUICE (JUpiter ICy moons Explorer)

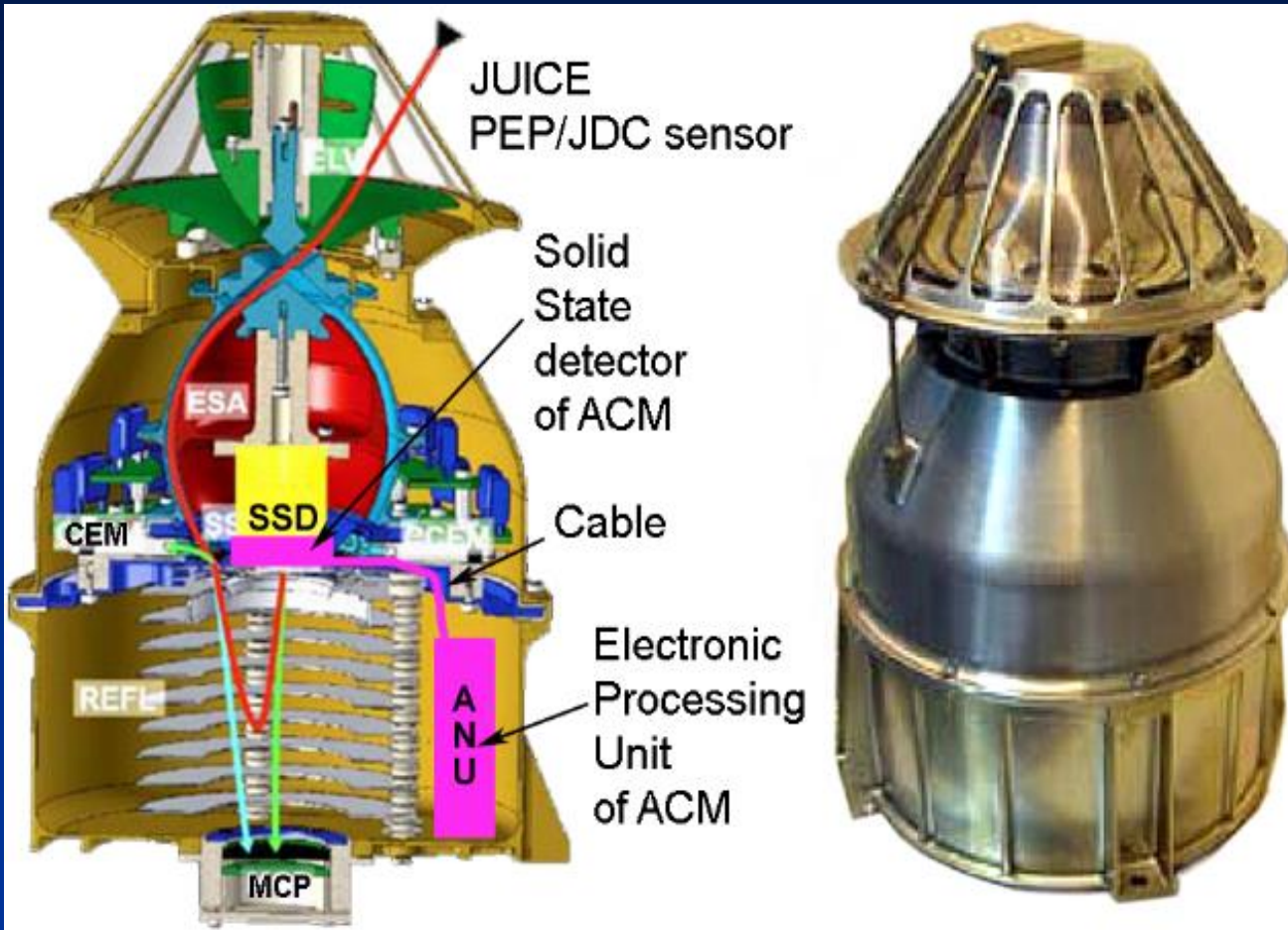
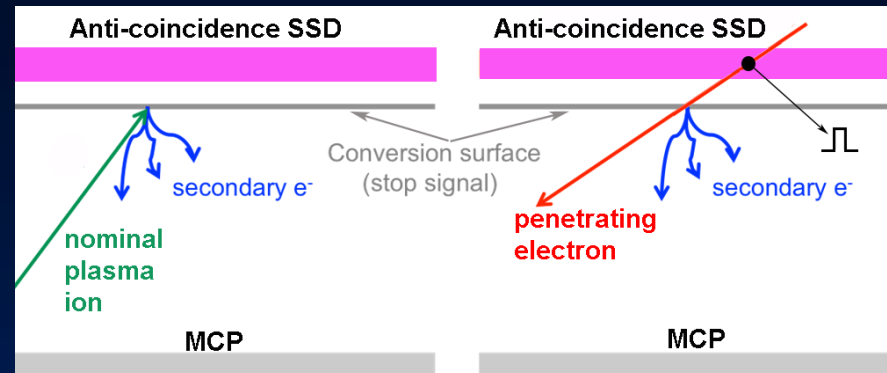
2022 – 2030 - 2032



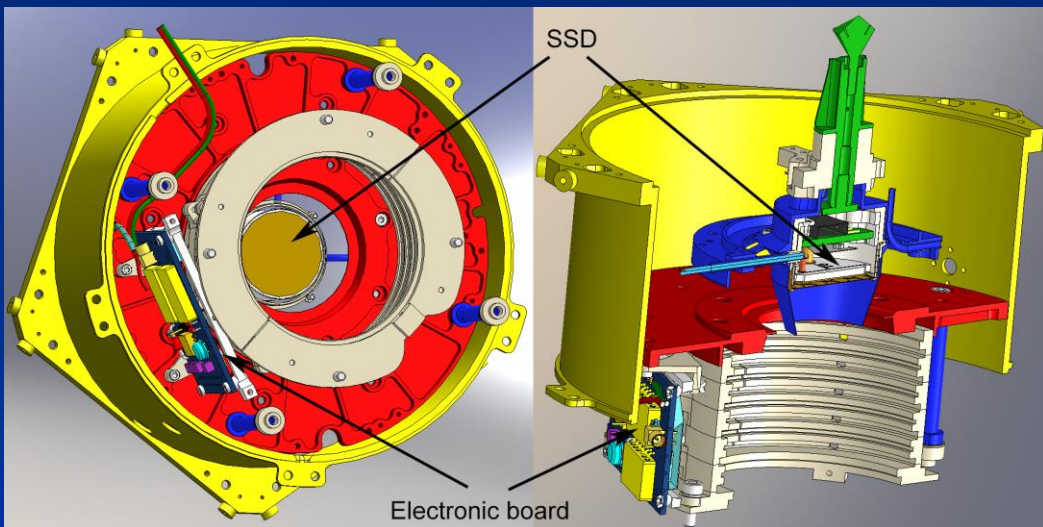
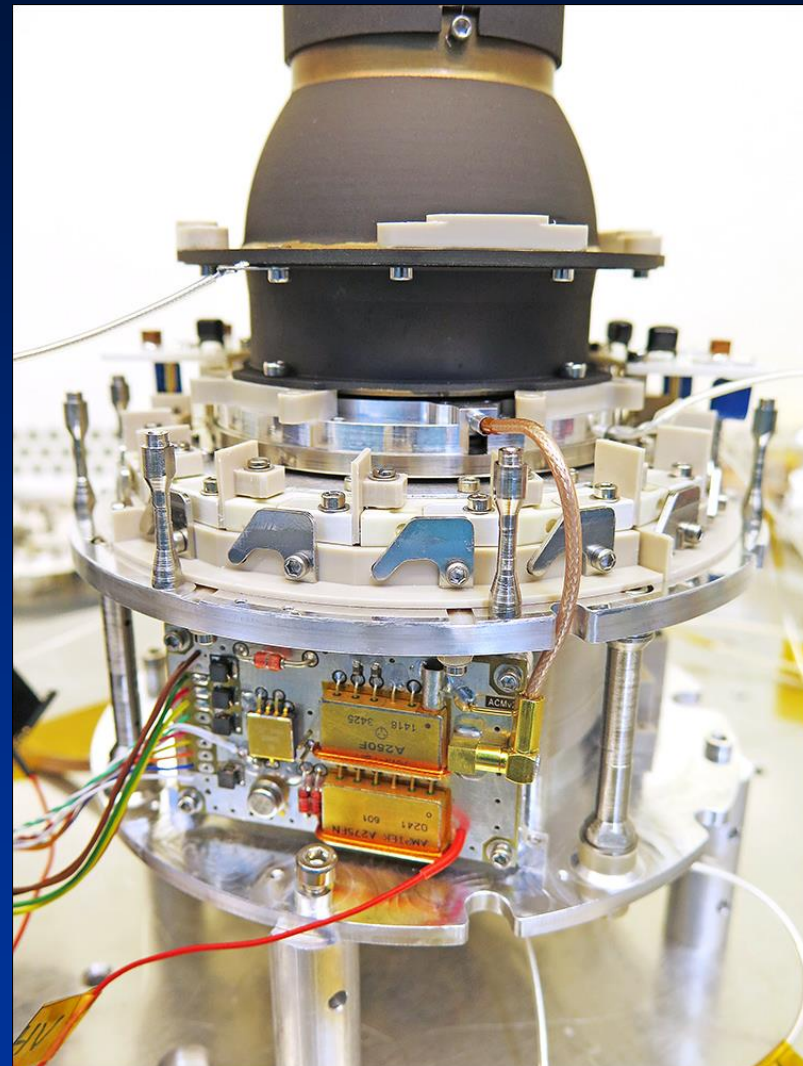
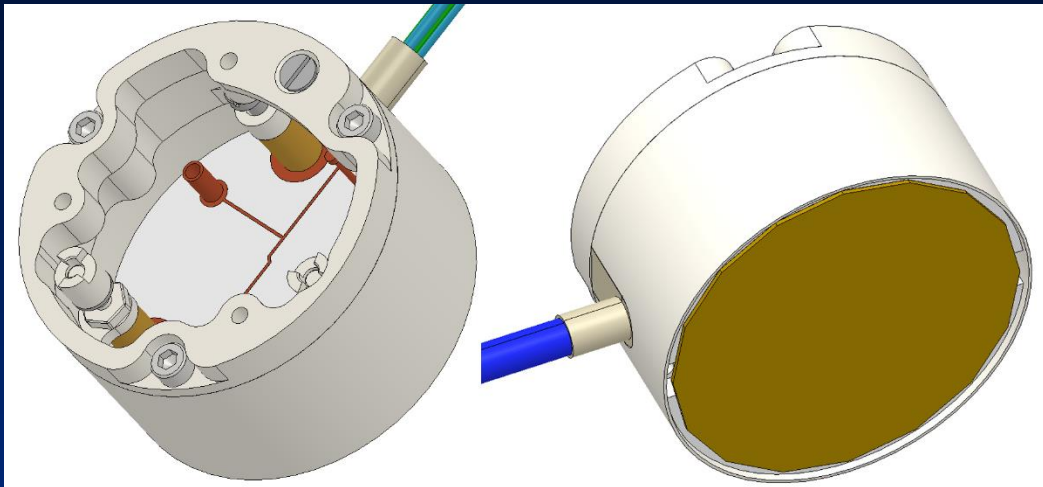
PEP (Plasma Environment Package)

JDC (Jovian plasma Dynamics and Composition)

Anti-koincidenčný modul ACM pre PEP-JDC



Anti-koincidenčný modul ACM pre PEP-JDC



Ďakujem za pozornosť!

